



دانشگاه صنعتی شاهرود

دانشکده مهندسی معدن و ژئوفیزیک

پایان‌نامه کارشناسی ارشد مهندسی استخراج معدن

طراحی سیستم نگهداری تونل در تشکیلات مارنی مطالعه موردي: تونل انتقال آب بابلک (سد مخزنی البرز)

نگارنده:

سعید پورمهدى

استاد راهنما:

دکتر سید رحمان ترابی

استاد مشاور:

مهندس سید محمد اسماعیل جلالی

الله
الرحيم

تقدیم به پدر و مادرم

تشکر و قدردانی

از استاد راهنمای خود جناب آقای دکتر سید رحمان ترابی که اینجانب را در راه رسیدن به کمال مقصود راهنمایی نموده‌اند، تشکر می‌کنم.

از آقایان مهندس سید محمد اسماعیل جلالی و مهندس علیرضا اصغری، استاد مشاور علمی و صنعتی اینجانب، که در نهایت تواضع هدایت کننده اینجانب در جهت مدلسازی و جمع آوری اطلاعات لازمه و تدوین پایان‌نامه بوده‌اند، سپاسگزارم.

جا دارد که از مهندس عبدالرضا یوسفی و مهندس آرش فتحی و دیگر عزیزانی که بنحوی در گردآوری پایان‌نامه به اینجانب کمک کردند، قدردانی نمایم.

در پایان از استاد محترم دانشگاه صنعتی شاهروod، آقایان دکتر کاکلی و دکتر مرادزاده که کار داوری این تحقیق را بعهده داشتند، متشکر و سپاسگزارم.

چکیده

سد البرز روی رودخانه بابل در فاصله ۴۰ کیلومتری شهرستان بابل استان مازندران واقع شده است. تونل انتقال آب با بلک به منظور انتقال آب رودخانه با بلک به پشت مخزن سد البرز و تامین بخشی از آب مورد نیاز این سد باید احداث گردد. از مشخصات این تونل طول ۲/۶ کیلومتری و عرض حفاری ۴/۲ متری با مقطع نعل اسپی است که با اجرای سیستم نگهداری دائمی، شکل نهایی آن دایروی می‌شود. از آنجا که تونل در تشکیلات مارنی احداث می‌شود، طراحی سیستم نگهداری تونل در این تشکیلات در این تحقیق مورد توجه قرار گرفته است.

جهت تحلیل پایداری و طراحی سیستم نگهداری تونل از روش‌های تجربی (RMR و Q)، تحلیلی (تحلیل اندرکنش سنگ- سیستم نگهداری) و عددی (نرمافزار FLAC3D) استفاده شده است. بر اساس نتایج، ترکیبی از شاتکریت به همراه توری سیمی با ضخامت‌های مختلف (۷/۵ سانتی‌متر برای زون ورودی تونل و ۷/۵ تا ۱۵ سانتی‌متر برای زون خروجی تونل) و پیچ‌سنگ ۳ متری با فاصله‌داری $1/5 \times 1/5$ به عنوان سیستم نگهداری موقت و بتن مسلح به ضخامت ۴۰ سانتی‌متر به عنوان سیستم نگهداری دائمی پیشنهاد گردیده است.

صفحه	عنوان
۱	فصل اول- کلیات
۲	۱-۱- مقدمه
۳	۲-۱- ویژگی های تونل انتقال آب بابلک و سد البرز
۹	۳-۱- مروری بر کارهای انجام شده
۱۰	۴-۱- اهداف تحقیق و سازماندهی پایان نامه
۱۱	فصل دوم- زمین‌شناسی مهندسی و بررسی ژئومکانیکی ساختگاه تونل انتقال آب
۱۲	۱-۲- مقدمه
۱۲	۲-۲- سنگ‌شناسی مارن
۱۳	۳-۲- زمین‌شناسی منطقه طرح
۱۵	۴-۲- ژئومورفولوژی در محدوده احداث تونل انتقال آب
۱۵	۵-۲- چینه‌شناسی در محدوده احداث تونل انتقال آب
۱۶	۶-۲- زمین‌شناسی ساختمنی مسیر تونل انتقال آب
۱۸	۷-۲- وضعیت تورم لایه‌های مارنی
۲۰	۸-۲- بررسی گمانه‌های اکتشافی
۲۶	فصل سوم- برآورد سیستم نگهداری موقت بر اساس طبقه‌بندی توده‌سنگ
۲۷	۱-۳- مقدمه
۲۷	۲-۳- طبقه‌بندی توده‌سنگ
۳۲	فصل چهارم- برآورد سیستم نگهداری موقت بر اساس تحلیل اندرکنش سنگ...
۳۳	۱-۴- مقدمه
۳۳	۲-۴- محاسبه جابجایی زمین

۳۹	۳-۴- منحنی مشخصه سیستم نگهداری
۴۵	۴-۴- تحلیل منحنی عکس العمل سیستم نگهداری بر روی منحنی مشخصه زمین ...
۵۱	فصل پنجم- برآورد سیستم نگهداری موقت بر اساس روش عددی
۵۲	۱-۵- مقدمه
۵۲	۲-۵- روشاهای عددی
۵۳	۳-۵- نرم‌افزار FLAC3D
۵۶	۴-۵- تحلیل پایداری و طراحی سیستم نگهداری موقت تونل انتقال آب با بلک
۸۶	۵-۵- جمع بندی از نتایج مدلسازی عددی برای سیستم نگهداری موقت
۸۷	فصل ششم- برآورد سیستم نگهداری دائم بر اساس روش عددی
۸۸	۱-۶- مقدمه
۸۸	۲-۶- اصول شبیه‌سازی و اهداف آن در طراحی نگهداری دائمی تونل انتقال آب ...
۹۰	۳-۳- نتایج مدلسازی نگهدارنده دائمی برای تونل انتقال آب با بلک
۹۲	۴-۶- مدلسازی نگهداری دائمی برای تونل انتقال آب در زون A ($K=1/5$)
۹۹	۵-۶- آرماتور پیشنهادی برای مسیر تونل انتقال آب
۱۰۰	نتایج و پیشنهادات
۱۰۴	مراجع و منابع
۱۰۶	پیوستها

فهرست اشکال

صفحه

۴	شکل ۱-۱- موقعیت جغرافیایی و راههای ارتباطی تونل انتقال آب بابلک
۳۹	شکل ۱-۴- منحنی سیستم نگهداری
۴۶	شکل ۲-۴- منحنی سیستم نگهداری و زمین برای توده سنگهای زون B
۴۷	شکل ۳-۴- منحنی سیستم نگهداری و زمین برای توده سنگهای زون A
۴۸	شکل ۴-۴- منحنی سیستم نگهداری و زمین برای توده سنگهای زون A (زون حداکثر ...)
۶۲	شکل ۱-۵- وضعیت تنشها در مدل
۶۲	شکل ۲-۵- وضعیت مرزها در مدل
۶۳	شکل ۳-۵- المان‌بندی مدل در نرم‌افزار
۶۳	شکل ۴-۵- وضعیت جابجایی‌ها پس از حفر تونل و قبل از نصب نگهدارنده
۶۴	شکل ۵-۵- حداکثر جابجایی قائم در سقف در زون A قبل از نصب نگهدارنده به ازای ...
۶۴	شکل ۵-۶- منحنی تراز جابجایی قائم در اطراف تونل در زون A قبل از نصب ...
۶۵	شکل ۵-۷- حداکثر جابجایی افقی در دیواره در زون A قبل از نصب نگهدارنده به ...
۶۵	شکل ۵-۸- منحنی تراز جابجایی افقی در زون A قبل از نصب نگهدارنده به ازای $K=1/5$
۶۶	شکل ۵-۹- منحنی تراز تنش افقی در اطراف تونل در زون A قبل از نصب نگهدارنده ...
۶۶	شکل ۵-۱۰- منحنی تراز تنش قائم در اطراف تونل در زون A قبل از نصب نگهدارنده
۶۸	شکل ۱۱-۵- شماتی مدل سه بعدی در مسیر تونل
۶۹	شکل ۱۲-۵- وضعیت تونل در گام پنجم پیشروی و نصب نگهدارنده در گام چهارم
۷۶	شکل ۱۳-۵- حداکثر جابجایی قائم در سقف در زون A (قبل از نصب نگهدارنده) ...
۷۶	شکل ۱۴-۵- منحنی تراز جابجایی قائم در زون A (به ازای هر گام پیشروی)...
۷۹	شکل ۱۵-۵- حداکثر جابجایی افقی در دیواره در زون A (قبل از نصب نگهدارنده)...

- شکل-۵- منحنی تراز جابجایی افقی در زون A (به ازای هر گام پیشروی) ... ۷۹
- شکل-۶- شمای وضعیت تونل در حفر گام دوم پیشروی و نصب نگهدارنده برای ... ۸۰
- شکل-۷- حداکثر جابجایی قائم در سقف در زون A (پس از نصب نگهدارنده) ... ۸۰
- شکل-۸- حداکثر جابجایی افقی در دیواره در زون A (پس از نصب نگهدارنده) ... ۸۱
- شکل-۹- منحنی تراز نیروی محوری بر لایه شاتکریت به ضخامت $7/5$ سانتیمتر - ... ۸۱
- شکل-۱۰- منحنی تراز لنگر خمشی بر لایه شاتکریت به ضخامت $7/5$ سانتیمتر در ... ۸۲
- شکل-۱۱- حداکثر نیروی محوری بر پیچ سنگها در زون A به ازای هر گام پیشروی ... ۸۲
- شکل-۱۲- شماتیک تنشهای نیروها و لنگر بر نگهدارنده دائمی تونل ۸۹
- شکل-۱۳- وضعیت المان بندی اطراف تونل ۹۳
- شکل-۱۴- وضعیت بردارهای جابجایی اطراف تونل در زون A به ازای $K=1/5$ ۹۴
- شکل-۱۵- جابجایی قائم در سقف در زون A پس از نصب نگهدارنده دائم به ازای ... ۹۴
- شکل-۱۶- منحنی تراز جابجایی قائم در زون A پس از نصب نگهدارنده دائم به ازای ... ۹۵
- شکل-۱۷- جابجایی افقی در دیواره در زون A پس از نصب نگهدارنده دائم به ازای ... ۹۵
- شکل-۱۸- منحنی تراز جابجایی افقی در زون A پس از نصب نگهدارنده دائم به ازای ... ۹۶
- شکل-۱۹- منحنی تراز نیروی محوری بر لایه بتن به ضخامت 40 سانتیمتر در زون A ... ۹۶
- شکل-۲۰- منحنی تراز لنگر خمشی بر لایه بتن به ضخامت 40 سانتیمتر در زون A ... ۹۷
- شکل-۲۱- منحنی تراز نیروی برشی بر لایه بتن به ضخامت 40 سانتیمتر در زون ... ۹۷
- شکل-۲۲- منحنی تراز تنش مرزی نرمال بر لایه بتن به ضخامت 40 سانتیمتر در ... ۹۸
- شکل-۲۳- منحنی تراز تنش مرزی برشی بر لایه بتن به ضخامت 40 سانتیمتر در ... ۹۸

فهرست جداول

صفحه

جدول ۱-۱- برآورد آبدهی رودخانه بابلک در محل احداث تونل و محل اتصال آن به ...	۶
جدول ۱-۲- شیب و امتداد درزهای مسیر تونل انتقال	۱۷
جدول ۱-۳- میانگین نتایج آزمایش حد روانی، حد خمیری و دامنه خمیری	۱۹
جدول ۱-۴- متراز حفاری گمانهای	۲۰
جدول ۲-۵- نتایج RQD در مسیر تونل انتقال	۲۳
جدول ۲-۶- پارامترهای زئوتکنیکی مسیر تونل انتقال	۲۴
جدول ۳-۱- مقداردهی پارامترها در روش RMR برای دو زون سنگی	۲۹
جدول ۳-۲- مقداردهی پارامترها بر اساس روش Q برای دو زون ورودی و خروجی تونل	۳۱
جدول ۴-۱- اطلاعات لازم برای رسم منحنی مشخصه زمین برای سه مقطع	۴۵
جدول ۴-۲- اطلاعات لازم مدل موهر-کولمب برای سه مقطع	۵۷
جدول ۵-۱- میزان حداکثر جابجایی‌ها در سقف و دیواره تونل برای سه مقطع و به ...	۵۸
جدول ۵-۲- میزان جابجایی قائم در سقف و جابجایی افقی در دیواره قبل از نصب ...	۷۲
جدول ۵-۳- میزان جابجایی نرم‌افزار پس از نصب نگهدارنده به ازای هر گام ...	۷۳
جدول ۵-۴- خروجی مستقیم نرم‌افزار پس از نصب نگهدارنده به ازای هر گام ...	۷۴
جدول ۵-۵- نتایج محاسبه شده پس از نصب نگهدارنده به ازای هر گام ...	۷۵
جدول ۵-۶- میزان جابجایی‌ها پس از نصب نگهدارنده در شرایط کرنش صفحه‌ای و به ...	۹۱
جدول ۶-۱- نتایج استخراج شده برای تونل انتقال آب با پوشش بتی به ضخامت ...	

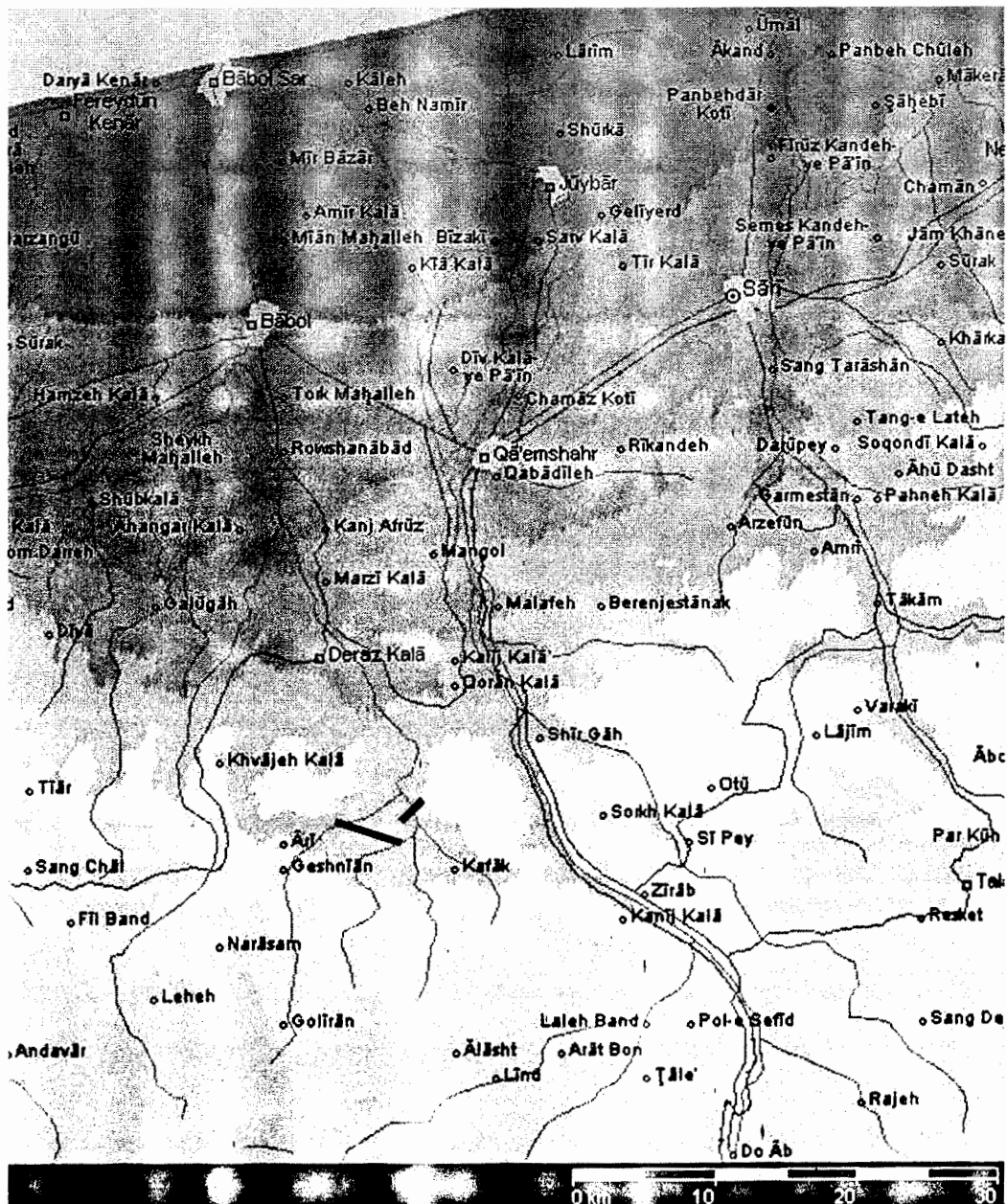
فصل اول

کلیات

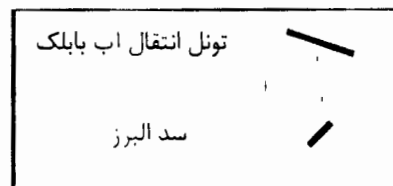
- از تغییراتی که در مسیر انتقال باعث ایجاد جریان گردابی منشوش، ضربات هیدرولیکی و یا افت فشار خواهد شد، خودداری گردد [۱۷].
- از تغییرات ناگهانی در سطح مقطع پرهیز شود و قوسهای تونل بر مبنای اصول هیدرولیک ساخته شود [۱۷].

۱-۲- ویژگی‌های تونل انتقال آب بابلک و سد البرز

تونل انتقال آب بابلک، آب رودخانه بابلک را که پشت سد انحرافی بابلک جمع می‌شود به مخزن سد البرز هدایت می‌کند. موقعیت جغرافیایی و راههای ارتباطی تونل انتقال آب بابلک در شکل ۱-۱ آمده است.



شکل ۱-۱ - موقعیت جغرافیایی و راههای ارتباطی تونل انتقال آب بابلک



۱-۲-۱- تونل انتقال آب بابلک

به منظور تامین بخشی از آب مورد نیاز مخزن سد البرز، سدی انحرافی بر روی رودخانه بابلک در ۷۰۰ متری بالادست روستای تمر در نظر گرفته شده است. این سد انحرافی توسط تونلی آب رودخانه بابلک را به رودخانه بابل در بالادست محل سد اصلی البرز منتقل خواهد کرد.

راستای این تونل شمال غربی- جنوب شرقی و به طول ۲۶۰۰ متر می‌باشد. دهانه ورودی در ۷۰۰ متری بالادست روستای تمر و دهانه خروجی آن در محل روستای گالشکلا قرار خواهد گرفت. دسترسی به محل سد انحرافی و دهانه ورودی تونل از طریق کیلومتر ۴۳ جاده آسفالتی از شهر بابل و یا کیلومتر ۲۷ جاده آسفالتی از شهر شیرگاه و کیلومتر ۵ جاده آسفالتی منشعب از جاده اصلی امکان‌پذیر است و دسترسی به خروجی تونل انتقال از طریق کیلومتر ۴۴ جاده آسفالتی از شهر بابل و کیلومتر ۲۸ جاده آسفالتی شهر شیرگاه و کیلومتر ۷ جاده خاکی از محل سد تا روستای گالشکلا، صورت می‌گیرد [۲].

طرح اولیه سد انحرافی بر روی رودخانه تلار و تونلی به طول ۵/۷ کیلومتر از این سد انحرافی تا مخزن سد البرز بود، اما به دلیل عدم توجیه اقتصادی با این طرح موافقت نشد [۲].

آزمیوت تونل انتقال آب ۳۱۰ درجه از محل سد انحرافی بابلک تا بالادست شاخه باختری مخزن سد البرز پیش‌بینی شده است. با توجه به کمی ضخامت رویاره بخش ابتدایی این مسیر از محل سد انحرافی تا ورودی تونل به طول ۱۲۰ متر به صورت کanal خواهد بود. تراز ورودی تونل ۳۰۷ متر و خروجی آن ۳۰۳ متر از سطح دریای آزاد است و شیب تونل ۰/۱۵۳ درصد می‌باشد [۲].

از آنجا که تراز تاج سد انحرافی بابلک از تراز سقف ورودی تونل بالاتر است، لذا به صراحت نمی‌توان گفت که این تونل آزاد عمل می‌کند و تحت فشار نخواهد بود (هر چند که گزارش هیدرولوژی این رودخانه تحت فشار بودن تونل را نقض می‌کند). بنابراین بهتر است که در طراحی سیستم نگهداری، عامل تحت فشار بودن تونل را نیز در نظر گرفت.

۱-۲-۳- هیدرولوژی رودخانه بابلک

بعد از مطالعه رژیم آبدهی برای پتانسیل آبی رودخانه بابلک، احداث تونل انتقال به مخزن سد البرز محرز شد. میزان متوسط آبدهی این رودخانه $2/4$ متر مکعب بر ثانیه مطابق جدول ۱-۱ است. حداقل دبی آب (در طی یک دوره ۲۰ ساله) در فوردهین ماه بوده که آنهم از $4/5$ متر مکعب بر ثانیه تجاوز نمی‌کند. نقشه موقعیت جغرافیایی حوزه‌های آبریز منطقه از جمله محل سد البرز، رودخانه بابلک و تونل انتقال آب در پیوست شماره ۱ آمده است [۳].

جدول ۱-۱- برآورد آبدهی رودخانه بابلک در محل احداث تونل و محل اتصال آن به رودخانه بابل و سد البرز [۳]

آبدهی (متر مکعب بر ثانیه)	ایستگاه	رودخانه
۸/۵۱۹	قران تالار	بابل
۲/۳۹۴	در محل تونل انتقال	بابلک
۲/۷۹۴	در محل اتصال به رودخانه بابل	بابلک
۴/۴۳	سد البرز	بابل

۱-۳-۲- ساختگاه سد البرز

سد البرز روی رودخانه بابل (بابلرود) در فاصله ۴۰ کیلومتری شهرستان بابل استان مازندران در طول و عرض جغرافیایی $۴۸^{\circ} ۵۲^{\prime}$ و $۱۴^{\circ} ۳۶^{\prime}$ واقع شده است.

سد البرز یک سد خاکی سنگریزه‌ای^۱ با هسته رسی و ارتفاع ۷۸ متر و طول تاج ۸۳۱ متر می‌باشد. این سد بر روی یال جنوبی یک تاقدیس جای می‌گیرد. این یال به طور عمده از توده سنگهای مارنی کرتاسه تشکیل شده و بخشی از آن توسط نهشته‌های^۲ جوان پوشیده شده است. ارتفاع بستر رودخانه از سطح دریا ۲۳۱ متر و پهنای آن ۵۰ متر می‌باشد پهنای دره در تراز نرمال

^۱ Rock fill

^۲ Deposit

بستر رودخانه از سطح دریا ۲۳۱ متر و پهنای آن ۵۰ متر می‌باشد. پهناهی دره در تراز نرمال مخزن (ارتفاع ۳۰۱ متر از سطح دریا) حدود ۸۲۳ متر است. سنگ پی سد البرز از مارنهای توده‌ای کرتاسه بالای تشکیل شده است. رخنمون این لایه‌ها در تکیه‌گاه راست و در محل محور سد نمایان است. در میان لایه‌های مارنی، لایه‌هایی به ضخامت نیم متر که بطور تقریبی به ماسه‌سنگ مارنی تبدیل شده‌اند، مشاهده می‌شود. از ویژگی‌های مهم زمین‌شناسی در این محل وجود گسلهای متعددی است که از محور سد یا با فاصله نزدیک از آن عبور می‌نماید. مهمترین این گسلهای گسلهای اسنتر شال و فاصله ۵۰۰ متری پایین‌دست محور سد با راستای تقریبی شرقی-غربی از روستاهای نفتچال و پاشاکلا از دو سمت رودخانه عبور می‌کند. این گسل توسط گسلهای جوانتر شمال شرقی-جنوب‌غربی قطع شده است [۴].

۱-۲-۴- ساختگاه سد انحرافی بابلک

این سد بتنی بر روی رودخانه بابلک به منظور انتقال آب این رودخانه به مخزن پشت سد با طول ۵۰ متر و عرض ۲۸ متر و ارتفاع ۲/۵ متر باید ساخته شود. موقعیت سد انحرافی با توجه به اختلاف ارتفاع لازم نسبت به محل خروجی تونل و نیز با در نظر گرفتن کوتاه‌ترین و بهترین شرایط موجود بر روی رودخانه بابلک در فاصله ۷۰۰ متری بالادست روستای تمرب روی یال شمالی یک ناودیس در نظر گرفته شده است. سنگهای تشکیل‌دهنده در این محل بیشتر از جنس مارن و ماسه‌سنگ مارنی سبز تا خاکستری روشن همراه با میان لایه‌های کنگلومرایی مربوط به دوره میوسن می‌باشند. قسمت اعظم سد کاملاً پوشیده شده است اما رخنمون کوچکی از این نهشته‌ها در بالادست محور سد در ساحل راست قابل مشاهده است [۲].

۱-۲-۵- حفاری در تونل انتقال آب بابلک

اگر سیستم چالزنی و آتشباری برای حفر تونل به کار رود از آنجا که آتشباری باعث توسعه درزهای موجود در سنگ خواهد شد و در کاهش مقاومت سنگ نیز موثر است، با وجود آب زیرزمینی

در منطقه، همواره با مشکل ریزش سنگ مواجه هستیم. بنابرین برای بالا بردن ایمنی در زمان حفر بهتر است از وسائل حفاری مکانیزه استفاده کنیم. دستگاه حفار بازویی^۳ که حفر تونل سریز سد البرز هم توسط آن انجام شد، وسیله‌ای مناسب برای حفر تونل انتقال آب بابلک می‌باشد. عرض حفاری ۴/۲ متر با مقطع نعل اسپی در نظر گرفته شد. این مقطع حفاری با توجه به دبی کم آب در تونل، ابعاد دستگاه حفار و جانمایی همزمان آن با ماشین‌آلات دیگر، مناسب تشخیص داده شد.

۱-۲-۶- سنگ‌شناسی در محدوده احداث تونل انتقال آب بابلک

سنگ‌های تشکیل‌دهنده مسیر از جنس مارن، ماسه‌سنگ مارنی همراه با میان لایه‌های کنگلومرا مربوط به دوره میوسن است.

بطور کلی وجود کانیهای رسی و میزان رطوبت در تعیین پارامترهای مقاومتی سنگ نقش مهمی دارند. در مارنها خاصیت تورمی هم مشاهده می‌شود و بر همین اساس باید آزمایش فشار تورمی بر نمونه‌ها صورت گیرد. مشخص شده است که تورم به درصد آب، تخلخل، دانسیته، میزان هوازدگی و از همه مهمتر به مقدار کانیهای رسی وابسته است [۴].

پارامترهای مقاومتی سنگ‌های رسی تابع میزان و نوع کانیهای رسی و سطوح ضعیف موجود در آنها می‌باشند. با توجه به وجود کانیهای رسی در منطقه مورد مطالعه، عاملی چون رطوبت می‌تواند تاثیر زیادی در تعیین ویژگی‌های زئومکانیکی توده سنگ داشته باشد. رطوبت در سنگ‌های رسی می‌تواند منجر به شکستن پیوند بین دانه‌ها شود و سبب ایجاد درزه و ترک در آنها گردد. در اثر جذب آب و افزایش میزان رطوبت، سنگ متورم می‌شود و پس از شکسته شدن پیوند بین آنها سبب ایجاد سطح ضعیف در سنگ می‌گردد. ضمناً دو مکانیزم رهایی تنفس ناشی از حفر تونل و تورم می‌توانند در توسعه درزه و ترکها موثر باشند [۴].

³ Road header

نظر به اینکه مارن دارای خواصی چون هوازدگی سریع، رخنمون ضعیف، مقاومتهای مختلف در شرایط خشک و اشباع (به دلیل وجود درصدهای متفاوتی از آهک و کانیهای رسی)، تورم سنگ، لغزندگی بلوکهای سنگی پس از جذب آب به دلیل وجود رس می‌باشد؛ این خواص در کنار شرایط آب و هوایی پر باران منطقه مشکلاتی را در روند اجرایی پروژه حفر تونل سر ریز سد - که ساختگاهی مشابه نسبت به تونل انتقال آب بابلک دارد- ایجاد کرده است [۵]:

- سطوح رخنمون شده به سرعت هوازده می‌شوند که گاه سطح آماده شده تونل جهت بتن‌پاشی چندین بار بایستی تمیزکاری شود.
- نفوذ ناپذیری سنگ عملکرد زهکشها را مشکل می‌سازد و با وجود احداث تعداد فراوانی از چالهای زهکش، گاه آب زیرزمینی توانسته بر اثر خاصیت متورم‌شوندگی مارن، سبب بلندکردن شاتکریت و خمش در توری سیمی گردد

۱-۳- مروری بر کارهای انجام شده

حفر و تحکیم تونل سرریز سد البرز و شفت اصلی آن تا پایان سال ۱۳۸۲ صورت گرفته است. قرار است تجهیز کارگاه و آماده‌سازی تونل انتقال از اوائل سال ۱۳۸۴ صورت گیرد تا در نهایت حفاری و اجرای سیستم نگهداری تونل تا سال ۱۳۸۵ پایان پذیرد.

از آنجا که فاصله تونل تا ساختگاه سد نیز کمتر از ۵ کیلومتر است می‌توان اطلاعات زمین‌شناسی و مکانیک‌سنگی حاصل از این ساختگاه را به مسیر تونل تعمیم داد اما چون جنس سازند تونل انتقال آب با جنس سازند ساختگاه سد اندکی فرق می‌کند از اطلاعات زمین‌شناسی و ژئوتکنیکی ساختگاه سد البرز با دقت خاصی در راستای اهداف این تحقیق استفاده شده است.

با این حال، شرکت مهندسی مشاور مهاب قدس در سال ۱۳۷۷ اقدام به تهیه گزارش زمین‌شناسی (مطالعات مرحله اول سیستم انتقال آب بابلک) کرده است. در این گزارش علاوه بر

اطلاعات زمین‌شناسی، نتایج آزمایش‌های حاصل از حفر گمانه‌های مسیر تونل نیز آمده است. ضمناً یادآوری می‌گردد که در زمان تدوین این تحقیق هیچگونه مطالعات ژئومکانیکی و تحلیل پایداری بر روی تونل انتقال آب بابلک صورت نگرفته است.

۴-۱- اهداف تحقیق و سازماندهی پایان‌نامه

هدف محقق نشان دادن کاربرد نرم‌افزار عددی FLAC3D^۴ در تحلیل سیستم نگهداری موقت و دائمی تونلها می‌باشد که با داشتن اطلاعات زمین‌شناسی و مکانیک‌سنگی تونل انتقال آب بابلک به آنالیز پایداری و طراحی سیستم نگهداری این تونل ختم می‌شود.

از آنجا که تونل در تشکیلات مارنی می‌ووسن حفر می‌شود باید ویژگی‌های زمین‌شناسی و ژئومکانیکی ساختگاه تونل در این تشکیلات بررسی شود. این بررسی در فصل دوم آمده است. در فصل سوم رده‌بندی مهندسی سنگ صورت گرفته است. فصل چهارم به آنالیز تحلیلی اختصاص دارد. در فصل پنجم بر اساس تحلیل عددی، طراحی سیستم نگهداری موقت انجام شده است و در نهایت، در فصل ششم، طراحی سیستم نگهداری دائم صورت گرفته است.

^۴ Fast Lagrangian Analysis of Continua in 3 Dimensions

فصل دوم

زمین‌شناسی مهندسی و بررسی
ژئوکاریکی ساختگاه تونل انتقال آب

۱-۲- مقدمه

در این فصل پس از بررسی سنگ‌شناسی مارن به موضوعاتی چون زمین‌شناسی منطقه، ژئومورفولوژی، چینه‌شناسی و زمین‌شناسی ساختمانی پرداخته شده است. سپس وضعیت تورم در لایه‌های مارنی بررسی و در نهایت اطلاعات حاصل از حفر گمانه‌های اکتشافی تحلیل می‌شود. این اطلاعات شامل آزمایش‌هایی چون آزمایش نفوذپذیری، کیفیت سنگ در گمانه‌ها، آزمایش مقاومت فشاری تک محوره و سه محوره، آزمایش مقاومت کششی و آزمایش برش مستقیم و ... می‌باشد که در زیر درباره آنها مفصلأً صحبت شده است.

۲-۲- سنگ‌شناسی مارن

مارنها^۱ مخلوطی از رس و کربنات کلسیم با سنگ‌شدگی ناقص هستند و زمانی که سخت‌شدگی و سنگ‌شدگی آنها پیشرفت نماید واژه سنگ مارن^۲ به آنها اطلاق می‌گردد. مقدار کربنات کلسیم هم در مارنها ۲۵ تا ۶۵ درصد گزارش شده که به همان نسبت مقدار رس آنها متغیر خواهد بود[۶]. مارنها سنگهای آهکی رستدار سخت‌شده هستند که می‌توان آنها را به آسانی خرد نمود. حالت خاکی دارند و به زبان می‌چسبند! تشخیص مطمئن این سنگ منوط به استفاده از وسیله کالسی متر^۳ می‌باشد. اگر مارن مواد آلی داشته باشد، مارن سیاه و اگر مختصراً پسیریت داشته باشد، مارن آبی می‌شود اکسیدهای آهن مارن را به رنگ قرمز یا زرد و غیره در می‌آورند. تشکیلات مارنی در ساختمان زمین‌شناسی دوران سوم ایران اهمیت دارد[۷].

^۱ Marmes or marls

^۲ Marlstone

^۳ Calcimetre

عموماً واژه کلی مارن هم برای مارن و هم برای مارن‌سنگ استفاده می‌شود. اما واقعیت آنست که مارن‌سنگ سختی بیشتری نسبت به ترکیب مشابه خود یعنی مارن دارد و رفتاری سنگ‌گونه دارد و دارای تورق بیشتری نسبت به مارن می‌باشد. سطح شکست آنها نیز به صورت بلوکی نیمه‌صفی است. اما مارن بیشتر رفتار خاک‌گون دارد و چنانچه مقدار رس آن بالا باشد از خود خاصیت خمیری نشان می‌دهد.

در مارنهای، در اثر آزادسازی تنفس ناشی از حفر فضاء، تغییر شکل پلاستیک صورت می‌گیرد. در این حالت درزهای موجود در سنگها بسته می‌شوند. لذا می‌توان در مدلسازی عددی، سنگ را به صورت محیط پیوسته در نظر گرفت. همچنین به دلیل پایین بودن مقاومت و خاصیت شبکه‌پلاستیکی مارن امکان درزهای پایین است. بنابراین نباید برای این‌گونه سنگها تحلیل گوهای بکار برد

۳-۳- زمین‌شناسی منطقه طرح

رشته کوه البرز که حوزه فرونژست خزر را از فلات مرکزی جدا نموده است حاصل حرکات فشاری در دوره کوهزایی آلپ است. این حرکات نهشته‌های اوائل دوران سوم را تحت تاثیر قرار داده است و تغییر شکلهایی را به صورت یکسری تقدیس و ناودیس با امتداد شرقی- غربی در منطقه طرح به وجود آورده است. گسلهای منطقه‌ای و زونهای گسلی مثل گسل شمال البرز با امتداد شرقی- غربی و طول ۴۰۰ کیلومتر از جنوب محور سد البرز می‌گذرد و گسل خزر به طول ۶۰۰ کیلومتر شمال البرز را تحت تاثیر قرار می‌دهد [۲].

تراز رودخانه بابلک در محل سد انحرافی ۳۰۷/۵ متر، تراز تونل انتقال آب در دهانه ورودی و خروجی به ترتیب ۳۰۷ و ۳۰۳ متر و تراز نرمال مخزن سد البرز ۳۰۱ متر می‌باشد.

قدیمی‌ترین رخنمون‌ها در منطقه طرح مربوط به دوره پرمین شامل ماسه‌سنگ و شیل و آهک سازندهای دورود و روته است که با دگرشیبی موازی روی نهشته‌های قدیمی‌تر قرار گرفته‌اند.

نهشته‌های کرتاسه بالا در منطقه دارای گسترش زیادی است و ضخامت آن به حدود ۸۰۰ تا ۱۰۰۰ متر می‌رسد. این نهشته‌ها شامل مارنهای توده‌ای است که گاهی لایه‌های نازک آهک نیز در آن مشاهده می‌شود. نهشته‌های مزبور پی سد البرز را تشکیل می‌دهند. نهشته‌های پالعوزن در این ناحیه از البرز شناخته نشده و نهشته‌های نئوزن در منطقه مورد مطالعه، بیشتر از مارن و ماسه‌سنگ و گاهی همراه با میکروکنگلومرا تشکیل شده است. پی محل سد انحرافی و مسیر تونل انتقال آب نیز از این گونه سنگها تشکیل شده است. نهشته‌های آبرفتی کواترنر دارای گسترش نسبتاً زیادی در منطقه هستند و پادگانه‌های آبرفتی در ترازهای مختلف را تشکیل می‌دهند. این نهشته‌ها شامل پادگانه‌های آبرفتی در بلندیهای پادگانه‌های آبرفتی جوان در ساحل رودخانه و آبرفت بستر رودخانه است. دانه‌های تشکیل دهنده این نهشته‌ها بیشتر قلوه‌سنگ، شن، ماسه و گاهی تخته سنگ است. آبرفته‌های جوان بیشتر دارای سیلت و ماسه و آبرفته‌های کهن بیشتر دارای سیمان رسی است. ضخامت این نهشته‌ها بین ۵ تا ۱۵ متر متغیر است. نهشته‌های آبشتی نیز که حاصل هوازدگی مارن و ماسه‌سنگ است با ضخامت ۱۵ تا ۲۰ متر در منطقه طرح وجود دارد [۲]

به لحاظ زمین‌ساختی، حرکات فشاری، موجب چین‌خوردگی، گسلش معکوس، و بالاًمدگی کوههای البرز و تالش نسبت به فرورفتگی خزر شده است. در اثر این چین‌خوردگی یکسری تاقدیس و ناودیس باریک و فشرده با امتداد تقریباً شرقی - غربی پدید آمده‌اند. فرونژست مزبور نیز تاکنون ادامه یافته است. فعالیت‌های لرزه‌ای نشان می‌دهد که منطقه هنوز هم تحت تاثیر نیروهای فشاری است و در طول گسلهای معکوس اصلی تغییر شکل صورت می‌گیرد. گسلهای شمال البرز و خزر گسلهایی معکوس و با شیب زیاد به سمت جنوب هستند و به نظر می‌رسد که بلوک جنوبی در امتداد گسل شمال البرز به صورت معکوس روی قسمت مرکزی متمایل شده و نهشته‌های تریاس و ژوراسیک را بالا آورده و در کنار نهشته‌های جوانتر کرتاسه و میوسن قرار داده است و بلوک مرکزی در امتداد گسل خزر در مجاورت فرونژست خزر گرفته است [۲].

۴-۲- ژئومورفولوژی در محدوده احداث تونل انتقال آب

تونل انتقال آب به جز در قسمتهای ورودی و خروجی هر یک به طول حدود ۱۰۰ و ۱۲۰ متر که کمترین ضخامت روباره و ناکافی برای اجرای تونل را دارند، در بقیه قسمتها از زیر روبارهای با ضخامت‌های مختلف عبور خواهد کرد. بیشترین روباره در متراز $1750 +$ متر نسبت به دهانه ورودی تونل، ضخامتی حدود ۱۸۵ متر و کمترین روباره در متراز $60 +$ متر (نسبت به دهانه تونل) حدود ۸ متر ضخامت دارد. تقریباً تمامی مسیر از خاکهای فرسایشی برجا و نهشته‌های دامنه‌ای پوشیده شده است و هیچگونه رخنمون سنگی در این مسیر دیده نمی‌شود. نتایج بررسی‌های زمین‌شناسی و ژئوتکنیکی نشان می‌دهد که این مسیر از ناویدیسی که نهشته‌های ماسه‌سنگی، مارنی، کنگلومرا ای و گاهی میان‌لایه‌هایی از میکروکنگلومرا تشکیل شده است، عبور می‌کند. محور این ناویدیس با راستای تقریباً شرقی- غربی در نزدیکی متراز 750 متری از دهانه ورودی تونل زاویه‌ای حدود 50 درجه با امتداد تونل می‌سازد [۲].

در میان این نهشته‌های رسوبی لایه‌های سست و ضعیفی وجود دارد که در برابر پدیده‌های فرسایش مقاومت کمتری از خود نشان داده و دره‌ها و آبراهه‌های کوچک و بزرگی در این مسیر تشکیل داده است. بزرگترین آنها در متراز 1500 متری از دهانه ورودی تونل وجود دارد. ضخامت روباره در این قسمت در حدود 150 متر است. شب توبوگرافی در محل ورودی و خروجی تونل ملایم و در حدود 10 درجه است [۴].

۴-۳- چینه‌شناسی در محدوده احداث تونل انتقال آب

بر اساس بررسی‌های صحرایی و کارهای اکتشافی انجام شده، نهشته‌های رسوبی مسیر تونل به ترتیب از جدید به قدیم به صورت زیر ردیبدی می‌شوند [۲]:

نهشته‌های دامنه‌ای و خاکهای فرسایشی (Q2)

نهشته‌های رسوی فوق الذکر در نتیجه هوازدگی پی سنگ مارنی و ماسه‌سنگی در این گستره بوجود آمده است. جنس سنگها بیشتر از رس سیلتدار، سیلت رسی و ماسه‌ای و گاهی تکه‌سنگهای زاویه‌دار ماسه‌سنگی است. ضخامت این نهشته‌ها بین ۴/۵ تا ۱۰/۵ متر متغیر است.

نهشته‌های آبرفتی بستر جاری رودخانه (Qal)

نهشته‌های مذبور شامل آبرفتها بستر کنونی رودخانه است. این آبرفتها در نزدیکی ورودی تونل انتقال آب رودخانه بابلک و در نزدیکی خروجی این تونل در شاخه سبزرود بیشتر شامل قلوه‌سنگ و شن ماسه‌دار است که گاهی قطعات تخته‌سنگ در آن دیده می‌شود. ضخامت این نهشته‌ها حدود ۳/۵ تا ۵/۵ متر است. جنس آنها بیشتر ماسه‌سنگ و آهک است.

پادگانه آبرفتی (Qt4)

عناصر تشکیل دهنده این پادگانه آبرفتی نیز شامل شن ماسه‌دار همراه با قلوه‌سنگ، است و ضخامت آن بطور متوسط حدود ۵ متر است.

نهشته‌های دوره میوسن (MN)

نهشته‌های مسیر تونل از این نهشته‌ها تشکیل شده اند که شامل ماسه‌سنگ، ماسه‌سنگ مارنی، مارن ماسه‌ای، مارن و کنگلومرا به رنگهای خاکستری و قرمز مربوط به دوره میوسن می‌باشند که میان‌لایه‌های میکروکنگلومرا نیز در آنها مشاهده می‌شود. لازم به ذکر است که پلان زمین‌شناسی و پروفیل تونل انتقال آب بابلک در پیوست ۲ آمده است.

۲-۶-زمین‌شناسی ساختمانی مسیر تونل انتقال آب

به لحاظ ساختاری مسیر تونل از یالهای شمالی و جنوبی یک ناویدیس عبور می‌کند شیب متوسط این لایه‌ها در یالهای این ناویدیس با توجه به اطلاعات بدست آمده از گمانه‌ها بطور متوسط ۳۵ درجه

است. بدیهی است که این شیب در محور ناویدیس ملایم‌تر و نزدیک به افق می‌شود. در سطح زمین با توجه به پوشیده بودن این مسیر آثار گسل به چشم نمی‌خورد ولی به علت نزدیکی زون گسل شمال البرز وجود زونهای خرد شده در مسیر تونل به دور از واقعیت نیست. با توجه به نبود رخنمون سنگی، امکان درزه‌نگاری در مسیر تونل به وجود نداشت. ولی به علت نزدیک بودن محل سد البرز به این مسیر، ویژگی‌های هندسی اندازه‌گیری شده در محل سد مزبور به مسیر تونل تعمیم داده شد. این درزه‌ها و ویژگی‌های مهندسی آنها به شرح جدول ۱-۲ می‌باشد:

جدول ۱-۲- شیب و امتداد شیب درزه‌ها در مسیر تونل انتقال [۴] و [۲]

	شیب (درجه)	امتداد شیب (درجه)
لایه‌بندی قسمت خروجی تونل	۳۲	۳۵۵
درزه ۱	۶۰	۳۳۰
درزه ۲	۷۰	۲۵۰
درزه ۳	۷۱	۲۲۰

ویژگی‌های زمین‌شناسی مهندسی این درزه‌ها در جدول ۲-۲ آمده است:

جدول ۲-۲- وضعیت کلی درزه‌ها در مسیر تونل [۴] و [۲]

۱-۳ متر	تدابع درزه‌ها
۱-۵ میلیمتر (سطحی) و ۰/۱ تا ۱ میلیمتر (عمیق)	بازشدگی
صف	زبری
۵ میلیمتر	پرشدگی (در صورت وجود)
کم تا متوسط	هوازدگی
مرطوب	وضعیت آب در ناپیوستگی‌ها

۷-۲- وضعیت تورم لایه‌های مارنی

فرایند تورم‌زدایی (آماس‌پذیری) از واکنش‌های شیمیایی- فیزیکی و رهایی تنش در حضور آب می‌باشد [۸]. در مارن به علت وجود کانیهای رسی، آب به سطوح خارجی کانیهای رسی می‌چسبد و به صفحات قابل انبساط (لایه‌های متورم‌شونده) موجود در آنها جذب می‌شود. این جذب موجب افزایش حجم آنها شده و به صورت کرنش و فشار تورمی بروز می‌نماید.

فشار تورم بستگی به فاصله بین ذرات داشته و همچنین تابعی از فاصله میان صفحات قابل انبساط (لایه‌های متورم‌شونده) می‌باشد.

رهاسازی تنش در سنگهای تورمزا باعث عوامل زیر می‌گردد [۸]:

- باعث ایجاد فشار منفذی منفی در حفره‌ها می‌گردد که به نوبه خود جریان آب را به همراه دارد و باعث افزایش حجم می‌شود.
- باعث افزایش شکافها می‌گردد و موجب ترک خوردن جسم شده که به نوبه خود حرکت و جریان آب را تسهیل نموده و باعث افزایش حجم می‌گردد.

هر چه سنگها قابلیت نفوذپذیری کمتری داشته باشند نفوذ آب در زمان رهاسازی تنش ناشی از حفر تونل زمان قابل ملاحظه‌ای را نیاز دارد و لذا تورم دارای یک روند کند می‌باشد [۸].

نتایج زیر در مورد روند تورم در منطقه گرفته شده است:

- آزمایشهای لوزن (که شرح آن خواهد آمد) نشان می‌دهد که مارن دارای نفوذپذیری کم می‌باشد، لذا روند تورم در آن بسیار کند صورت می‌گیرد.
- آزمایشهای دیفراکتومتری (XRD) نشان می‌دهد که مارن منطقه دارای کانی ایلیت می‌باشد. کانی ایلیت از جمله کانیهای رسی است که از نظر تورمی حد فاصل بین کانولینیت (خاک با تورم کم) و مونتموری‌لونیت (متورم شونده‌ترین خاک در طبیعت که از تورم بسیار بالا در اثر جذب آب برخوردار است) می‌باشد.

- با توجه به ویژگی‌های مارنهاي ساختگاه و خصوصيات خاک‌گون مصالح و به منظور تعیین میزان فشار تورمی، آزمایش فشار تورمی در ساختگاه سد البرز صورت گرفته است که میانگین فشار تورمی آن ۲/۵۸ کیلوگرم بر سانتی متر مربع می‌باشد. لذا این آزمایش نیز نشان می‌دهد که تورم در منطقه کم خواهد بود.
- آزمایش تعیین حدود اتربرگ در منطقه تونل انتقال صورت گرفته و نتایج آن در جدول ۳-۲ آمده است.

* جدول ۳-۲- میانگین نتایج آزمایش حد روانی، حد خمیری و دامنه خمیری

۳۹	حد روانی (LL)
۱۹	حد خمیری (PL)
۲۰	دامنه خمیری (PI)

طبق آیین‌نامه آشتو و روش USBR (روش هولتز و گیبس) که در پیوست ۳ آمده است، توده سنگهای ساختگاه در رده تورمی پایین تا متوسط قرار می‌گیرند.

- از آنجا که مارن در اثر جذب آب دارای خاصیت تورمزایی می‌باشد، باید به رسهای منطقه اجازه داده شود که تغییر شکل و جابجایی ناشی از تورم صورت گیرد. وقفه زمانی بین حفاری تونل و عملیات اجرای نگهداری دائم (بتن ریزی)، زمان مناسبی برای انجام شدن تمام جابجایی‌های تورمی است.

• در تهیه این جدول از منبع ۲ استفاده شده است. لازم به ذکر است که دامنه خمیری تغییراتی از ۱۰ تا ۳۰ دارد.

۸-۲- بررسی گمانه‌های اکتشافی

هدف از حفر گمانه‌های اکتشافی، شناسایی وضعیت، ضخامت، جنس، مشخصات فیزیکی و مکانیکی سنگهایی است که تونل از آنها عبور می‌کند. به کمک این گمانه‌ها اطلاعاتی در مورد وضعیت آبهای زیرزمینی منطقه نیز حاصل می‌شود. این اهداف با انجام آزمایشهای مختلف بر روی نمونه‌های حاصل از حفر گمانه‌ها موسوم به مغزه و نیز انجام بعضی از آزمایشهای برجا در داخل گمانه حاصل می‌شود [۹].

به منظور بررسی وضعیت توده در زیر زمین تعداد ۳ حلقه گمانه بعمق ۵۶ متر در محور سد انحرافی و ۹ حلقه گمانه بعمق ۷۳۴ متر در راستای تونل انتقال آب به مشخصات جدول ۴-۲ حفر شده است.

جدول ۴-۲- متراز حفاری گمانه‌ها [۲]

شماره گمانه	موقعیت	عمق (متر)	حفاری در آبرفت (متر)	حفاری در سنگ (متر)
B1	ساحل راست سد انحرافی	۱۲	۳	۹
B2	ساحل چپ سد انحرافی	۲۴	۱۲/۴۰	۱۱/۶۰
B3	بستر رودخانه بلبلک	۲۰	۶	۱۴
B4	مسیر تونل انتقال	۳۰	۸/۲۵	۲۱/۷۵
B5	مسیر تونل انتقال	۳۵	۱۶	۱۹
B6	مسیر تونل انتقال	۲۵	۶/۵	۱۸/۵
B7	مسیر تونل انتقال	۸۰	۶	۷۴
B8	مسیر تونل انتقال	۱۴۰	۱۰/۵	۱۲۹/۵
B9	مسیر تونل انتقال	۱۵۵/۵	۷	۱۴۸/۵
B10	مسیر تونل انتقال	۱۷۵	۴۷	۱۲۸
B11	مسیر تونل انتقال	۷۰	۵/۲۰	۶۴/۸
B12	مسیر تونل انتقال	۳۳/۵	۹	۲۴/۵

۱-۸-۲- هیدروژئولوژی

آبده بودن زمین به مقدار قابل ملاحظه در ساختگاه تونل می‌تواند باعث عوامل زیر شود [۱۰]:

- باعث ناپایداری قسمت حفاری می‌گردد.
 - جریان آب در سنگهای شکافدار باعث ایجاد فضای خالی و لق شدن سنگها می‌شود.
 - سنگ حفاری شده در مجاورت آب سریعاً فاسد می‌شود (خواص فیزیکی و شیمیایی خود را از دست می‌دهد).
 - سبب افزایش فشار در سنگهای که در مجاورت آب متورم می‌گردند، می‌شود (مخصوصاً در مارنهای).
- بنابراین باید بررسی‌های هیدروژئولوژیکی همزمان با بررسی‌های زمین‌شناسی انجام شود و منظور از آنها عبارت است از شناسایی [۱۰]:
- لایه‌های آبده و زمین‌های ناتراوا
 - رژیم هیدرولیکی (سفره آب زیرزمینی، جریان آب در زیر زمین و ...)
 - تراوایی لایه‌های زمین
 - شبکه‌های کارستی (آب در سنگهای آهکی) در صورت وجود

یک نوع از آزمایشاتی که اطلاعاتی مفید درباره درک محیط هیدروژئولوژی بنای مورد نظر می‌دهد، آزمایش‌های اندازه‌گیری تراوایی به صورت درجا و در داخل گمانه است که معروفترین این آزمایشها، آزمایش لوزن – که تراوایی را با تزریق آب اندازه‌گیری می‌کند – و لوفران می‌باشد.

روش تراوایی سنجی لوزن مبتنی بر این است که داخل گمانه (به قطر ۷۰ تا ۸۰ میلیمتر) آب را با فشار یک مکاپاسکال بر روی طولی معادل یک متر وارد می‌کنند و بدئ نفوذی از ورای جداره‌های گمانه را اندازه‌گیری می‌کنند. این آزمایش برای تخمین فشار آب در زمینهای سنگی و ترکهای همگن و نسبتاً ریز نتایج خوبی را می‌دهد [۱۰]. نتایج این آزمایشات، تعیین نفوذپذیری منطقه بر اساس رده‌بندی آفت‌س می‌باشد (که در پیوست ۴ آمده است) و نتیجه اینکه توده سنگهای ساختگاه تونل در

رده نفوذپذیری بسیار کم تا کم قرار می‌گیرند و فقط در قسمتهای ابتدایی و انتهایی مسیر تونل، به دلیل پوشیده بودن زمین از نهشته‌های دانه‌ای خاکهای فرسایشی بر جا و نهشته‌های آبرفتی، نفوذپذیری کم تا متوسط می‌باشد. از آنجا که در این قسمت از مسیر کanal حفر خواهد شد، نگرانی خاصی وجود ندارد.

نتایج زیر در مورد هیدروژئولوژی منطقه بدست آمده است:

- با توجه به نفوذ پذیری کم در مسیر تونل، جریان شدید و ناگهانی در زمان حفاری به داخل تونل محتمل نیست؛ ولی امکان نشت جزئی آب در بعضی از مقاطع وجود دارد.
- در روش‌های تجربی می‌توان نقش آب را در امتیازدهی پارامترها در نظر گرفت اما در روش‌های عددی به دلیل مشکل بودن مدل‌سازی آب در منطقه، از نقش فشار آب منفذی صرف‌نظر شده است.
- حضور آب در مارنها و ماسه‌سنگها از مقاومت فشاری آنها در اثر اشباع شدن می‌کاهد. در واقع آب موجود در درزهای شکافها است که موجب کاهش مقاومت می‌شود.
- بررسی‌های صحرایی و زمین‌شناسی نشان داد که جفره کارستی و پدیده کارستی شدن در منطقه وجود ندارد.
- تنفس در توده سنگهای ساختگاه به مراتب خیلی بیشتر از فشار آب زیرزمینی است (فشار آب زیرزمینی با تقریب بسیار خوبی در حد صفر است) و خطرات ناشی از تنفس موثر- همان تنفسی که از اختلاف تنفس بر جا و فشار منفذی بدست می‌آید- چندان زیاد نیست. از این رو آب زیرزمینی بیشتر نقش یک مزاحم را ایفا می‌کند تا تهدیدی جدی در وضعیت پایداری و نگهداری تونل.
- با توجه به شب اندک تونل و وجود نشتهای جزئی آب زیرزمینی، بهتر است حفاری از دهانه خروجی تونل صورت گیرد که در صورت برخورد با این آبهای نیازی به خروج آبهای نفوذی توسط پمپ نباشد و آب بطور طبیعی زهکشی شود.

۲-۸-۲- نتایج کیفیت مغزه

نتایج میانگین کیفیت مغزه‌ها (RQD) در مسیر تونل انتقال مطابق جدول ۵-۲ آمده است. لازم

به ذکر است که سه گمانه اول در راستای محور سد انحرافی حفاری شده‌اند.

جدول ۵-۲- نتایج RQD در مسیر تونل انتقال [۲]

کیفیت	RQD میانگین کل	شماره گمانه
متوسط	۶۳	B1
متوسط	۷۱	B2
متوسط	۵۳	B3
عالی	۹۹	B4
بد	۴۲	B5
متوسط	۵۳	B6
متوسط	۵۷	B7
بد	۴۷	B8
خیلی بد	۱۹	B9
بد	۴۰	B10
متوسط	۵۵	B11
متوسط	۵۵	B12

۳-۸-۲- پارامترهای ژئوتکنیکی مسیر تونل انتقال

توده سنگهای مسیر تونل انتقال آب به دو زون خروجی A و ورودی B تقسیم می‌شوند. از آنجا که جنس اکثر سنگها در مسیر تونل یکی است، این تقسیم بندی، بر اساس وضعیت لایه بندی سنگها در اطراف تونل صورت گرفته است. زون ورودی B از ۰ تا ۶۰۰ متری تونل و زون خروجی A از ۶۰۰ تا

۲۶۰۰ متری تونل را شامل می‌شود. میانگین پارامترهای ژئوتکنیکی مسیر تونل انتقال بر اساس این تقسیم بندی در جدول ۲-۶ آمده‌اند.

جدول ۲-۶ - پارامترهای ژئوتکنیکی مسیر تونل انتقال^{*} [۴و۲]

پارامتر	دانسیته خشک (g/cm^3)	زان ورودی B	زان خروجی A
دانسیته اشباع (g/cm^3)	۲/۲۸	۲/۰۱	۲/۲۲
جذب آب %	۶/۵	۱۱/۶۴	۲۲/۴۱
تخلخل %	۱۴/۸۷	۰/۳۴	۱/۲۷
نسبت پواسون	۰/۳	۱/۴	۵/۲
مدول الاستیک سنگ سالم (GPa)	۱۶/۷	۱۶/۷	۱۲/۷
مقاومت فشاری خشک (Mpa)	۶/۵	۶/۵	
مقاومت فشاری اشباع (Mpa)			

۴-۸-۲- نتایج مقاومت کششی در شرایط اشباع

مقدار میانگین مقاومت کششی نمونه‌ها نیز برای دو زون A و B به ترتیب برابر $\frac{1}{3}$ مگاپاسکال و

$\frac{4}{3}$ مگاپاسکال می‌باشد [۲].

۴-۸-۳- نتایج آزمایش سه محوره

آزمایش مقاومت فشاری سه محوره برای ماسه سنگ مارنی در گمانه‌های مسیر زون خروجی تونل جهت تعیین C (چسبندگی) و φ (زاویه اصطکاک داخلی) سنگ سالم (ماده سنگ) بکار رفت. مقدار میانگین C و φ به ترتیب $\frac{1}{3}8$ مگاپاسکال و 65 درجه محاسبه شد [۲].

مسیر تونل قطعاً از یک نوع سنگ نیست، این اطلاعات که از آزمایش گمانه‌ها گرفته شده است مربوط به نهشته‌های میوسن می‌باشد. در زون خروجی A جنس اکثر سنگهای مسیر تونل مارن (با درصد رس زیاد)، مارن ماسه‌ای، مارن سیلتی، ماسه سنگ مارنی و جنس اکثر سنگهای مسیر تونل در زون ورودی B مارن (با درصد رس کمتر)، مارن آهکی، آهک ماسه‌ای صدف دار، ماسه سنگ آهکی و ماسه سنگ مارنی می‌باشد. جزئیات در منبع ۲ آمده است.

۶-۸-۲- نتایج آزمایش برش مستقیم

آزمایش برش مستقیم از نوع اره بر (Saw Cut) برای توده سنگ بکار رفت. مقدار میانگین C و φ به ترتیب برای زون خروجی ۰/۰۶ مگاپاسکال و ۲۵ درجه و برای زون ورودی ۰/۰۸ مگاپاسکال و ۳۲ درجه تخمین زده شدند.

فصل سوم

برآورد سیستم نگهداری موقت بر
اساس طبقه‌بندی مهندسی سنگ

۱-۳- مقدمه

در این فصل، پس از تقسیم‌بندی مسیر تونل به دو زون ورودی و خروجی، اقدام به طبقه‌بندی مهندسی سنگ با دو روش کاربردی RMR و Q شده است. سپس بر اساس این طبقه‌بندی، برای سیستم نگهداری موقت، طرح پیشنهادی ارائه می‌گردد.

۲-۳- طبقه‌بندی مهندسی سنگ

محققین بسیاری در زمینه طبقه‌بندی توده سنگ‌ها کار کرده‌اند و اساس کار همه آنها نیز امتیازدهی و عددی کردن ویژگی‌های ژئوتکنیکی موثر بر رفتار توده سنگ و سپس ترکیب این امتیازات و تعیین یک امتیاز کلی می‌باشد که با استفاده از آن نوع نگهداری تونل در آن توده مشخص می‌شود [۱۱].

روشهای تجربی، روشهای ساده و کم هزینه‌ای را برای پیش‌بینی خصوصیات رفتاری توده‌سنگ و تخمین شاخصهای مکانیکی آنها ارائه می‌دهند. رده‌بندی توده سنگ، یکی از رهیافت‌های محققان و مهندسان مکانیک سنگ برای دستیابی به موارد فوق است. منظور از رده‌بندی قرار دادن سنگ‌ها در گروه‌های مختلف با توجه به خصوصیات ذاتی، رفتاری و شاخص‌های مکانیکی آنها در ارتباط با نوع سازه مورد نظر است [۱۲].

مهمترین روشهای رده‌بندی توده‌سنگ‌ها، روش ژئومکانیکی (RMR) و رده‌بندی بر اساس شاخص کیفیت تونل‌سازی Q می‌باشند. که طبقه‌بندی تونل انتقال آب بر اساس این دو روش انجام گرفته است (در امتیازدهی پارامترها و تعیین کلاس توده‌سنگ از جداول پیوست ۵ استفاده شده است).

RMR - ۱-۲-۳ روش

در سال ۱۹۷۶ میلادی، بینیاوسکی^۱ از مرکز مطالعات علمی و صنعتی آفریقای جنوبی (CSIR) طبقه‌بندی جدیدی از سنگها را بر مبنای ویژگی‌های ژئومکانیکی آنها ارائه داد که به روش RMR یا CSIR معروف است و به عنوان یکی از موفق‌ترین سیستمهای رده‌بندی سنگها در سیاست توپلی‌سازی بکار می‌رود.^[۱۳] این روش در سال ۱۹۸۹ اصلاح شد و آنچه در امتیازدهی توپل انتقال آب بکار رفته است بر مبنای روش اصلاحی است.

همانه اوری که گفته شد، توده‌سنگهای هم‌سیر توپل انتقال آب، به دو زون کلی خروجی A و ورودی B تقسیم می‌شوند. سنگهای این دو زون نیز خود بر دو سری می‌باشند. سری ۱ سنگهایی هستند که هوازدگی در آنها کمتر اتفاق افتاده است و سنگ از یک حالت متراکم برخوردار است و سری ۲ سنگهایی هستند که به علت هوازدگی از درزه‌داری بیشتری برخوردارند، و نقش سنگهای ضعیف و خرد شده را ایفا می‌کنند. امتیازدهی مقدار RMR با توجه به مقادیر میانگین این دو سری برای هر یک از زونها به شرح جدول ۱-۳ است:

^۱ Bieniawski

جدول ۱-۳ - مقداردهی پارامترها در روش RMR برای دو زون سنگی *

RMR	تعديل ارزش	آب زیرزمینی	وضعیت ناپیوستگی	فاصله داری درزه‌ها	مقاومت توده سنگ	RQD	زون
۵۲	-۲	۷	۱۲	۲۵	۲	۸	ورودی B
۳۴	-۲	۷	۶	۲۰	-	۳	خروجی A

نتایج زیر از مقدار RMR حاصل شده است:

زون ورودی B در رده سنگهای مناسب و کلاس III و زون خروجی A در رده سنگهای ضعیف و کلاس IV قرار می‌گیرند. طبق دستورالعمل انتخاب سیستم نگهداری برای تونلهایی با دهانه ۱۰ متر بر اساس شاخص RMR سیستم نگهداری پیشنهادی به صورت زیر است [۱۸]:

۵ تا ۱۰ سانتی‌متر شاتکریت در تاج و ۳ سانتی‌متر در دیواره با پیچ سنگ ۴ متری با فاصله داری $1/5 \times 2$ به همراه توری فلزی	زون B
۱۰ تا ۱۵ سانتی‌متر شاتکریت در تاج و ۱۰ سانتی‌متر در دیواره با پیچ سنگ ۴ متری با فاصله داری $1 \times 1/5$ به همراه توری فلزی	زون A

در تهیه این جدول از منابع ۲ و ۵ استفاده شده است. لازم به ذکر است که با توجه به اینکه امکان حفاری از دو سر تونل وجود دارد و زمان تکمیل پروژه نیز کوتاه است، لذا حفاری از دو سمت تونل صورت می‌گیرد و به این خاطر، مقدار تعديل ارزش برای هر دو زون یکسان در نظر گرفته شده است.

- زمان پابرجایی برای تونل با عرض ۴/۲ متر برای زون ورودی B یک هفته و برای زون خروجی A

دو تا سه ساعت بدست آمد.

- بار موثر بر سیستم نگهداری بر اساس فرمول انال^۲ (۱۹۸۳) در رده‌بندی ژئومکانیکی به صورت

رابطه (۱-۳) است :

$$P = \frac{100 - RMR}{100} \times \gamma \times B \quad (1-3)$$

که P فشار موثر بر سیستم نگهداری بر حسب تن بر متر مربع، B عرض تونل بر حسب متر و γ وزن مخصوص سنگ بر حسب تن بر متر مکعب می‌باشد. این فشار برای توده سنگ‌های زون ورودی B و زون خروجی A به ترتیب برابر ۴/۸ و ۶/۱ تن بر متر مربع برآورد شد.

Q ۲-۲-۲-۳ روش

این روش در سال ۱۹۷۴ توسط بارتون^۳ و همکارانش از انسستیتو ژئوتکنیکی نروژ (NGI) ارائه شد [۱۶]. اساس این روش بر مبنای محاسبه مقدار Q و سپس ارائه سیستم نگهداری می‌باشد. مقدار Q از رابطه (۲-۳) محاسبه می‌شود.

$$Q = \frac{RQD}{Jn} \times \frac{Jr}{Ja} \times \frac{Jw}{SRF} \quad (2-3)$$

که در آن، RQD شاخص کیفیت سنگ، Jn تعداد دسته درزه‌ها، Jr عدد زیری درزه‌ها، Ja عدد هوازدگی درزه‌ها، Jw عدد کاهش آب درزه‌ها، SRF ضریب کاهش تنش می‌باشد. امتیازدهی پارامترها در این روش برای دو زون مسیر تونل انتقال آب مطابق جدول ۳-۲ است.

² Unal

³ Barton

جدول ۲-۳- مقداردهی پارامترها بر اساس روش Q برای دوزون ورودی و خروجی تونل*

کلاس سنگ	اندازه معادل	ESR	Q	SRF	Ja	Jw	Jr	Jn	RQD	زون
۲۱	۲/۷	۱/۶	۱/۶۳	۵	۲	۱	۲	۶	۴۹	B
۳۰	۲/۷	۱/۶	۰/۱۰	۱۰	۴	۰/۶۶	۱/۵	۹	۳۵	A

نتایج زیر از مقدار Q حاصل شده است:

• توده سنگهای زون ورودی B، در کلاس ۲۱ و در رده سنگهای ضعیف قرار می‌گیرند. سیستم

نگهداری موقت شامل حداقل تا ۵ سانتی متر شاتکریت و پیچسنگ به فواصل ۱ تا ۱/۵ متر

می‌باشد [۱۵].

• توده سنگهای زون خروجی A، در کلاس ۳۰ و در رده سنگهای خیلی ضعیف قرار می‌گیرند.

سیستم نگهداری موقت شامل ۵ تا ۷/۵ سانتی متر شاتکریت به همراه توری فلزی و پیچسنگ به

فاصل ۱ تا ۱/۵ متر می‌باشد [۱۵].

بنابراین، نتایجی که از روش‌های تجربی حاصل شده است نشان می‌دهد که زون ورودی تونل در

رده سنگهای ضعیف قرار دارد و نیاز به ۵ سانتیمتر شاتکریت به همراه پیچسنگ به فواصل ۱ تا ۱/۵

متر می‌باشد و توده سنگهای زون خروجی تونل در رده سنگهای خیلی ضعیف قرار دارد و لازم است ۵

تا ۷/۵ سانتیمتر شاتکریت به همراه پیچسنگ به فواصل ۱ تا ۱/۵ متری اجرا گردد.

* در تهیه این جدول از منابع ۴ و ۷ استفاده شده است. ضمناً منظور از ESR ضریب پایداری فضای است که برای تونلهای انتقال آب برابر ۱/۶ می‌باشد و اندازه معادل حفاری نیز از تقسیم عرض حفاری بر این ضریب بدست می‌آید.

فصل چهارم

برآورد سیستم نگهداری موقت
بر اساس تحلیل اندرکنش
سنگ-سیستم نگهداری

۱-۴- مقدمه

در این فصل پس از مشخص شدن شرایط محیط پیوسته برای توده سنگهای مسیر تونل انتقال آب، بر اساس یکسری فرضیات و مطالعات، منحنی مشخصه زمین و منحنی مشخصه سیستم نگهداری در دستگاه فشار سیستم نگهداری- تغییر شکل شعاعی سنگهای اطراف تونل، رسم شده است. نقطه تلاقی منحنی مشخصه سیستم نگهداری و منحنی مشخصه زمین، نقطه عملکردی است که بیان می‌کند به ازای چه مقدار تحمل بار سیستم نگهداری، تغییر شکل شعاعی سنگهای اطراف تونل چقدر می‌باشد. بنابراین با تحلیل چند نوع سیستم نگهداری می‌توان برآورده از طرح نگهداری موقت تونل انجام داد.

۲-۴- محاسبه جابجایی‌های زمین

برای پیش‌بینی نگهداری لازم، باید از طریق مدل‌های تحلیلی یا عددی شناختی از جابجایی‌های زمین که در اثر حفاری بوجود می‌آید کسب شود. البته دوری یا نزدیکی نتایج حاصل از این روشها به واقعیت، بستگی به شناخت ما از زمین مربوطه و انتخاب مدل مناسب دارد. به نظر می‌رسد که مدل‌های خطی، در طراحی وسائل نگهداری تونل چندان به کار نمایند، اما جهت درک ساز و کار تغییر شکلها بسیار مفید می‌باشند [۱۱].

بطور کلی مدل‌های مورد استفاده به دو دسته تقسیم می‌شوند. مدل‌هایی که زمین را یک محیط پیوسته و مدل‌هایی که آنرا به صورت اجتماعی از قطعات ناپیوسته در نظر می‌گیرند [۱۱]:

مدلهای محیط پیوسته

در شرایط زیر می‌توان از مدل‌های محیط پیوسته استفاده نمود:

- ۱) زمین، همگن و یکپارچه باشد.
- ۲) ناپیوستگی‌های موجود تاثیری بر رفتار سازه زیرزمینی نداشته باشد.

توده سنگ بسیار پر درز و شکاف باشد که در این صورت می‌توان توده مزبور را یک توده پیوسته

معادل تعریف و قانون رفتاری برای آن شبیه‌سازی کرد.

روش تحلیلی و روش عددی، از روشهایی هستند که بر اساس مدل‌های محیط پیوسته کار می‌کنند.

مدل مکانیک بلوكها

این مدل‌ها که در حقیقت مدل‌های محیط ناپیوسته هستند توده سنگ را به صورت اجتماعی از بلوكها

که به وسیله درزهای طبیعی محدود شده‌اند، شبیه‌سازی می‌کنند. در این مدل‌ها بلوكهای مزبور

معمولًاً صلب و درزهای تغییر شکل‌پذیر در نظر گرفته می‌شوند. روش دینامیکی (روشی که توسط

کاندل^۱ (۱۹۷۱) پیشنهاد شد و در برنامه‌های UDEC و 3DEC مورد استفاده قرار گرفت) و روش

استاتیکی از روشهایی هستند که بر اساس مدل مکانیک بلوكها کار می‌کنند.

از آنجا که مارنها رفتار همگنی دارند و در اثر آزادسازی تنفس ناشی از حفر تونل، به دلیل وجود

رس در آنها، خاصیت پلاستیک از خود نشان می‌دهند؛ می‌توان رفتار الاستوپلاستیک کامل را که

یکی از حالات رفتاری روشهای تحلیلی در مدل‌سازی محیط‌های پیوسته می‌باشد، برای آنها در نظر

گرفت.

وقتی که فشار همه جانبه ذاتی در محیط سنگ، را به حد شکستنی می‌رساند؛ بخشی از محیط

اطراف تونل در اثر این فشارها خرد شده و منطقه خرد شده (زون پلاستیک) اطراف تونل را تشکیل

می‌دهد. حال هر چه این فشار نسبت به مقاومت سنگ بیشتر باشد زون پلاستیک اطراف تونل بیشتر

شده و تغییر شکل حاصل از پلاستیسیته سنگ بیشتر خواهد شد.

در یک فضای الاستیک همگن ایزوتروپ که در نقطه‌ای از آن فشار همه جانبه P وجود دارد،

تونلی با مقطع دایره‌ای به شعاع r حفر می‌شود و سیستم نگهداری نصب می‌شود که فشار P را به

^۱ Cundall

صورت شعاعی به محیط اطراف تونل اعمال می‌کند) در وضعیت تونل بدون سیستم نگهداری $P_i = 0$ است). هدف تعیین ضخامت منطقه پلاستیک دهانه تونل بر حسب مشخصاتی چون P_0 (میدان هیدرواستاتیک تنش زمین)، C ، m ، φ ، s (پارامترهای مقاومتی سنگ) و r می‌باشد. آنگاه بر اساس این ضخامت، تغییر شکل شعاعی منطقه پلاستیک حساب می‌شود که خود تابعی از تمام کیفیت‌های ذکر شده است. بنابراین می‌توان منحنی مشخصه زمین (تغییر شکل شعاعی - فشار سیستم نگهداری) را برای یک تونل معین با خواص معلوم زمین بدست آورد.

۴-۱-۲- فرضیات اساسی در رسم منحنی مشخصه زمین

۱ هندسه تونل: تونل را با مقطع دایره به شعاع r در نظر می‌گیرند طول تونل به گونه‌ای است که مساله را می‌توان به صورت دو بعدی در نظر گرفت.

۲ میدان تنش در جا: تنشهای لفقی و قائم باهم برابر و مساوی P_0 است.

۳ فشار سیستم نگهداری: فرض می‌شود که سیستم نگهداری نصب شده فشار P_i را به صورت شعاعی و یکنواخت به دیواره‌ها و جدار تونل اعمال می‌کند.

۴ خصوصیات توده سنگ اصلی: توده سنگ اصلی الاستیک فرض شده و معیار شکست این توده سنگی با رابطه (۴-۱) بیان می‌شود:

$$\sigma_1 = \sigma_3 + (m\sigma_c\sigma_3 + s\sigma_c^2)^{\frac{1}{2}} \quad (4-1)$$

که در آن:

σ_1 = تنش اصلی ماکزیمم در لحظه شکستگی نهایی

σ_3 = تنش اصلی مینیمم

σ_c = مقاومت فشاری تک محوری سنگ

m و s = مقادیر ثابتی که به خواص توده سنگ بستگی دارند.

۱) خصوصیات توده سنگ شکسته: فرض می‌شود که توده سنگی شکسته که تونل را در بر گرفته

است، پلاستیک کامل باشد و از معیار شکست زیر پیروی کند:

$$\sigma_1 = \sigma_3 + (m_r \sigma_c \sigma_3 + s_r \sigma_c^2)^{\frac{1}{2}} \quad (2-4)$$

در این رابطه ضرایب m_r و s_r مربوط به سنگ شکسته است.

۲) کرنش‌های حجمی: در منطقه الاستیک، کرنشهای حجمی با ثوابت الاستیک E و v مشخص می‌شوند. در لحظه شکست کامل، سنگ افزایش حجم می‌دهد و کرنشهای حجمی با استفاده از قانون جریان در تنوری پلاستیسیته، محاسبه می‌شوند.

۳) رفتار وابسته به زمان: فرض می‌شود که توده سنگهای اصلی و شکسته هیچکدام رفتار وابسته به زمان از خود نشان نمی‌دهند.

۴) گسترش منطقه پلاستیک: فرض می‌شود که منطقه پلاستیک تا شعاع r_0 گسترش یابد که این گسترش به فشار P_0 ، فشار سیستم نگهداری P_s و خصوصیات مصالح سنگی الاستیک و پلاستیک بستگی دارد.

۵) تقارن شعاعی: در تمام این بحث‌ها، مسئله به صورت متقارن حول محور تونل تحلیل می‌شود. اگر وزن سنگ در منطقه شکسته در تحلیل منظور شود، این تقارن ساده‌کننده از بین خواهد رفت. از آنجا که وزن سنگ شکسته در طراحی سیستم نگهداری فوق العاده مهم است، بعد از اتمام تحلیل اصلی، اثر وزن را بطور تقریبی منظور می‌کنند [۱۵ و ۲۰].

۲-۲-۴- مراحل رسم منحنی مشخصه زمین

اطلاعات مورد نیاز [۱۵ و ۱۸]:

σ_c = مقاومت فشاری تک محوره سنگ بکر

m_r = ثابت‌های توده سنگ اصلی

E = مدول الاستیسیته توده سنگ اصلی

v = ضریب پواسون توده سنگ اصلی

m_r, s_r = ثابت‌های توده سنگ شکسته

γ_r = وزن مخصوص توده سنگ شکسته

P_0 = اندازه تنش در جا

r_i = شعاع تونل

P_i = فشار داخلی سیستم نگهداری

ابتدا باید سه پارامتر M و D و N را محاسبه کرد [۱۵و۱۸]:

$$M = \frac{1}{2} \left[\left(\frac{m}{4} \right)^2 + \frac{mP_0}{\sigma_c} + s \right]^{\frac{1}{2}} - \frac{m}{8} \quad (۳-۴)$$

$$D = \frac{-m}{m + 4 \left[\frac{m}{\sigma_c} (P_0 - M\sigma_c) + s \right]^{\frac{1}{2}}} \quad (۴-۴)$$

$$N = 2 \left[\frac{P_0 - M\sigma_c}{m_r \sigma_c} + \frac{s_r}{m_r^2} \right]^{\frac{1}{2}} \quad (۵-۴)$$

فشار بحرانی از رابطه (۴-۴) بدست می‌آید [۱۵و۱۸]:

$$P_{icr} = P_0 - M\sigma_c \quad (۶-۴)$$

حال برای رسم نقاط منحنی به ازای هر P_i , U_i , P_i (تغییر شکل شعاعی) محاسبه می‌شود. بدین صورت که به ازای $P_i > P_{icr}$, تغییر شکل در اطراف تونل الاستیک است. در این حالت U_i برابر است

: [۱۴و۱۶]

$$U_i = r_i \times \frac{(1+\nu)}{E} (P_0 - P_i) \quad (۷-۴)$$

و برای $P_i < P_{icr}$ شکستگی پلاستیک در اطراف تونل رخ می‌دهد، در این حالت U_i از روابط

زیر محاسبه می‌شود [۱۵و۱۸]:

$$\frac{U_i}{r_i} = \frac{(1+\nu)}{E} M\sigma_c \quad (۸-۴)$$

$$\frac{r_e}{r_i} = \exp\left(N - 2\left(\frac{P_i}{m_r \sigma_c} + \frac{s_r}{m_r^2}\right)^{\frac{1}{2}}\right) \quad (9-4)$$

به ازای $\frac{r_e}{r_i}$ بزرگتر از $\sqrt{3}$:

$$R = 1.1 \times D \quad (10-4)$$

و به ازای $\frac{r_e}{r_i}$ کوچکتر از $\sqrt{3}$:

$$R = 2 \times D \times \ln\left(\frac{r_e}{r_i}\right) \quad (11-4)$$

$$e_{av} = \frac{2(U_e/r_e)(r_e/r_i)^2}{[(r_e/r_i)^2(1+1/R)]} \quad (12-4)$$

$$A = (2(U_e/r_i) - e_{av}) \times (r_e/r_i)^2 \quad (13-4)$$

$$U_i = r_i \times \left(1 - \left[\frac{1-e_{av}}{1+A}\right]^{\frac{1}{2}}\right) \quad (14-4)$$

R ، e_{av} و A پارامترهایی هستند که در محاسبه U_i بکار می‌روند.

شعاع منطقه الاستیک و U_i ، جابجایی شعاعی در مرز الاستیک است.

منحنی مشخصه زمین را می‌توان برای نمایش رفتار دیواره تونلها در نظر گرفت. زیرا در این مناطق به علت بار مرده ناشی از سنگ شکسته اطراف تونل، تنشها و تغییر شکلها چندان تحت تاثیر قرار نمی‌گیرند. برای آنکه وزن بار مرده ناشی از سنگ شکسته در طاق و کف تونل در نظر گرفته شود، فشار سیستم نگهداری P_i را می‌توان به میزان $(r_i - r_e) \cdot 2$ کم یا زیاد کرد که در آن، وزن مخصوص سنگ شکسته است.

۳-۴- منحنی مشخصه سیستم نگهداری

این منحنی با فرض آنکه صلبیت سیستم نگهداری ثابت است، خطی فرض می‌شود و حال آنکه در عمل اینطور نیست. در شکل ۱-۴ خط سیستم نگهداری رسم شده است.

در این شکل:

$$U_{io} = \text{تفییر شکل کلی اولیه قبل از نصب سیستم نگهداری}$$

$$U_{sm} = \text{حداکثر تغییر شکل الاستیک سیستم نگهداری}$$

$$P_{sm} = \text{حداکثر فشار ناشی از سیستم نگهداری}$$

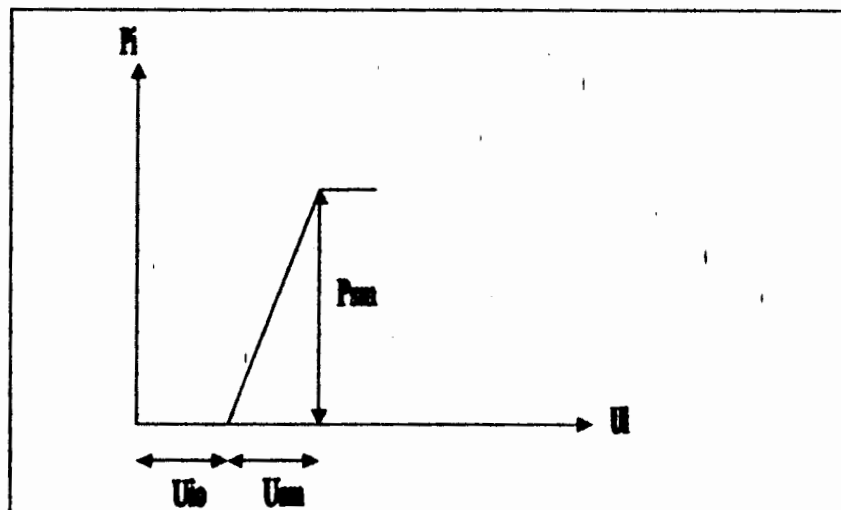
می‌باشد. در این حالت تغییر شکل نهایی تونل برابر است با:

$$U_i = U_{io} + U_{ie} \quad (15-4)$$

که U_{ie} تغییر شکل الاستیک سیستم نگهداری است و برابر است با [۱۵]:

$$U_{ie} = \frac{P_{sm} \times r_i}{k_c} \quad (16-4)$$

در رابطه بالا r_i شعاع تونل و k_c سختی سیستم نگهداری است.



شکل ۱-۴- منحنی سیستم نگهداری [۱۵]

بنابراین برای رسم خط سیستم نگهداری، علاوه بر مشخص بودن تغییر شکل شعاعی اولیه (که در قسمت ۱-۳-۴ درباره آن صحبت می‌شود) باید $P_{\text{و}} k$ را نیز محاسبه کرد. این محاسبات برای شاتکریت، پیچ سنگ و سیستم ترکیبی شاتکریت و پیچ سنگ فرق می‌کند که در مباحث بعدی به آن پرداخته می‌شود.

۱-۳-۴- محاسبه تغییر شکل اولیه قبل از نصب سیستم نگهداری

تعیین میزان همگرایی قبل از نصب سیستم نگهداری از اهمیت زیادی برخوردار است. همچنین لحاظ کردن این جایجایی‌ها در جدار تونل - که مربوط به وقفه زمانی بین حفر و نصب سیستم نگهداری است - در مدلسازی عددی نیز بسیار مهم بوده و سبب طراحی بهینه سیستم نگهداری خواهد شد.

همگرایی بعد از حفاری فوراً متوقف نمی‌شود. در واقع همگرایی قبل از رسیدن جبهه کار به مقطع مورد نظر شروع و پس از حفاری مقطع مورد نظر و رشدمن از آن نیز ادامه می‌یابد. همگرایی تابع سرعت پیشروی جبهه کار و توقف‌های احتمالی در کار بوده و سرعت همگرایی نیز تابع خواص رئولوژیک زمین است. برای تعیین خواص رئولوژیک زمین باید در آزمایشگاه بر روی نمونه‌ها آزمون وارفتگی یا خزش انجام داد که مستلزم صرف زمان زیادی است [۱۱].

از آنجا که مدلسازی معادلات خزش مشکل است و همچنین تجربه نشان‌داده است که در هنگام حفاری مشابه در ساختگاه سد به علت ریزشی بودن تونل فوراً نیاز به اجرای سیستم نگهداری است، پس می‌شود که از تاثیر زمان صرف‌نظر کرد و می‌توان گفت که تغییر شکل شعاعی تونل، تابعی از فاصله و جبهه کار پیشروی تا سیستم نگهداری و سرعت پیشروی می‌باشد.

طبق نظر چانگ^۱ (۱۹۹۴)، همگرایی (x) u در مقطعی که به فاصله X از سینه کار قرار دارد برابر است با [۲۱]:

^۱ Chang

$$U(x) = U_{total} \left[1 - \left(1 - \frac{U_{io}}{U_{total}} \right) \left(1 + 1.19 \frac{X}{R_p} \right)^2 \right] \quad (17-4)$$

که در آن، U_{io} میزان همگرایی در سینه کار پیشروی است که بلافاصله بعد از عملیات حفاری رخ می‌دهد و U_{total} همگرایی برای مقطعی است که فاصله‌ای دور از سینه کار پیشروی را دارد.

بر اساس گفته پانت و گوت^۳ (۱۹۸۳)، $\frac{U_{io}}{U_{total}}$ مقداری ثابت و برابر 0.28 می‌باشد (یعنی ۲۸

درصد کل جلگچایی بعد از حفر انجام خواهد شد). آقای چانگ رابطه مستقلی جهت محاسبه $\frac{U_{io}}{U_{total}}$

[ارائه کرده است] [۲۱]

$$\frac{U_{io}}{U_{total}} = 0.279 \left(\frac{R_p}{R_i} \right)^{0.203} \quad (18-4)$$

که R_p شعاع منطقه پلاستیک اطراف تونل و R_i شعاع تونل می‌باشد.

در مورد انتخاب U_{io} باید به دو نکته زیر دقت شود:

از آنجا که سرعت اجرای سیستم نگهداری شاتکریت (به همراه توری سیمی) با سرعت پیشروی بیشتری نسبت به اجرای شاتکریت و پیچ سنگ همراه است، مقدار همگرایی اولیه کمتری برای سیستم نگهداری شاتکریت نسبت به اجرای سیستم نگهداری شاتکریت و پیچ سنگ باید در نظر گرفته شود.

همگرایی بحرانی U_{crit} ، مقدار همگرایی است که فشار کلی وسیله نگهداری حداقل خواهد بود.

در هنگام نصب سیستم نگهداری باید دقت شود که رابطه زیر برقرار باشد:

$$U_{io} + U_{sm} < U_{crit} \quad (19-4)$$

زیرا اگر این رابطه برقرار نباشد، تونل بالقوه نالمن خواهد بود و احتمال ریزش و عدم پایداری وجود خواهد داشت.

^۳ Guenot, A. Pnnet, M.

۴-۳-۴- سیستم نگهداری موجود برای شاتکریت

صلبیت سیستم نگهداری از رابطه (۲۰-۴) محاسبه می‌شود [۱۵]:

$$K_c = \frac{E_c [r_i^2 - (r_i - t_c)^2]}{(1 + v_c) [(1 - 2v_c)r_i^2 + (r_i - t_c)^2]} \quad (20-4)$$

که در آن:

E_c = مدول الاستیسیته بتن

v_c = ضریب پواسون بتن

r_i = شعاع تونل

t_c = ضخامت شاتکریت

وجود توری سیمی نقش مهمی در کنترل و توزیع تنشها و ترکها در پوشش ایفا می‌کند، اما در افزایش صلبیت نقش چندانی ندارد. حداقل فشار سیستم نگهداری که به وسیله پوشش شاتکریت ایجاد می‌شود از رابطه (۲۱-۴) بدست می‌آید:

$$P_{sw} = \frac{1}{2} \sigma_c \left[1 - \frac{(r_i - t_c)^2}{r_i^2} \right] \quad (21-4)$$

که در آن σ_c مقاومت فشاری تکمحوره شاتکریت است.

۴-۳-۴- سیستم نگهداری برای پیچ سنگ تزریقی

مفاهیم مربوط به اندرکنش سیستم نگهداری-سنگ را نمی‌توان برای پیچ سنگهای تزریقی بکار برد، علت آنستکه این سیستم‌ها مستقل از سنگ عمل نمی‌کنند و لذا تغییر شکل‌هایی که در توده سنگ و سیستم نگهداری اتفاق می‌افتد را نمی‌توان از یکدیگر مجزا کرد. به عقیده هوک و براون عمل تقویت‌کنندگی پیچ سنگهای تزریقی در توده‌های سنگی به علت تقویت درونی توده سنگ است که تا حد زیادی مشابه نقش میلگردها در بتن مسلح است. به علت به هم دوختن توده سنگ و جدایی بلوکهای منفرد، سیستم‌های تزریقی، اتساع در توده سنگ اطراف تونل را محدود می‌کنند. این امر

موجب می شود که ثابت های توده سنگ اصلی m و s در تبدیل به m_s و s کمتر کاهش یابند) لازم به ذکر است که با افزایش اندازی در مقدار m و s تغییر شکل شدیداً کاهش می یابد) [۱۵]

از آنجا که اثر تزریق برای محاسبه مستقیم خط عکس العمل پیچ سنگ تزریقی بر پایه تحلیل اندرکنش سنگ - سیستم نگهداری ممکن نیست، می توان فرض کرد که تزریق باعث اتصال سنگها به هم و افزایش مقاومت کششی آنها می شود. بنابراین در تحلیل پیچ سنگ تزریقی، با افزایش مقادیر m و s می توان از روابط تحلیلی پیچ سنگ غیر تزریقی استفاده کرد. این روابط در زیر آمده اند [۱۵]:

$$\frac{1}{K_b} = \frac{S_c S_l}{r_i} \left[\frac{4l}{\pi d_b^2 E_b} + Q \right] \quad (۲۲-۴)$$

که در آن :

$$K_b = \text{صلبیت پیچ سنگ}$$

$$S_c = \text{فاصله داری محیطی پیچ سنگها}$$

$$S_l = \text{فاصله داری طولی پیچ سنگها}$$

$$l = \text{طول پیچ سنگ}$$

$$d_b = \text{قطر پیچ سنگ}$$

$$E_b = \text{مدول الاستیسیته پیچ سنگ}$$

$$Q = \text{ثابت بار - تغییر شکل برای بخش گیرش و راس پیچ سنگ}$$

$$r_i = \text{شعاع تونل}$$

$$P_{stm} = \frac{T_b}{S_c S_l} \quad (۲۳-۴)$$

که در آن :

$$P_{stm} = \text{حداکثر فشار سیستم نگهداری پیچ سنگ}$$

$$T_b = \text{بار گسیختگی نهایی حاصل از آزمون بیرون کشی}$$

۴-۳-۴-سیستم نگهداری ترکیبی

اگر دو سیستم پیچ سنگ و شاتکریت با هم ترکیب شوند، صلبیت سیستم نگهداری ترکیبی مساوی جمع صلبیت افزایش سیستم‌هاست. در سیستم‌های ترکیبی فرض بر این است که دو سیستم به طور همزمان با هم نصب می‌شوند و واکنش‌ها نسبت به تغییر شکل تونل به طور همزمان است.

ترتیب محاسبات برای رسم منحنی سیستم نگهداری به شرح زیر است [۱۵]:

ابتدا باید سه پارامتر زیر را محاسبه کرد:

$$U_{\max 1} = \frac{r_i P_{sm1}}{K_1} \quad (24-4)$$

$$U_{\max 2} = \frac{r_i P_{sm2}}{K_2} \quad (25-4)$$

$$U_{12} = \frac{r_i P_i}{(K_1 + K_2)} \quad (26-4)$$

که در روابط بالا:

K_1 = سختی سیستم نگهداری اول

K_2 = سختی سیستم نگهداری دوم

P_{sm1} = حداقل فشار سیستم نگهداری اول

P_{sm2} = حداقل فشار سیستم نگهداری دوم

حال برای وضعیت $U_{12} < U_{\max 1} < U_{\max 2}$ خواهیم داشت:

$$U_i = U_{i0} + \frac{P_i \times r_i}{(K_1 + K_2)} \quad (27-4)$$

و برای وضعیت $U_{12} > U_{\max 1} > U_{\max 2}$ خواهیم داشت:

$$P_{\max 12} = U_{\max 1} \frac{(K_1 + K_2)}{r_i} \quad (28-4)$$

و در مورد وضعیت $U_{12} > U_{\max 2} > U_{\max 1}$ خواهیم داشت:

$$P_{\max 12} = U_{\max 2} \frac{(K_1 + K_2)}{r_i} \quad (29-4)$$

۴-۴- تحلیل منحنی عکس العمل سیستم نگهداری بر روی منحنی مشخصه

زمین مسیر تونل انتقال آب

رسم منحنی مشخصه زمین در تونل سنگهای مسیر تونل انتقال آب، بر سه مقطع یعنی زون ورودی B (در فاصله ۵۰۰ متری از دهانه ورودی تونل)، زون خروجی A (در فاصله ۲۳۰۰ متری از دهانه ورودی تونل) و مقطع حداقل روباره در زون خروجی A (فاصله ۱۷۰۰ متری از دهانه ورودی تونل) صورت گرفته است. در این تحلیلهای از اطلاعات جدول ۱-۴ استفاده شده است.

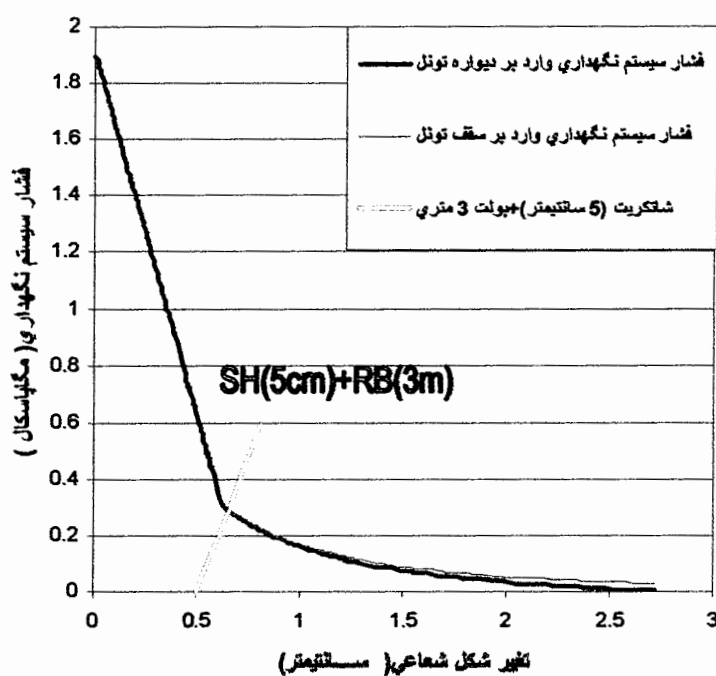
جدول ۱-۴- اطلاعات لازم برای رسم منحنی مشخصه زمین برای سه مقطع مورد نظر*

RMR	زون خروجی A	مقطع حداقل روباره	زون ورودی B
مدول الاستیک تونل سنگ (گیکاپسکال)	۰/۵	۰/۷	۰/۷
مقلومت فشاری (مکاپسکال)	۵/۲	۵/۲	۶/۵
کلا پارامتر هوک و بروون	۰/۰۰۲	۰/۰۰۱۳	۰/۰۰۱۷
M (پارامتر هوک و بروون)	۴-۵	۵	۵-۷
دلتیسته (گرم بر سانتی متر مکعب)	۲/۲۲	۲/۲۲	۲/۴۳
ضریب ہولسون	۰/۳۴	۰/۳۲	۰/۳
حداکثر روباره (متر)	۱۰۰	۱۸۰	۸۰

* چکونگی محاسبه بعضی از پارامترهای جدول در اینوست آمده است

در مورد سیستم نگهداری واضح است که شاتکریت لازم است، چرا که علاوه بر وظیفه جلوگیری از ریزش سنگهای خرد شده به داخل تونل و پایداری موقت تا نصب نگهدارنده دائمی، سطح حفاری شده را در برابر هوازدگی حفاظت می‌نماید. از آنجا که شاتکریت در مارن نقش نگهداری غیر فعال را ایفا می‌کند، به نظر می‌رسد که استفاده از پیچ سنگ نیز ضرورت داشته باشد. مشخصات پیچ سنگها به پیشنهاد مهندسین اجرایی ساختگاه سد، ۳ متر طول با قطر ۲۵ میلیمتر در نظر گرفته شده است.

منحنی سیستم نگهداری و منحنی مشخصه زمین برای توده سنگهای زون B مطابق شکل ۴-۳ می‌باشد:

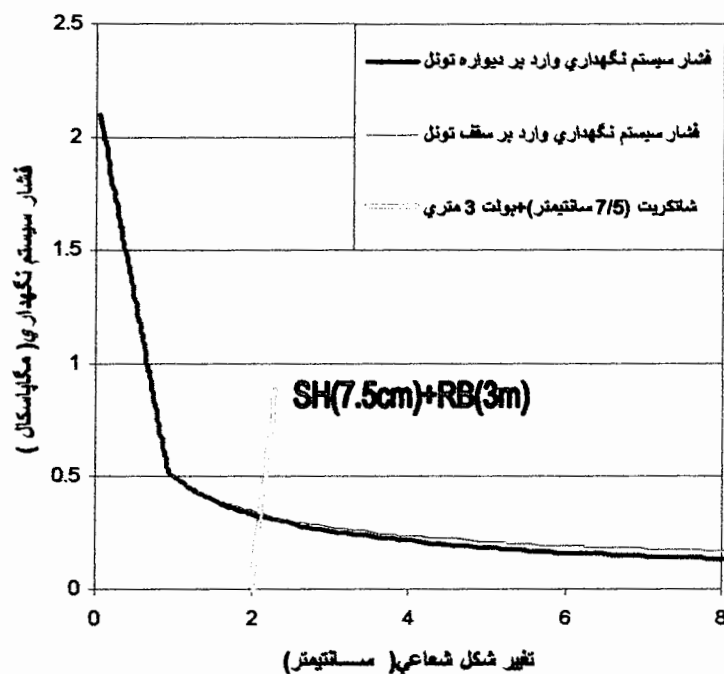


شکل ۴-۳- منحنی سیستم نگهداری و زمین برای توده سنگهای زون B

با استفاده از نتایجی که از روش طراحی تجربی بدست آمد، با اجرای سیستم نگهداری ۵ سانتیمتر شاتکریت و پیچ سنگ ۳ متری با فاصله داری $1/5 \times 1/5$ ، در توده سنگهای زون B و با فرض اینکه تغییرشکل شعاعی اولیه سنگهای اطراف توغل ۵/۰ سانتیمتر باشد، تغییرشکل شعاعی کلی در ۶/۰ سانتیمتری متوقف می‌شود. در این حالت فشار وارد بر سیستم نگهداری ۳/۰ مگاپاسکال و ضریب اطمینان سیستم نگهداری برابر ۲ خواهد بود. لازم به ذکر است که تغییرشکل شعاعی در دیواره توغل در ۷/۰ سانتیمتری و در سقف توغل در ۳ سانتیمتری، بدون اجرای سیستم نگهداری، متوقف خواهد شد (مراحل رسم منحنیها در پیوست ۷ آمده است).

منحنی سیستم نگهداری و منحنی مشخصه زمین برای توده سنگهای زون A مطابق شکل

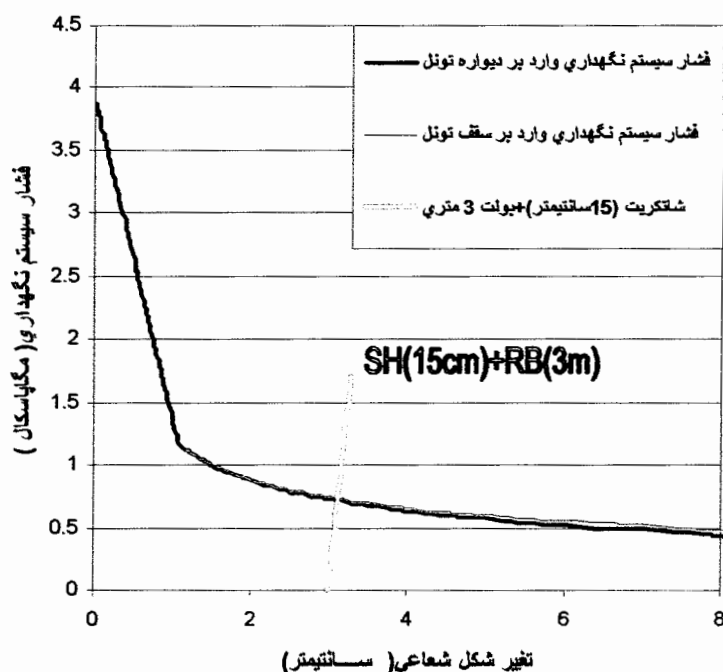
۳-۴ می‌باشد:



شکل ۳-۴- منحنی سیستم نگهداری و زمین برای توده سنگهای زون A

با استفاده از نتایجی که از روش طراحی تجربی بدست آمد، با اجرای سیستم نگهداری $7/5$ سانتیمتر شاتکریت و پیچ سنگ 3 متری با فاصله داری $1/5 \times 1/5$ ، در توده سنگهای زون A و با فرض اینکه تغییرشکل ساعی اولیه سنگهای اطراف تونل 2 سانتیمتر باشد، تغییرشکل ساعی کلی در $2/1$ سانتیمتری متوقف می‌شود. در این حالت فشار وارد بر سیستم نگهداری $0/33$ مگاپاسکال و ضریب اطمینان سیستم نگهداری $2/7$ خواهد بود. لازم به ذکر است که تغییرشکل ساعی در دیواره تونل در 15 سانتیمتری و در سقف تونل در 17 سانتیمتری، بدون اجرای سیستم نگهداری، متوقف خواهد شد) اجرای $7/5$ سانتی‌متر شاتکریت، نقطه عملکرد بهتری را نسبت به اجرای 5 سانتی‌متر شاتکریت در منحنی سیستم نگهداری نتیجه می‌دهد).

منحنی سیستم نگهداری و منحنی مشخصه زمین برای توده سنگهای زون خروجی A (قطع حداکثر روباره) مطابق شکل ۴-۴ می‌باشد:



شکل ۴-۴- منحنی سیستم نگهداری و زمین برای توده سنگهای زون خروجی A (قطع حداکثر روباره)

با اجرای سیستم نگهداری ۱۵ سانتیمتر شاتکریت و پیچ سنگ ۳ متری با فاصله‌داری $1/5 \times 1/5$ ، در مقطع حدأکثر روباره و با فرض اینکه تغییرشکل شعاعی اولیه سنگ‌های اطراف تونل ۳ سانتیمتر باشد، تغییرشکل شعاعی کلی در $3/1$ سانتیمتری متوقف می‌شود. در این حالت فشار وارد بر سیستم نگهداری $7/0$ مگاپاسکال و ضریب اطمینان سیستم نگهداری $2/4$ خواهد بود. لازم به ذکر است که تغییرشکل شعاعی در دیواره و سقف تونل، در ۲۸ سانتیمتری بدون اجرای سیستم نگهداری متوقف خواهد شد) اجرای شاتکریت با ضخامت ۱۰ و ۱۲ سانتی‌متر نقطه عملکرد مناسبی را نتیجه نمی‌دهد. ضمناً یادآوری می‌شود که در این مقطع نمی‌توان از نتایج طراحی تجربی سود جست).

بطور خلاصه بر اساس تحلیل اندرکنش سنگ-سیستم نگهداری می‌توان گفت که، اجرای شاتکریت به ضخامت ۵ سانتیمتر و به همراه پیچ سنگ ۳ متری با فاصله‌داری $1/5$ در $1/5$ متر، طرحی مناسب به عنوان سیستم نگهداری موقت برای مسیر ورودی تونل انتقال آب (زون B) به نظر می‌رسد. همچنین برای مسیر خروجی تونل (زون A)، نیاز به اجرای $7/5$ تا ۱۵ سانتی‌متر شاتکریت می‌باشد که با پیچ سنگ ۳ متری با فاصله‌داری $1/5$ در $1/5$ متر مهار شود) البته واضح است که هر چه در این زون روباره افزایش یابد و به مقطع حدأکثر روباره نزدیکتر شویم، اجرای ضخامت شاتکریت به 15 سانتی‌متر خواهد رسید).

ضمناً، تغییرشکل شعاعی اولیه در هر سه مقطع مورد بحث بر طبق فرمولهای چانگ و پانت (روابط $4-17$ و $4-18$) بر اساس پیشروی به ازای هرگام حفاری $1/5$ تا ۲ متر در هر شیفت (نظر به تجربیات مهندسین اجرایی در ساختگاه سد با توجه به سرعت پیشروی دستگاه حفار و ریزشی بودن مسیر) در نظر گرفته شده است.*

* میزان جابجایی کل شعاعی در هر گام پیشروی رامی‌توان از نتایج روش‌های عددی (نرم‌افزار) بدست آورد و سهی از فرمولها برای محاسبه تغییر شکل شعاعی اولیه استفاده کرد. هر چند که بهتر است در زمان حفر تونل از نتایج رفتارسنگی مسیر تونل برای محاسبه تغییر شکل شعاعی اولیه استفاده کرد.

از آنجا که در رسم منحنی مشخصه زمین و سیستم نگهداری فرضیاتی چون وجود تنفس هیدرولاستاتیک، دایروی بودن مقطع تونل و ... شده است نمی‌توان زیاد به نتایج این روش تکیه کرد و لذا ضرورت دارد که از روش‌های مدلسازی عددی در راستای بهتر مدل کردن تونل در منطقه سود جست و محدودیتها و فرضیات را به حداقل رسانید.

فصل پنجم

برآورد سیستم نگهداری موقت
براساس روش عددی

۱-۵- مقدمه

در این فصل پس از بررسی کلیاتی در مورد روش‌های عددی تحلیل تنش در تونلها، به تشریح نرم‌افزار FLAC3D پرداخته شده و در نهایت برای مسیر تونل تحلیل پایداری و طراحی سیستم نگهداری موقت صورت گرفته است.

۲-۵- روش‌های عددی

در جاهایی که روش‌های تحلیلی قادر به حل واقعی مساله توزیع تنشها و تغییرشکلها نیستند، قابلیت روش‌های عددی آشکار می‌گردد. در این روشها معادلات مربوطه از طریق شرایط تعادل و قانون رفتاری اتخاذ شده به طور گام به گام حل می‌شوند [۱۱].

به طور کلی روش‌های تحلیل تنش در حفریات زیرزمینی را به دو گروه کلی محیطی و مرزی تقسیم می‌کنند:

۱- روش‌های محیطی^۱ یا دیفرانسیلی^۲، توده سنگ را به عناصر ساده هندسی تفکیک می‌کنند که هر یک ویژگی‌های خاص خود را دارند و مجموعه این عناصر فرعی، رفتار کلی توده سنگ را بیان می‌کنند [۱۳]. این گروه شامل روش‌هایی چون: روش عناصر محدود^۳، روش تفاوت‌های محدود^۴ و روش عناصر مجزا^۵ می‌باشد.

۲- روش‌های مرزی^۶ یا انتگرالی^۷، فقط مرز خارجی حفریات زیرزمینی را به عناصر مجزایی تقسیم می‌کنند و بخش درونی توده‌سنگ را به عنوان یک محیط نامحدود در نظر می‌گیرند. از متداولترین این روشها روش عناصر مرزی^۸ می‌باشد [۱۳].

¹ Domain

² Differential

³ Finite elements

⁴ Finite difference

⁵ Distinct elements

⁶ Boundary

⁷ Integral

⁸ Boundary elements

نرم افزار بکار رفته برای تحلیل پایداری و طراحی سیستم نگهداری تونل انتقال آب بابلک FLAC3D می باشد. این نرم افزار بر اساس روش تفاوت های محدود کار می کند که توده سنگی را به عنوان یک محیط پیوسته در نظر می گیرد.

۳-۵- نرم افزار FLAC3D

FLAC3D یک برنامه سه بعدی تفاوت محدود صریح^۱ برای محاسبات مهندسی ژئومکانیکی است و اساس کارش بر مبنای فرمولاسیون عددی برنامه دو بعدی FLAC می باشد که رفتار سه بعدی خاک و سنگ و مواد دیگری که به هنگام رسیدن به حد تسلیم از خود رفتار پلاستیک نشان می دهند را شبیه سازی می کند. مواد با المانهای چند وجهی معرفی می شوند که با شبکه سه بعدی گسترش یافته اند و کاربر با تعديل آنها می توانند شکل مورد نظر خود را بسازد. هر المان بر طبق قانون تنشن کرنش خطی یا غیر خطی در برابر محدودیتهای مرزی و نیروهای اعمالی از خود واکنش نشان می دهد. مواد در اثر تنشن اعمالی می توانند تسلیم شوند و شبکه (در یک وضعیت کرنش بزرگ) تغییر

شکل یابد [۲۲].

FLAC3D همانند روش المان محدود، معادلات تفاضلی را به معادلات ماتریسی برای هر المان معنی می کند. اگرچه معادلات FLAC3D از روش تفاوت محدود مشتق شده است، نتیجه المان ماتریسی برای یک ماده الاستیک همانند روش المان محدود است. با این وجود FLAC3D در موارد ذیل فرق

قابل می شود [۲۲]:

۱) شمای mixed discretization - که توسط مارتی و کاندل^۲ بیان شد- برای مدل سازی بارهای تخریبی پلاستیک و جریان پلاستیک استفاده می شود. این روش بر این باور است که از روش reduced integration - روشی که در المان محدود بکار می رود- قابل توجیه تر است.

¹ Explicit finite difference

² Marti & Cundall

۲) معادلات دینامیکی کامل از حرکت استفاده می‌شود، حتی هنگامی که سیستم مدلسازی اساساً استاتیک باشد. این قضیه باعث می‌شود که FLAC3D مسائل ناپایدار را نیز حل کند.

۳) شمای حل صریح^{۱۱} استفاده می‌شود (در مقایسه با روش‌های معمول مجازی). این خاصیت باعث کاهش زمان حل مساله غیر خطی نسبت به روش خطی می‌گردد (روش‌های مجازی زمان زیادتری را برای حل مسائل غیر خطی بکار می‌برند). بعلاوه لازم نیست هر ماتریسی را ذخیره کنیم و این یعنی که: الف) المانهای بیشتری در زمان نسبتاً مناسب می‌توانند مدل شوند. ب) شبیه‌سازی کرنش بزرگ، به اندازه اجرای کرنش کوچک زمان گیر نیست چراکه هیچ ماتریس سختی نیست که به فرم شکل جدید در آید.

۴) FLAC3D یک نرم‌افزار قوی در حل مدل‌های ترکیبی بدون در نظر گرفتن هرگونه تعديل در الگوریتم حل می‌باشد.

و از معایب این نرم‌افزار کند عمل کردن اجرای شبیه‌سازی خطی در مقایسه با روش‌های المان محدود می‌باشد. در واقع FLAC3D وقتی موثر است، که برای مسائل کرنش بزرگ یا مسائل غیرخطی بکار رود و یا موقعیتهايی که از لحاظ فیزیکی ناپایدار باشند.

انواع مدل‌های FLAC3D (به استثنای مدل تهی، بقیه برای توده سنگ و خاک بکار

می‌روند) [۲۲]:

گروه مدل تهی:

• مدل تهی^{۱۲}

گروه مدل الاستیک:

• مدل الاستیک^{۱۳}

^{۱۱} Explicit solution scheme

(Null model)^{۱۲}) این مدل برای ایجاد فضای خالی (مثلاً یک فضای استخراج شده) بکار می‌رود.

^{۱۳} Elastic, isotropic model

- مدل الاستیک ارتوتروپیک^{۱۴}

- مدل الاستیک ایزوتروب عرضی^{۱۵}

گروه مدل پلاستیک:

- مدل دراکر- پراگر^{۱۶}

- مدل موهر- کولمب^{۱۷}

- مدل درزه‌دار پلاستیک^{۱۸}

- مدل کرنش نرم‌شوندگی و کرنش سخت‌شوندگی^{۱۹}

- مدل درزه‌دار پلاستیک با کرنش نرم شوندگی و کرنش سخت‌شوندگی دوخطی^{۲۰}

- مدل تسلیم مضاعف^{۲۱}

- مدل اصلاح شده برای توده رسی^{۲۲}

مدل بکار رفته در این تحقیق مدل موهر- کولمب می‌باشد. که عنوان یک مدل مرسوم- که شکستگی‌های برشی در خاک و سنگ را در نظر می‌گیرد- استفاده می‌شود. این مدل پلاستیک برای موادی که تسلیم می‌شوند (زمانی که در معرض بارگذاری برشی قرار می‌گیرند)، کاربرد دارد اما تنفس تسلیم فقط به تنشهای اصلی حدائق و حداقل مربوط می‌شود و تنفس اصلی متوسط تاثیری در تسلیم

^{۱۴} Elastic, orthotropic model

^{۱۵} Elastic, transversely model

^{۱۶} Draker - Prager model

^{۱۷} Mohr - Coulomb model

^{۱۸} Ubiquitous – joint model

^{۱۹} Strain – hardening/ softening model

^{۲۰} Bilinear strain – hardening/softening – ubiquitous – joint model

^{۲۱} Double – yield model

^{۲۲} Modified Cam – clay model

ندارد. در این مدل باید مشخصات مصالح از قبیل وزن مخصوص سنگ، مدول برشی، مدول حجمی، زاویه اصطکاک داخلی، چسبندگی، مقاومت کششی و زاویه اتساع^{۳۳} تعیین گردد.

۴-۵- تحلیل پایداری و طراحی سیستم نگهداری موقت تونل انتقال آب بابلک

در این قسمت به تحلیل سه مقطع یعنی مقطع زون ورودی B (عمق ۸۰ متری در فاصله ۵۰۰ متری از دهانه ورودی تونل)، مقطع زون خروجی A (عمق ۱۰۰ متری در فاصله ۲۳۰۰ متری از دهانه ورودی تونل) و مقطع حد اکثر روباره (زون خروجی A در عمق ۱۸۰ متری و فاصله ۱۷۰۰ متری از دهانه ورودی تونل) پرداخته می‌شود. اطلاعات لازم برای این سه مقطع در جدول ۱-۵ آمده است. ضمناً مدول برشی و مدول حجمی توده سنگ از فرمولهای زیر بدست می‌آیند:

$$S = \frac{E}{2(1+v)} \quad (1-5)$$

که در آن:

S، مدول الاستیسیته برشی و E، مدول الاستیک توده سنگ و v، ضریب پواسون است و:

$$B = \frac{E}{3(1-2v)} \quad (2-5)$$

که B، مدول حجمی می‌باشد.

^{۳۳} - بارشدنگی دو صفحه درز را اتساع گویند و زاویه اتساع، زاویه‌ای است که از آزمون مقاومت برشی مستقیم بر روی سطح نایپوستگی بدست می‌آید (در راهنمای نرم‌افزار پیشنهاد شده است که در صورت عدم اندازه‌گیری این پارامتر، این زاویه صفر درجه یا یک هشتمن زاویه اصطکاک داخلی در نظر گرفته شود).

جدول ۱-۵- اطلاعات لازم مدل موهر کولمب برای سه مقطع

	زون ورودی B	زون خروجی A	مقطع حدکثر روباره
عمق(متر)	۸۰	۱۰۰	۱۸۰
مدول الاستیک توده سنگ (گیگاپاسکال)	۰/۷	۰/۵	۰/۷
نسبت پواسون	۰/۳	۰/۳۴	۰/۳۲
دانسیته(کیلوگرم بر متر مکعب)	۲۴۳۰	۲۲۲۰	۲۲۲۰
مدول حجمی (گیگاپاسکال)	۰/۵۸	۰/۵۲	۰/۶۵
مدول برشی (گیگاپاسکال)	۰/۲۷	۰/۱۸	۰/۲۶
مقلومت کششی (مگاپاسکال)	۰/۴	۰/۳	۰/۳
چسبندگی (مگاپاسکال)	۰/۰۸	۰/۰۶	۰/۰۸
زلوبه اصطکاک داخلی (درجه)	۳۲	۲۵	۲۷

۱-۴-۵- تعیین K بحرانی در مدلسازی نگهداری موقت

یکی از اطلاعات موردنیاز در مدلسازی تعیین تنشهای برجا (چه تنشهای قائم و چه تنشهای افقی) می‌باشد. تنش قائم در صورتی که شرایط تنش ثقلی حاکم باشد بر اساس وزن مخصوص توده سنگ یا حاک و ارتفاع روباره قابل محاسبه است و تنش افقی نسبتی از تنش قائم است. رابطه این دو تنش به صورت زیر است:

$$\sigma_H = K \times \sigma_V$$

که :

$$\sigma_H = \text{تنش افقی}$$

$$\sigma_V = \text{تنش قائم}$$

$$K = \text{نسبت تنش افقی به تنش قائم}$$

از آنجا که تنشهای برجا در منطقه اندازه‌گیری نشده‌اند، برای کنترل پایداری تونل نسبت به مقادیر مختلف K اقدام به آنالیز حساسیت شده است. به این ترتیب که مدلسازی در تمام زونهای مسیر تونل به ازای K های مختلف $0/25$, $0/5$, $1/25$, $1/5$ و $1/5$ انجام شده است. نتایج در جدول ۲-۵ آمده است.

جدول ۲-۵- میزان حداقل جایجاییها در سقف و دیواره تونل برای سه مقطع و به ازای K های مختلف در شرایط

کرنش صفحه‌ای

	K	جایجایی لقی در دیواره (سانتیمتر)	جایجایی لقی در سقف (سانتیمتر)
زن A	-25	25/6	22/5
	0/5	22/5	22/8
	0/25	19/7	19/4
	1	22/1	19/3
	1/25	26/5	21/2
	1/5	32/4	25/7
زن حداکثر روباره	-25	30	29
	0/5	22/7	25/8
	0/25	21	22/5
	1	26/1	24/7
	1/25	31/1	26/8
	1/5	37	31/7
زن B	-25	4	21/6
	0/5	21/8	21/1
	0/25	21/9	21/3
	1	21/6	21/9
	1/25	21/2	21/4
	1/5	57/8	42/8

آنچه از جدول پیداست بحرانی بودن جابجاییهای قائم در سقف و جابجاییهای افقی در دیواره تونل، به ازای $K=1/5$ است. لذا مقدار $K=1/5$ برای این شکل مقطع تونل و برای اجرای سیستم نگهداری موقت در تمام مسیر تونل یک مقدار بیشینه خواهد بود و چنانچه بتوان مدلسازی درستی به ازای $K=1/5$ انجام داد، می‌توان نتیجه گرفت که طراحی مناسبی به ازای K های دیگر نیز از لحاظ فنی صورت گرفته است. در جدول ۲-۵ برای زون A و به ازای $K=1/5$ مقدار جابجایی قائم در سقف ۳۲/۴ سانتی‌متر و مقدار جابجایی افقی در دیواره ۲۵/۲ سانتی‌متر نوشته شده است. برای آنکه نشان داده شود این جدول چگونه تهیه شده است، به عنوان نمونه برای زون A و به ازای $K=1/5$ مراحل تحلیل تنش و مشخص کردن جابجاییهای اطراف تونل در قسمت ۴-۱-۱ آمده است (لازم به ذکر است که داده‌های وردی برای این زون به صورت فایل متنی در پیوست ۸-الف آمده است).

مشخصات تونل، سطح مقطع نعل اسپی اصلاح شده و عرض حفاری ۴/۲ متر می‌باشد. ابعاد مدل ۴۰ در ۴۰ متر (تا شرایط مستهلك شدن اختشاش ناشی از ایجاد حفره در مقادیر تنفس و جابجایی را ارضا کند) و ضخامت مدل ۴/۰ متر در نظر گرفته شده است) از آنجا که شعاع تونل در مقایسه با طول تونل ناچیز است شرایط کرنش صفحه‌ای^{۶۰} برقرار است. این شرایط با در نظر گرفتن یک برش نازک و ثابت کردن جابجایی در راستای محور تونل قابل اجراست). تنفس افقی و قائم با توجه به دانسیته توده سنگ و اثر گرانشی مطابق شکل ۱-۵ بر مدل وارد می‌شود. تونل در موادی الاستیک، کاملاً پلاستیک با معیار شکستگی موهر- کولمب حفر می‌شود. مرزهای کناری مدل (سمت چپ و راست مدل) و مرز پایینی به صورت غلتکی در نظر گرفته می‌شوند(شکل ۲-۵-الف). ضمناً مرزهای

* مقادیر جلچایی قبل از نصب نگهدارنده برای کل مسیر تونل به ازای کلهای مختلف در جدول ۲-۵ آمده است.

۳۰ منظور از کرنش صفحه‌ای برقراری رابطه $0 = \varepsilon_{xx} = \varepsilon_{yy} = \varepsilon_{zz}$ در تنشور کرنش است. معمولاً مسائلی که در آن یک بعد نسبت به دو بعد دیگر خیلی بزرگ باشد را در این حالت تحلیل می‌کنند. در این صورت تغییرات هر چارتر مدل نسبت به محور سوم برای صفر است.

مدل در راستای ضخامت (تا شرایط کرنش صفحه‌ای برقرار شود) نیز به صورت غلتکی فرض می‌شود (شکل ۲-۵). وضعیت المان‌بندی سنگهای اطراف تونل در شکل ۳-۵ آمده است.

پس از اعمال شرایط مرزی و حفر تونل، اقدام به حل مساله تا رسیدن به یک جواب همگرایی می‌شود. وضعیت جابجایی‌ها و تنشهای اطراف تونل در اشکال ۴-۵ تا ۱۰-۵ آمده است.

شکل ۴-۵ وضعیت جابجایی‌ها را پس از حفر تونل و قبل از نصب نگهدارنده نشان می‌دهد. در این شکل، مقدار حداکثر پردار جابجایی $\frac{32}{4}$ سانتی‌متر می‌باشد.

شکل ۵-۵ حداکثر جابجایی قائم در سقف تونل در زون A قبل از نصب نگهدارنده را به ازای $K=1/5$ نشان می‌دهد که مقدار آن $\frac{32}{4}$ سانتی‌متر می‌باشد (لازم به ذکر است که در هیستوگرام‌های رسم شده FLAC3D در این پایان‌نامه، محور قائم، جابجایی بر حسب متر و محور افقی تعداد تکرارهای مدل می‌باشد. چنانچه منحنی مجانب افقی پیدا کند نشان دهنده آنست که به جواب همگرا نزدیک شده است).

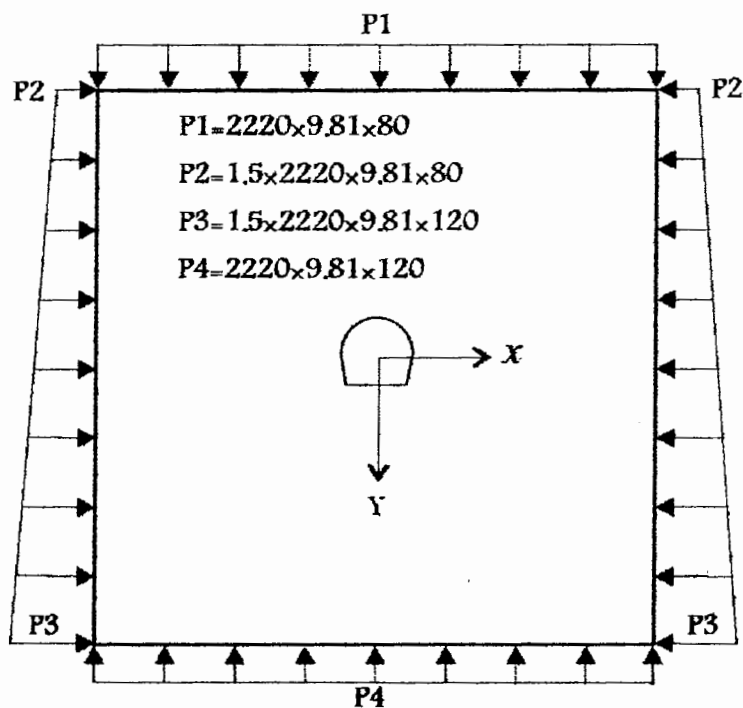
شکل ۶-۵ منحنی تراز جابجایی قائم در اطراف تونل در زون A قبل از نصب نگهدارنده را به ازای $K=1/5$ نشان می‌دهد که مقدار حداکثر جابجایی در سقف است و برابر $\frac{32}{4}$ سانتی‌متر می‌باشد.

شکل ۷-۵ حداکثر جابجایی افقی در دیواره تونل در زون A قبل از نصب نگهدارنده را به ازای $K=1/5$ نشان می‌دهد که مقدار آن $\frac{25}{2}$ سانتی‌متر می‌باشد.

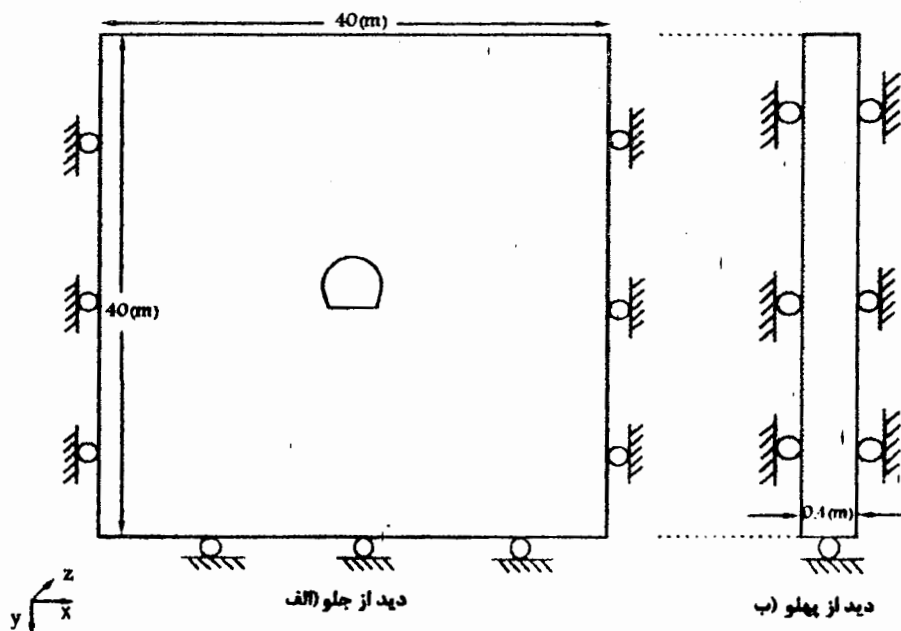
شکل ۸-۵ منحنی تراز جابجایی افقی در اطراف تونل در زون A قبل از نصب نگهدارنده را به ازای $K=1/5$ نشان می‌دهد که مقدار حداکثر جابجایی در دو طرف دیواره است و برابر $\frac{25}{2}$ سانتی‌متر می‌باشد.

شکل ۹-۵ منحنی تراز تنش افقی در اطراف تونل در زون A قبل از نصب نگهدارنده را به ازای $K=1/5$ نشان می‌دهد که این مقدار در اطراف تونل برابر $10^{84} \times 1/34$ پاسکال می‌باشد.

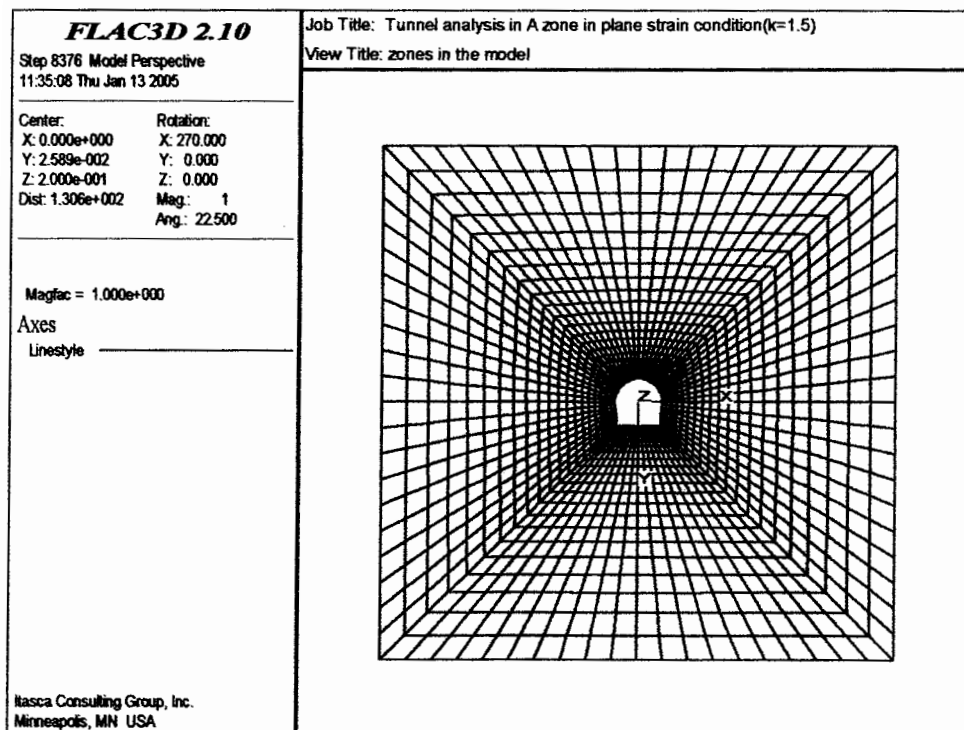
شکل ۱۰-۵ منحنی تراز تنش قائم در اطراف تونل در زون A قبل از نصب نگهدارنده را به ازای $K=1/5$ نشان می‌دهد که این مقدار در اطراف تونل برابر $1/41 \times 10^8$ پاسکال می‌باشد.



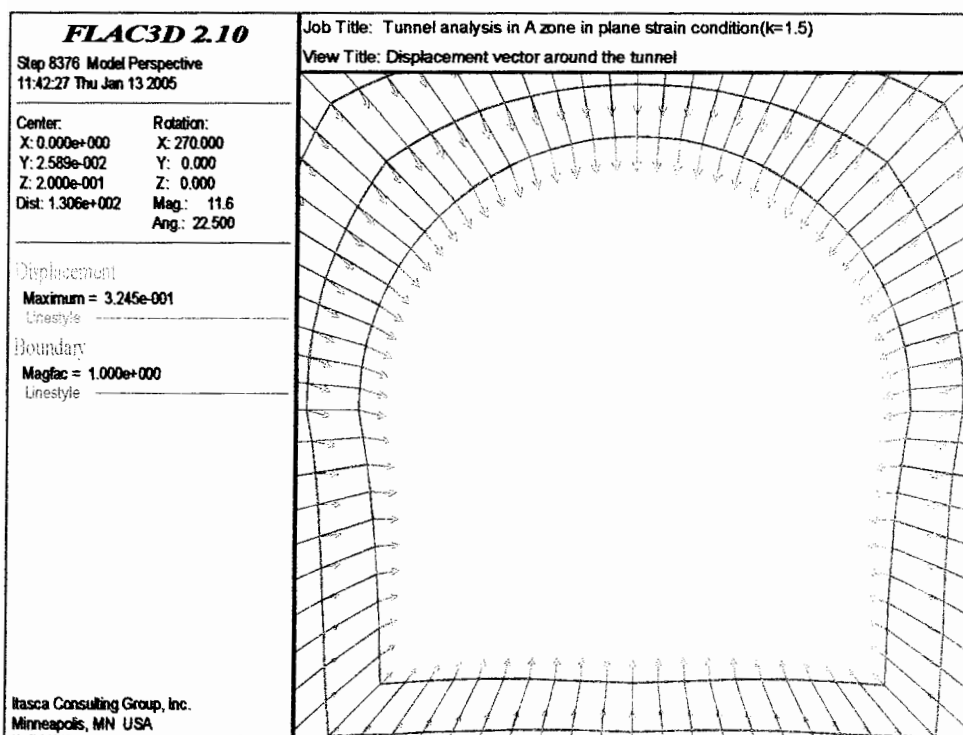
شکل ۱-۵- وضعیت تنשها در مدل



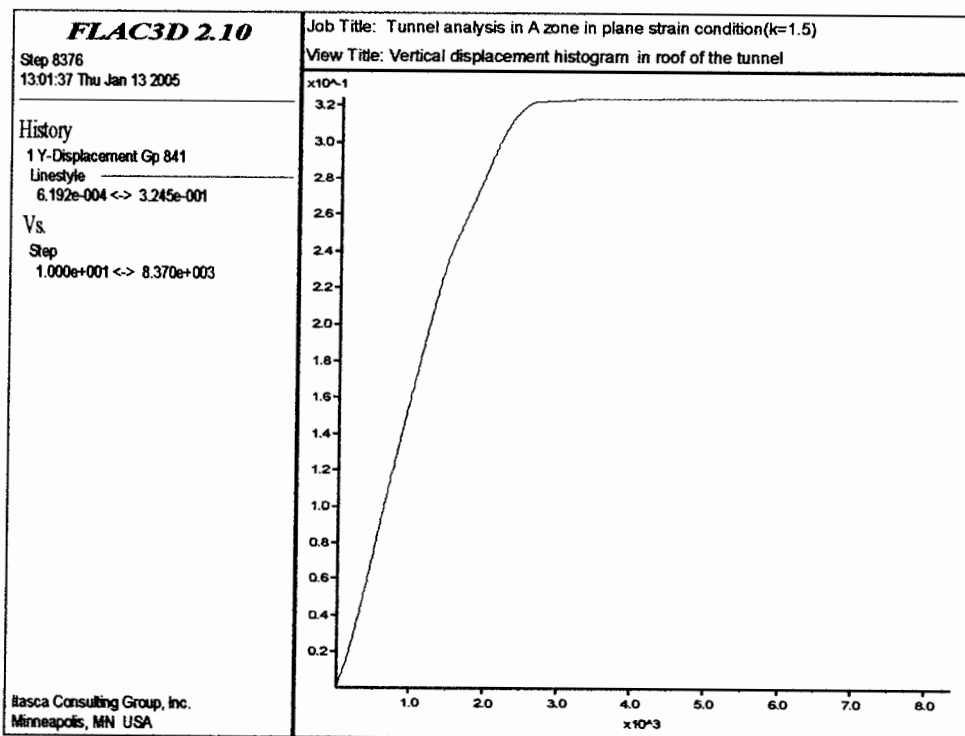
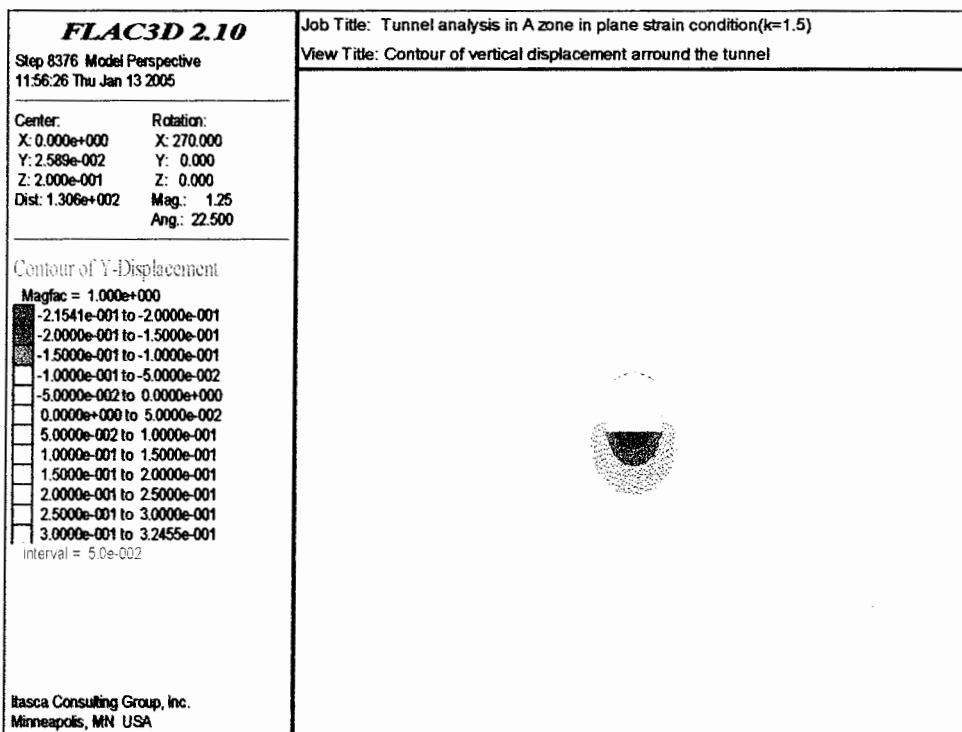
شکل ۲-۵- وضعیت مرزها در مدل

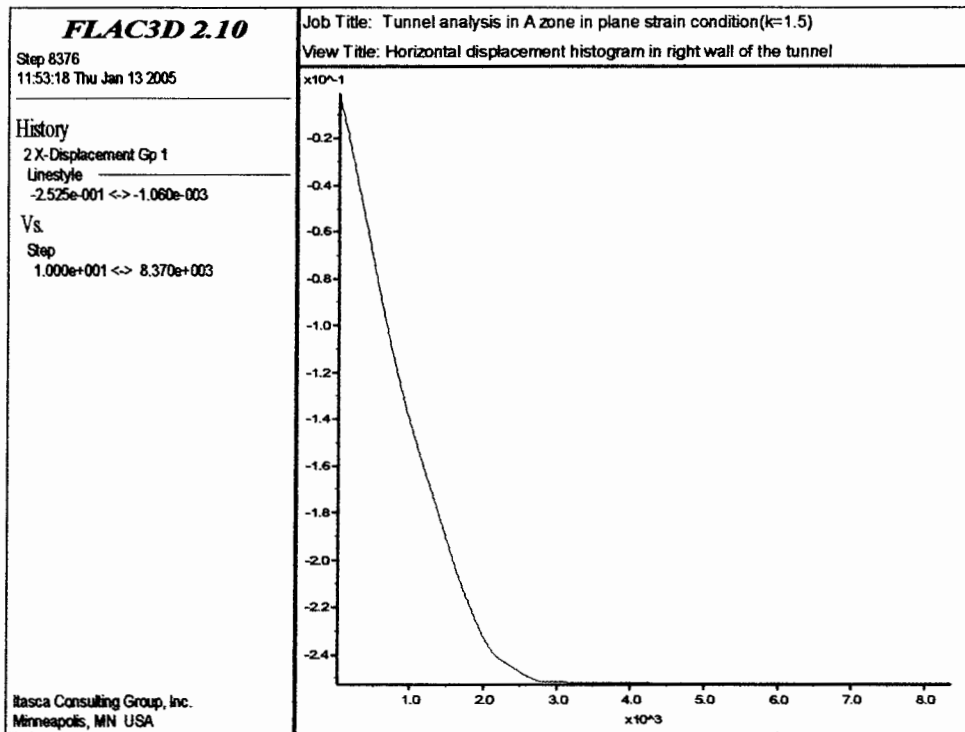


شکل ۳-۵- المان‌بندی مدل در نرم افزار

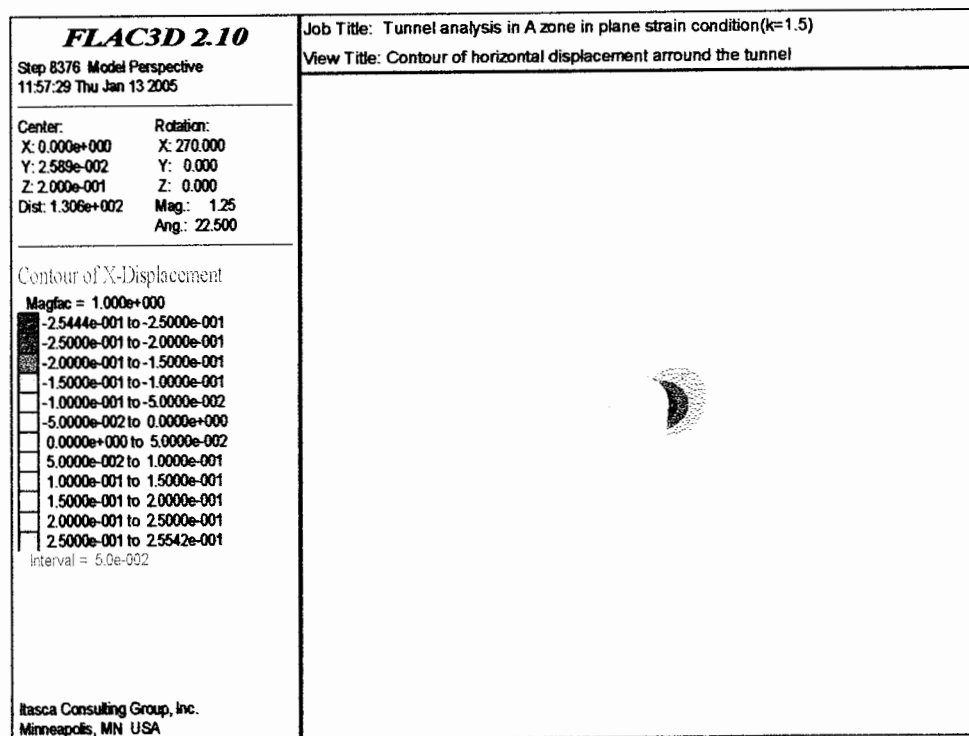


شکل ۴-۵- وضعیت جابجاییها پس از حفر تونل و قبل از نصب نگهدارنده

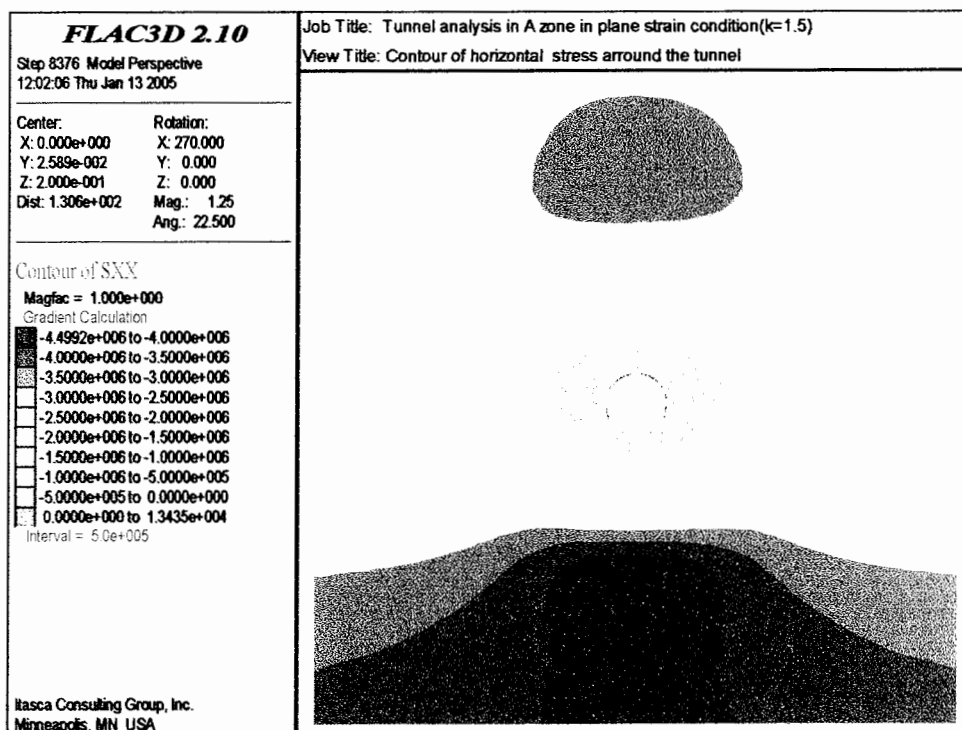
شکل ۵-۵- حداکثر جابجایی قائم در سقف در زون A قبل از نصب نگهدارنده به ازای $K=1/5$ شکل ۵-۶- منحنی تراز جابجایی قائم در اطراف تونل در زون A قبل از نصب نگهدارنده به ازای $K=1/5$



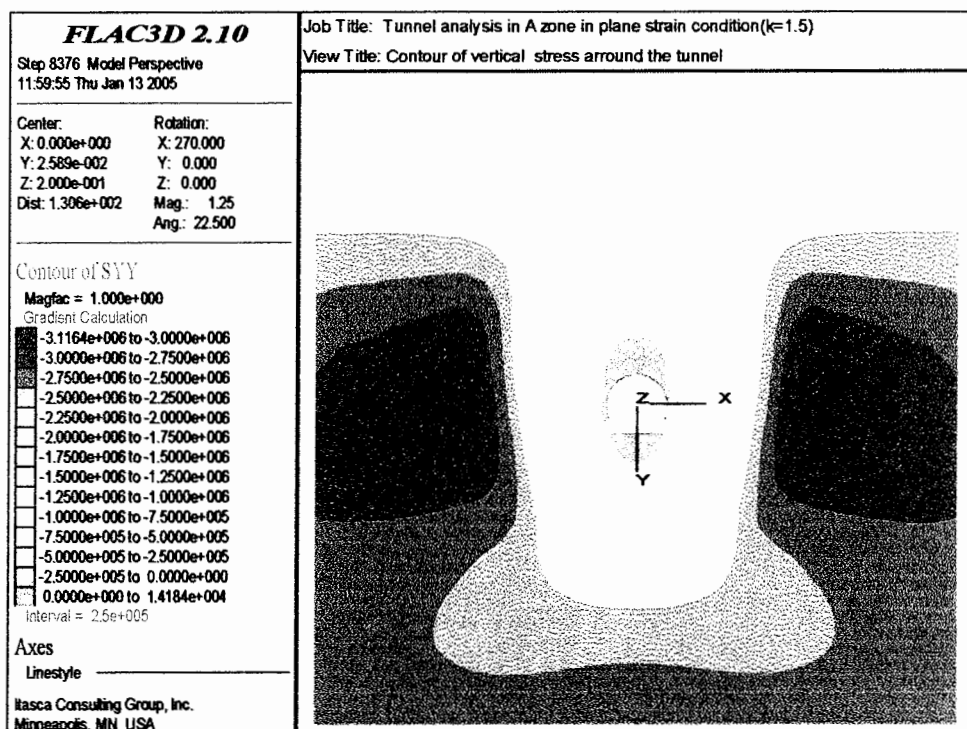
شکل ۵-۷- حداقل جابجایی افقی در دیواره در زون A قبل از نصب نگهدارنده به ازای $K=1/5$



شکل ۵-۸- منحنی تراز جابجایی افقی در اطراف تونل در زون A قبل از نصب نگهدارنده به ازای $K=1/5$



شکل ۹-۵- منحنی تراز تنش افقی در اطراف تونل در زون A قبل از نصب نگهدارنده به ازای $K=1/5$



شکل ۱۰-۵- منحنی تراز تنش قائم در اطراف تونل در زون A قبل از نصب نگهدارنده به ازای $K=1/5$

۵-۴-۳- تحلیل تنش در حالت سه بعدی قبل و بعد از نصب سیستم نگهداری موقت در توپل انتقال آب با بلک*

مراحل مدلسازی و شبیه سازی در مسیر توپل در قسمت ۱-۲-۴-۵ و تشریح المانهای نگهدارنده بکار رفته در نرم افزار در قسمت ۲-۲-۴-۵ آمده است. خلاصه نتایج کل مدلسازی ها در مسیر توپل در قسمت ۳-۲-۴-۵ و جزئیات نتایج مدلسازی در زون A نیز در قسمت ۴-۲-۴-۵ آمده است.

۵-۱-۲-۴-۵- مراحل مدلسازی در مسیر توپل انتقال آب با بلک

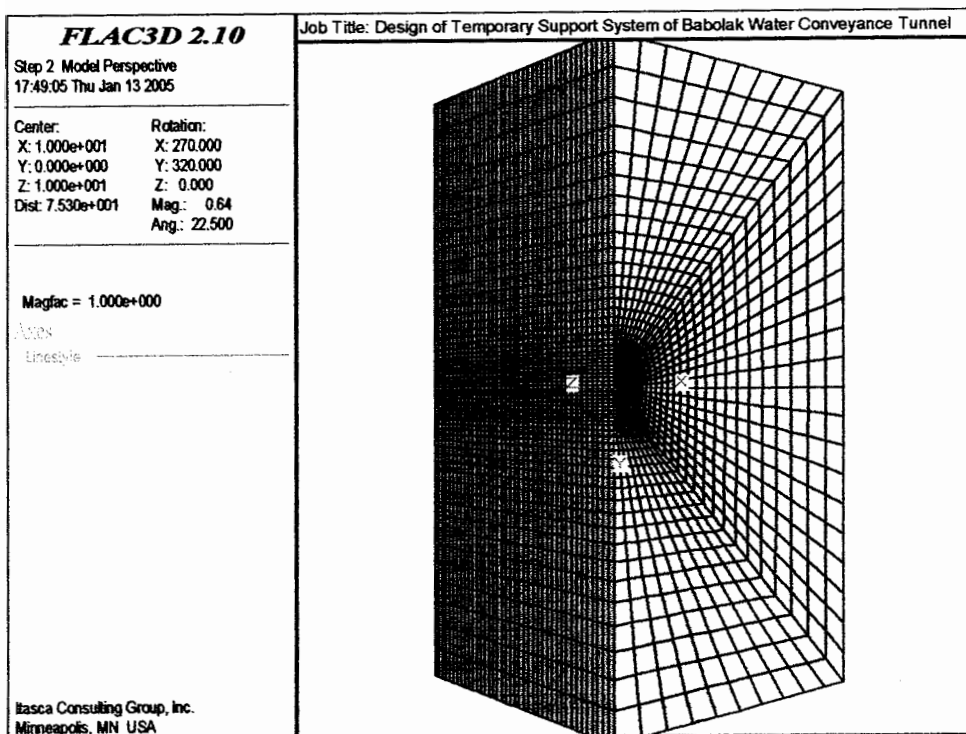
مقطع توپل نعل اسبی اصلاح شده و به عرض حفاری ۴/۲ متر می باشد. اندازه مدل ۴۰ در ۴۰ در ۴۰ متر در نظر گرفته می شود تا وضعیت تنش در توده سنگ به حالت دست نخورده قبل از احداث توپل تبدیل شود. به دلیل تقارن مدل نسبت به صفحات $x=0$ و $z=0$ ، می توان نصف مدل را ساخت که در شکل ۱۱-۵ دیده می شود (عمل استفاده از ربع مدل به خاطر مشاهده بهتر اشکال و نتایج و همچنین اجرای سریع برنامه توسط کامپیوتر می باشد). مرزهای مدل در صفحات $x=0$ ، $z=0$ و $y=0$ (مرز پایینی، مدل) به صورت غلتکی فرض می شوند. تنش افقی و قائم با توجه به دانسیته توده سنگ و اثر گرانشی زمین و مقدار رویاره روی مدل به ازای $K=1/5$ ، بر مدل اعمال می گردد و رفتار الاستیک، کاملاً پلاستیک با معیار موهر-کولمب برای توده سنگی در نظر گرفته می شود. در نهایت اقدام به حفر یک گام پیشروی (در فصل قبل هر گام پیشروی حدوداً ۱/۵ متر در نظر گرفته شد) می شود. سپس برای رسیدن به جواب همگرایی، مساله حل می گردد. بعد از رسیدن به جواب همگرایی و احرار تعادل اولیه، الگوریتم زیر اجرا می شود:

۱. صفر کردن جابجایی ها (برای مشاهده تغییرات جابجایی در اثر حفر هر گام معدنی و نه

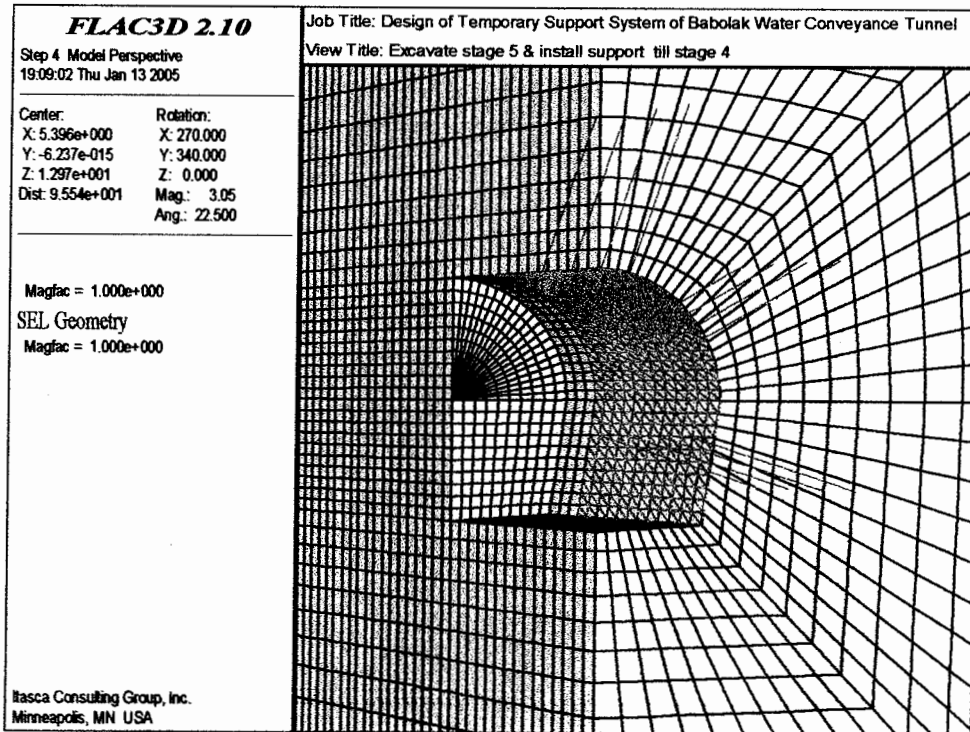
در اثر پارگذاری گرانشی ناشی از حل اولیه مساله)

* یکی از دلائل استفاده از نرم افزار FLAC3D، مدلسازی سه بعدی و تحلیل توپل به ازای هر گام پیشروی است. بنظر محقق بهترین نرم افزار برای مدلسازی سیستم نگهداری موقت در زمینهای پلاستیک و شرایط مدلسازی پهلوسته، FLAC3D می باشد.

۲. حفر کردن گام دوم پیشروی
 ۳. حل مساله (مشاهدات وضعیت جابجایی در سقف و کف).
 ۴. رجوع به ۲ و نصب سیستم نگهداری موقت برای گام اول پیشروی (اعم از شاتکریت و پیچ سنگ)
 ۵. حل مساله (تحلیل و بررسی نتایج پس از نصب نگهدارنده گام اول پیشروی و حفر گام دوم)
 ۶. حفر گام پیشروی سوم، نصب نگهدارنده برای گام دوم، حل مساله و مشاهده نتایج
 ۷. حفر گام پیشروی چهارم، نصب نگهدارنده برای گام سوم، حل مساله و مشاهده نتایج
 ۸. حفر گام پیشروی پنجم، نصب نگهدارنده برای گام چهارم، حل مساله و مشاهده نتایج
- شمای وضعیت تونل در این مرحله مطابق شکل ۱۲-۵ می‌باشد) و ...



شکل ۱۱-۵ - شمای مدل سه بعدی در مسیر تونل



شکل ۱۲-۵- وضعیت تونل در گام پنجم پیشروی و نصب نگهدارنده در گام چهارم

۴-۲-۲-۴-۵- تشریح المانهای نگهدارنده بکار رفته در مسیر تونل انتقال آب

در FLAC3D در مدلسازی شاتکریت می‌توان از المان Shell یا Liner و در مدلسازی پیجسنگ از المان Cable استفاده کرد. در نرم‌افزار این المانها به صورت زیر تعریف می‌شوند:

- المان Cable: یک المان دو نقطه‌ای است که به صورت محدود و مستقیم می‌باشد و دارای یک حرکت انتقالی محوری در هر نقطه است. این المان قابلیت تحمل کشش یا فشارش را دارد اما نمی‌تواند لنگر خمی را تحمل کند. علاوه بر مختصات شروع و پایان المان، سطح مقطع پیجسنگ، مدول الاستیک فولاد پیجسنگ و مقاومت کششی پیجسنگ؛ باید پارامترهای ذیل نیز مشخص

: [۲۰] گردند

$$c_g = gr_co = \pi \times D \times \tau_{peak} \quad (3-5)$$

که در آن:

c_g = مقاومت چسینندگی دوغاب تزریقی بر حسب پاسکال

D = قطر پیچ سنگ بر حسب متر

τ_{peak} = نیروی برشی مаксیمم که برابر نصف مقاومت فشاری تک محوره ضعیفتر از سنگ یا دوغاب

صرفی است (مقاومت فشاری تک محوره دوغاب را معمولاً ۲۰ مگا پاسکال در نظر می‌گیرند).

$$k_g = gr_k = \frac{2 \times \pi \times G}{10Ln(1 + \frac{2t}{D})} \quad (4-5)$$

که در آن:

k_g = سختی برشی دوغاب

G = مدول برشی دوغاب صرفی که معمولاً آنرا ۹ گیگاپاسکال در نظر می‌گیرند.

t = تفاضل شعاع چال و شعاع پیچ سنگ

دلیل اصلی بر تعریف بیش از یک سگمنت^{۲۴} در المان Cable، بهبود بخشیدن توزیع نیروی برشی است که تا اندازه‌ای به تعداد سگمنتها وابسته است. بنابراین پیشنهاد شده است که یا ۲ تا ۳ برابر سگمنت به ازای واحد طول در نظر گرفته شود و یا برای هر زون FLAC3D یک سگمنت تعریف گردد (چون زونها نواحی ثابت تنش هستند و نیازی به تعریف بیش از یک سگمنت برای هر زون نیست).

- المان Shell: یک المان سه نقطه‌ای که همراه با المانهای محدود صفحه‌ای است این المان از ۵ نوع المان تشکیل شده است (دو المان غشایی^{۲۵}، یک المان خمش صفحه‌ای^{۲۶} و دو المان پوسته‌ای^{۲۷}). این المان یک اتصال صلب را برای شبکه ایجاد می‌کند و حداقل با سه پارامتر ضریب پواسون، مدول الاستیک و ضخامت تعریف می‌گردد.

۲۴ Segment

۲۵ Membrane element

۲۶ Plate-bending element

۲۷ Shell element

• المان Liner: یک المان سه نقطه‌ای همراه با المانهای محدود صفحه‌ای که مانند Shell از ۵ نوع المان تشکیل شده است. یک اصطکاک برشی بین این المان و شبکه اتصال به آن وجود دارد. این المان با پارامترهای ضریب پواسون، مدول الاستیک، سختی ارجاعی جفت‌شدگی نرمال به ازای واحد سطح ($(cs - sk(k_s))^{28}$)^{۲۸}، سختی ارجاعی جفت‌شدگی برشی به ازای واحد سطح ($(cs - sk(k_s))^{29}$)^{۲۹} و چسبندگی ارجاعی جفت‌شدگی برشی ($(cs - scoh(c))^{30}$)^{۳۰} تعریف می‌گردد. اگر به ($cs - scoh(c)$) یک مقدار بزرگ مثلاً $1e20$ را نسبت دهیم، اتصال صلب (مثل المان Shell) به وجود می‌آورد و اگر یک مقدار کوچک مثلاً صفر را به این پارامتر نسبت دهیم اتصال الاستیک می‌شود و اجازه داده می‌شود که فضاهای خالی^{۳۱} فرم گیرد و لغزش بین لایه و سطح اتصال (یعنی توده‌سنگ و شاتکریت) اتفاق افتد. ضمناً سختی جفت‌شدگی برشی و نرمال برای حفاریهای تونلی از فرمول زیر بدست می‌آید [۲۰]:

$$k_s = k_n = 100 \times \frac{B + \frac{4}{3}S}{\Delta Z_{min}} \quad (5-5)$$

که در آن:

B = مدول حجمی

S = مدول برشی

ΔZ_{min} = کوچکترین بعد زون مجاور در راستای نرمال (کمترین ضخامت هر زون در سطح تونل)

۲۸ Normal coupling spring stiffness per unit area

۲۹ Shear coupling spring stiffness per unit area

۳۰ Shear coupling spring cohesion

۳۱ Gaps

۳-۴-۵- خلاصه نتایج مدل سه بعدی قبل و پس از نصب سیستم نگهداری به ازای گام

$K=1/5$ متر برای پیشروی

در مسیر تونل از پیچ سنگ با قطر ۲۵ میلیمتر، مدول الاستیک ۲۰۷ گیگا پاسکال، مقاومت کششی ۰/۲۸۵ مگانیوتن و مقاومت چسبندگی ۰/۵ مگا پاسکال با سختی برشی دوغاب ۱/۰/۱ گیگاپاسکال (قطر چال حفاری برای پیچ سنگ ۵۶ میلیمتر در نظر گرفته شده است) با فاصله‌داری * ۱/۵ متر در ۱/۵ متر و از شاتکریت با ضخامت‌های مختلف با مقاومت فشاری تک محوره ۲۵ مگاپاسکال، مدول الاستیک ۱۵ گیگاپاسکال، ضریب پواسون ۰/۲۵، تنش برشی ۴ مگاپاسکال و مقاومت کششی ۰/۵ مگاپاسکال در مدلسازی استفاده شده است.

میزان جابجایی قائم در سقف و افقی در دیواره برای مسیر تونل مطابق جدول ۵-۳ است:

جدول ۵-۳- میزان جابجایی قائم در سقف و جابجایی لفci در دیواره قبل از نصب سیستم نگهدارنده بر حسب

سانتیمتر به ازای یک گام پیشروی در شرایط $K=1/5$

	جابجایی قائم در سقف (سانتیمتر)	جابجایی لفci در دیواره (سانتیمتر)
قطعه حداقل روباره	۱۰/۲	۸/۲
زون خروجی A	۸/۵	۶/۳/۶
زون ورودی B	۱/۵/۶	۱/۰/۳

نتایجی که بطور مستقیم در هر گام پیشروی ($1/5$ متر) پس از نصب نگهدارنده موقت (اعم از شاتکریت و پیچ سنگ) به ازای $K=1/5$ از نرم‌افزار بدست می‌آید در جدول ۵-۴ و نتایج محاسبه شده در جدول ۵-۵ آمده است.

* منظور از فاصله‌داری $1/5$ در $1/5$ یعنی در هر قطعه کامل حفاری ۶ پیچ سنگ نصب گردد و فاصله هر حلقه از پیچ‌سنگها با حلقه دیگر در راستای محور تونل $1/5$ متر باشد.

جدول ۵- خروجی مستقیم نرم‌افزار بس از نسب تکه‌دارندۀ بی‌سنت با لصلداری ۱/۵ متر در ۱/۵ متر و شاکریت به ازای هر کام پیش روی در شرایط K=۱/۵

شاکریت (نیوتون)	لکر خمشی در الانی که حدادیر نمودی برایه آن وارد می‌شوند (نیوتون)	حدادیر لکر خمشی برایه شاکریت (نیوتون)	حدادیر نیروی برایه شاکریت (نیوتون)	لکر خمشی در نیروی سهوری در دیواره (میلیمتر)	جایجاپی فلام در سقف (میلیمتر)	ضخامت‌های اجرایی شاکریت (سانتیمتر)
زون B	۱۶۲	۷۱۷۹۸۰	۷۱۷۸۰۴	۷/۱۱۳۴	۴	۱/۱۵
زون A	۳۶۲	۶۱۱۷۶۳	۶۱۱۷۶۴	۱/۱۸۱۵۶	۳/۷	۱/۱۱
زون A	۱۰۷۶	۵۱۷۶۶	۵۱۷۶۷	۱/۱۵۱۸۹	۷/۴	۱/۱۰
زون A	۱۰۷۶	۵۱۷۶۷	۵۱۷۶۸	۱/۱۱۱۸۵	۲/۱	۱/۱۰
زون A	۱۰۷۶	۵۱۷۶۸	۵۱۷۶۹	۱/۱۷۹۹۹	۷	۱/۱۰
زون A	۱۰۷۶	۵۱۷۶۹	۵۱۷۷۰	۱/۱۹۸۸۹	۲/۹	۱/۱۰
زون A	۱۰۷۶	۵۱۷۷۰	۵۱۷۷۱	۱/۱۸۱۸۵	۱/۱۸	۱/۱۰
مقطع حداکثر روبله	۱۰۷۶	۵۱۷۷۱	۵۱۷۷۲	۱/۱۰۹۸۰	۲/۰۱۸۹	۱/۱۰
زون A	۱۰۷۶	۵۱۷۷۲	۵۱۷۷۳	۱/۱۷۷۶۵	۸/۸	۱/۱۰
زون A	۱۰۷۶	۵۱۷۷۳	۵۱۷۷۴	۱/۱۴۵۸۹	۸/۴	۱/۱۰
زون A	۱۰۷۶	۵۱۷۷۴	۵۱۷۷۵	۱/۱۵۴۵۰	۸/۱	۱/۱۰
زون A	۱۰۷۶	۵۱۷۷۵	۵۱۷۷۶	۱/۱۷۳۴۰	۸/۰	۱/۱۰
زون A	۱۰۷۶	۵۱۷۷۶	۵۱۷۷۷	۱/۱۷۳۴۰	۷/۹	۱/۱۰
زون A	۱۰۷۶	۵۱۷۷۷	۵۱۷۷۸	۱/۱۷۳۴۰	۷/۸	۱/۱۰
زون A	۱۰۷۶	۵۱۷۷۸	۵۱۷۷۹	۱/۱۷۳۴۰	۷/۷	۱/۱۰
زون A	۱۰۷۶	۵۱۷۷۹	۵۱۷۸۰	۱/۱۷۳۴۰	۷/۶	۱/۱۰
زون A	۱۰۷۶	۵۱۷۸۰	۵۱۷۸۱	۱/۱۷۳۴۰	۷/۵	۱/۱۰
زون A	۱۰۷۶	۵۱۷۸۱	۵۱۷۸۲	۱/۱۷۳۴۰	۷/۴	۱/۱۰
زون A	۱۰۷۶	۵۱۷۸۲	۵۱۷۸۳	۱/۱۷۳۴۰	۷/۳	۱/۱۰
زون A	۱۰۷۶	۵۱۷۸۳	۵۱۷۸۴	۱/۱۷۳۴۰	۷/۲	۱/۱۰
زون A	۱۰۷۶	۵۱۷۸۴	۵۱۷۸۵	۱/۱۷۳۴۰	۷/۱	۱/۱۰
زون A	۱۰۷۶	۵۱۷۸۵	۵۱۷۸۶	۱/۱۷۳۴۰	۷/۰	۱/۱۰

جدول ۵-۵- نتایج محاسبه شده پس از نصب نگهدارنده (پیچ سنگ با فاصله داری ۱/۵ متر در ۱/۵ متر و شاتکریت با

$K=1/5$ ضخامت‌های مختلف) به ازای هر گام پیشروی در شرایط

	ضخامت‌های اجرایی شاتکریت (سانتی‌متر)	ضریب اینمنی کشی پیچ سنگ	ضریب اینمنی فشاری شاتکریت	ضریب اینمنی بروشی شاتکریت	تنش کششی بر لایه شاتکریت (مگاپاسکال)
زون B	۵	۴	۱/۲۹	۷/۴۶	۶/۰۶
	۷/۵	۴/۲۹	۱/۵۳	۵/۱۳	۶/۵۲
زون A	۵	۱/۲۶	۱/۲۱	۳/۷	۱۴/۸۸
	۷/۵	۱/۴۶	۱/۴۹	۳/۰۲	۱۱/۸۷
	۱۰	۱/۵۷	۱/۸۶	۲/۸۰	۹/۵۲
	۱۲	۱/۶۸	۲/۱۲	۲/۹	۹/۱۶
	۷/۵	۱/۰۴	۱/۱۱	۲/۳۸	۱۶/۲
قطع حداکثر روباره	۱۰	۱/۱۲	۱/۲۹	۲/۴۰	۱۲/۹
	۱۲	۱/۱۹	۱/۴۶	۲/۹	۱۲/۲
	۱۵	۱/۲۹	۱/۹۶	۲/۴۵	۱۱/۴۳
	۲۰	۱/۵۶	۱/۹۵	۲/۷۱	۹/۷۵

در جدول ۴-۵ برای زون A و به ازای اجرای شاتکریت به ضخامت ۷/۵ سانتی‌متر میزان جابجایی

قلائم در سقف ۱/۵ میلی‌متر، میزان جابجایی افقی در دیواره ۷ میلی‌متر، حداکثر نیروی محوری

پیچ سنگ $10^{۸} \times ۱/۹۵$ نیوتون، حداکثر نیروی محوری بر لایه شاتکریت $10^{۸} \times ۱/۷۶$ نیوتون و

حداکثر لنگر خمی بر لایه شاتکریت $10^{۸} \times ۱/۶۷$ نیوتون متر نوشته شده است. برای آنکه نشان

چون تنش کششی اعمال شده بر لایه شاتکریت در همه موارد جدول از تنش کششی شاتکریت مصرفی (۲/۵ مگاپاسکال) بیشتر است، واضح است که شاتکریت باید در کل مسیر تونل با مش فولادی جوش داده شده مسلح گردد و از آنجا که از نظر اجرایی، بتن باشی با ضخامت ۵ سانتی‌متر با یک لایه مش فولادی تقریباً ممکن نبوده نیست، لذا حداقل ضخامت اجرایی شاتکریت در کل مسیر تونل انتقال آب ۷/۵ سانتی‌متر پیشنهاد می‌گردد.

داده شود که این جدول چگونه تهیه شده است به عنوان نمونه برای زون A و با اجرای شاتکریت در شرایط $K=1/5$ تحلیلی در قسمت ۴-۲-۴ صورت گرفته است.

در جدول ۵-۵ برای زون A و با اجرای شاتکریت در شرایط $K=1/5$ ضریب ایمنی کششی پیچ‌سنگ ۱/۴۶، ضریب ایمنی فشاری شاتکریت ۱/۴۹، ضریب ایمنی برشی شاتکریت ۳/۰۲ و تنש کششی بر لایه شاتکریت ۱۱/۸۷ مگا پاسکال نوشته شده است. برای آنکه نشان داده شود که این جدول چگونه تهیه شده است به عنوان نمونه برای زون A و با اجرای شاتکریت به ضخامت ۷/۵ سانتیمتر در شرایط $K=1/5$ تحلیلی در قسمت ۴-۲-۴-۱ صورت گرفته است

میزان جابجایی قائم سقف و جابجایی افقی دیواره پس از نصب سیستم نگهدارنده در شرایط کرنش صفحه‌ای (مدل با ضخامت کم و بدون در نظر گرفتن پیشروی حفاری بصورت مرحله‌ای) مطابق جدول ۵-۶ از نرم‌افزار استخراج شده است.

جدول ۵-۶- میزان جابجاییها پس از نصب نگهدارنده در شرایط کرنش صفحه‌ای و به ازای $K=1/5$

	جابجایی افقی در سقف (سانتیمتر)	جابجایی افقی در دیواره (سانتیمتر)
زون B با ضخامت ۷/۵ سانتیمتر شاتکریت	۰/۵	۲/۲
زون A با ضخامت ۷/۵ سانتیمتر شاتکریت	۳/۶	۵
قطع حداکثر روباره با ضخامت ۱۵ سانتیمتر شاتکریت	۳/۸	۶/۶

۴-۳-۴-۵- نتایج مدل سه بعدی قبل و پس از نصب سیستم نگهداری (پیچ سنگ با فاصله داری $1/5$ متر در $1/5$ متر و شاتکریت با ضخامت $7/5$ سانتیمتر) به ازای گام پیشروی $1/5$ متر برای زون A ($K=1/5$)

منحنی تراز و نمودارهای جابجایی اطراف تونل به ازای هر گام پیشروی و بدون نصب نگهدارنده در اشکال ۱۳-۵ تا ۱۶-۵ آمده است.

شکل ۱۳-۵ حداقل جابجایی قائم در سقف در زون A قبل از نصب نگهدارنده به ازای هر گام پیشروی را نشان می‌دهد که برابر $8/5$ سانتیمتر می‌باشد.

شکل ۱۴-۵ منحنی تراز جابجایی قائم در زون A قبل از نصب نگهدارنده به ازای هر گام پیشروی را نشان می‌دهد که مقدار جابجایی در سقف برابر $8/5$ سانتیمتر می‌باشد.

شکل ۱۵-۵ حداقل جابجایی افقی در دیواره در زون A قبل از نصب نگهدارنده به ازای هر گام پیشروی را نشان می‌دهد که برابر $6/4$ سانتیمتر می‌باشد.

شکل ۱۶-۵ منحنی تراز جابجایی افقی در زون A قبل از نصب نگهدارنده به ازای هر گام پیشروی را نشان می‌دهد که مقدار جابجایی در دیواره برابر $6/5$ سانتیمتر می‌باشد.

شمای وضعیت تونل، پس از حفر گام دوم و نصب سیستم نگهدارنده برای گام اول پیشروی مطابق شکل ۱۷-۵ می‌باشد. نمودارهای جابجایی پس از نصب سیستم نگهداری در اشکال ۱۸-۵ و ۱۹-۵ و منحنی تراز نیروی محوری و لنگر خمشی بر لایه شاتکریت در اشکال ۲۰-۵ و ۲۱-۵ ترسیم شده است. حداقل نیروی محوری بر پیچ سنگها مطابق شکل ۲۲-۵ نمایش داده شده است (دادهای ورودی در نرم‌افزار به صورت فایل متند در پیوست A-B آمده است).

شکل ۱۸-۵ حداقل جابجایی قائم در سقف در زون A پس از نصب نگهدارنده به ازای هر گام پیشروی را نشان می‌دهد که برابر $1/6$ میلیمتر می‌باشد.

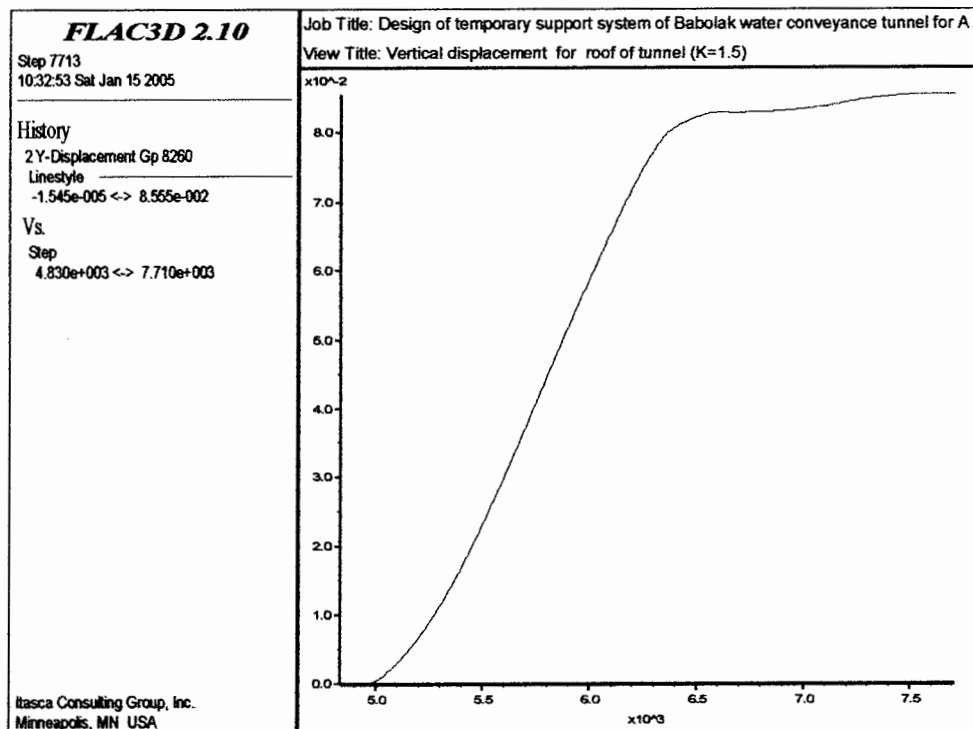
برای کل مسیر تونل با ضخامت‌های مختلف اجرایی شاتکریت، نتایج مختصرًا در جدول ۴-۵ آمده است.

شکل ۱۹-۵ حدأکثر جابجایی افقی در دیواره در زون A پس از نصب نگهدارنده به ازای هر گام پیشروی را نشان می‌دهد که برابر ۷ میلیمتر می‌باشد.

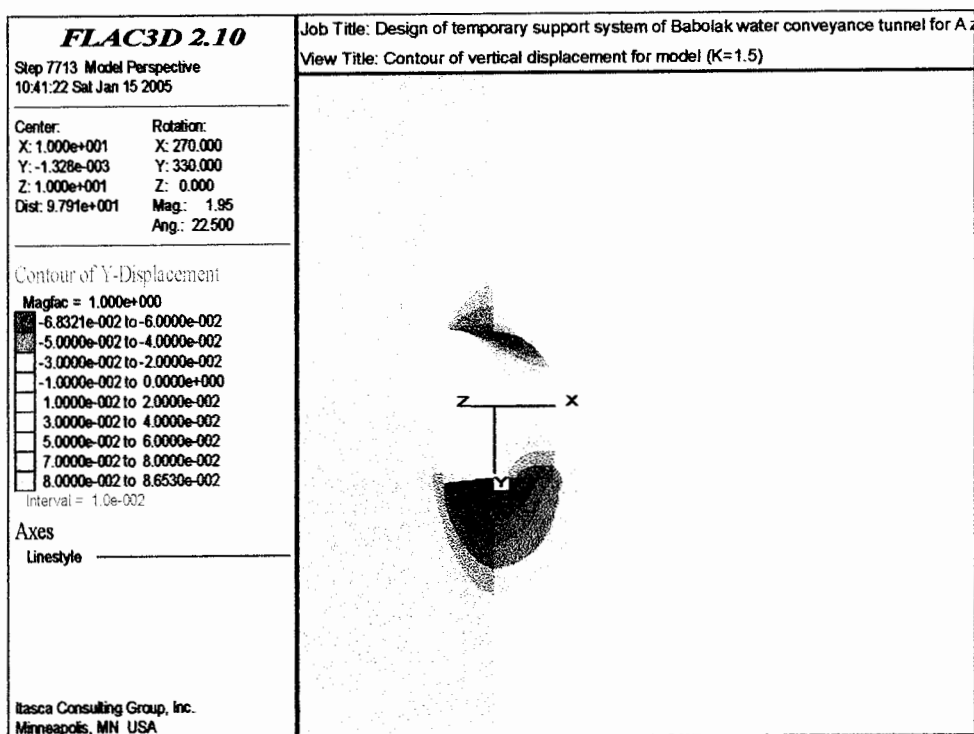
شکل ۲۰-۵ منحنی تراز نیروی محوری بر لایه شاتکریت به ضخامت ۷/۵ سانتیمتر در زون A پس از نصب نگهدارنده به ازای هر گام پیشروی را نشان می‌دهد. مقدار بیشینه نیروی محوری در سقف توغل اتفاق می‌افتد و مقدار آن برابر $10^{86} \times 1/76$ نیوتن می‌باشد.

شکل ۲۱-۵ منحنی تراز لنگر خمی بر لایه شاتکریت به ضخامت ۷/۵ سانتیمتر در زون A پس از نصب نگهدارنده به ازای هر گام پیشروی را نشان می‌دهد. مقدار بیشینه لنگر خمی در دیوارهای توغل اتفاق می‌افتد و مقدار آن برابر $10^{84} \times 1/67$ نیوتن متر می‌باشد.

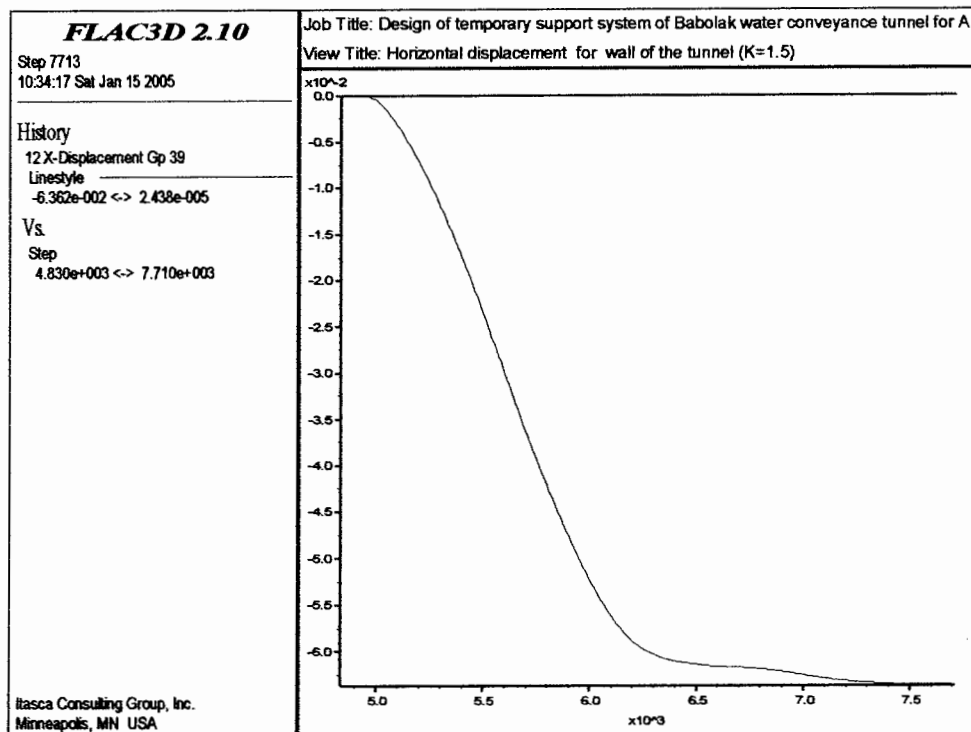
شکل ۲۲-۵ حدأکثر نیروی محوری وارد شده بر پیچ سنگ را نشان می‌دهد در زون A پس از نصب نگهدارنده به ازای هر گام پیشروی را نشان می‌دهد. مقدار بیشینه نیروی محوری وارد شده برابر $10^{85} \times 1/94$ نیوتن می‌باشد.



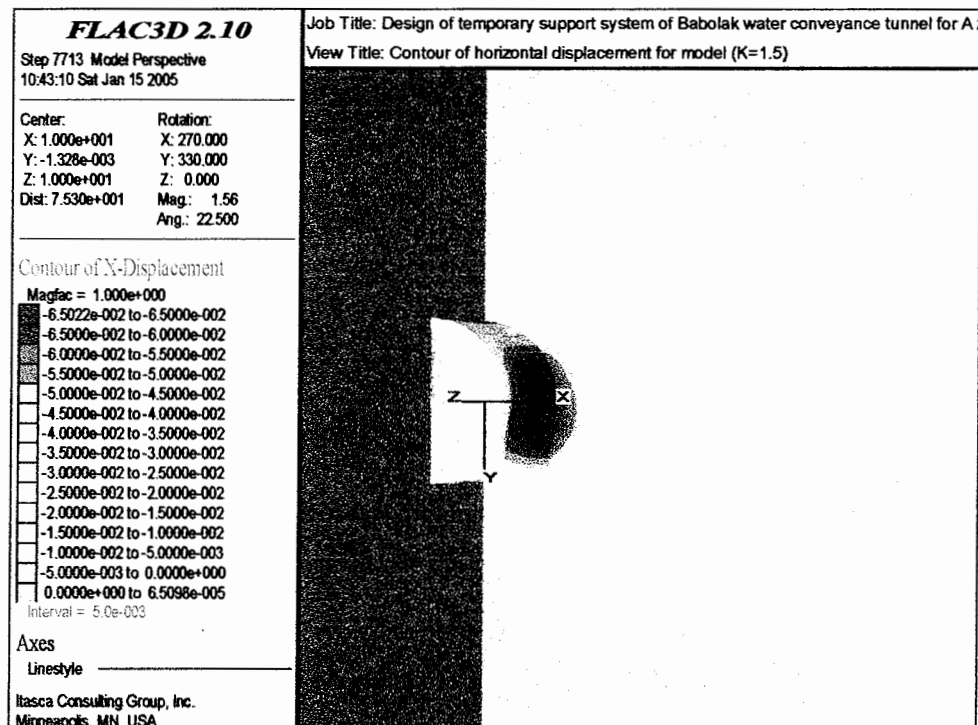
شکل ۱۳-۵ - حداکثر جابجایی قائم در سقف در زون A قبل از نصب نگهدارنده به ازای هر گام پیشروی ($K = 1/5$)



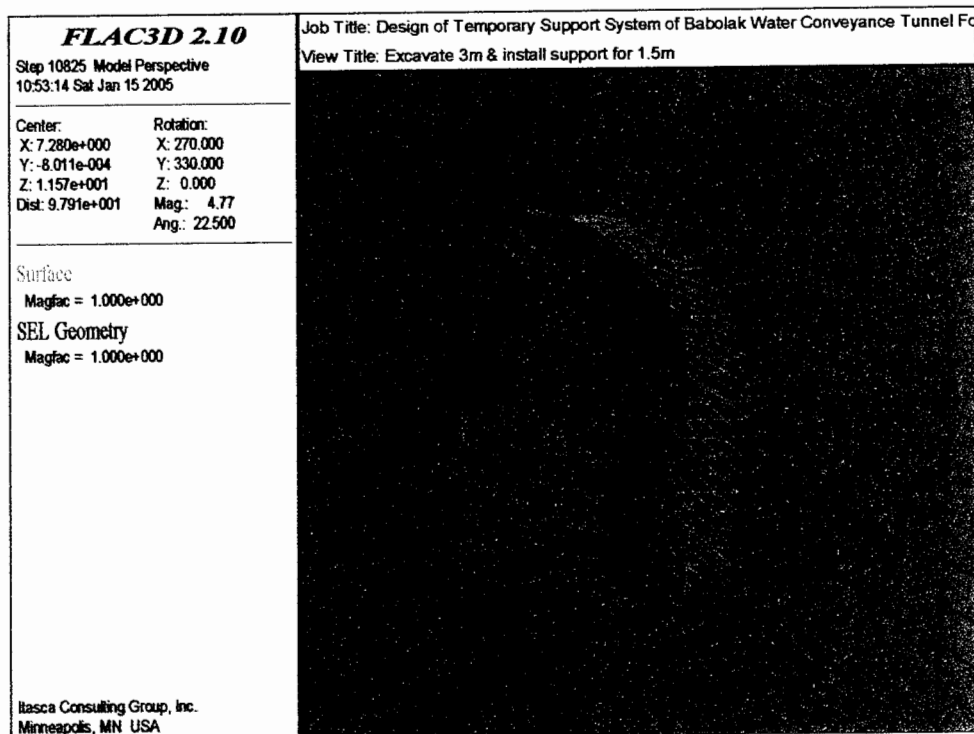
شکل ۱۴-۵ - منحنی تراز جابجایی قائم در زون A قبل از نصب نگهدارنده به ازای هر گام پیشروی ($K = 1/5$)



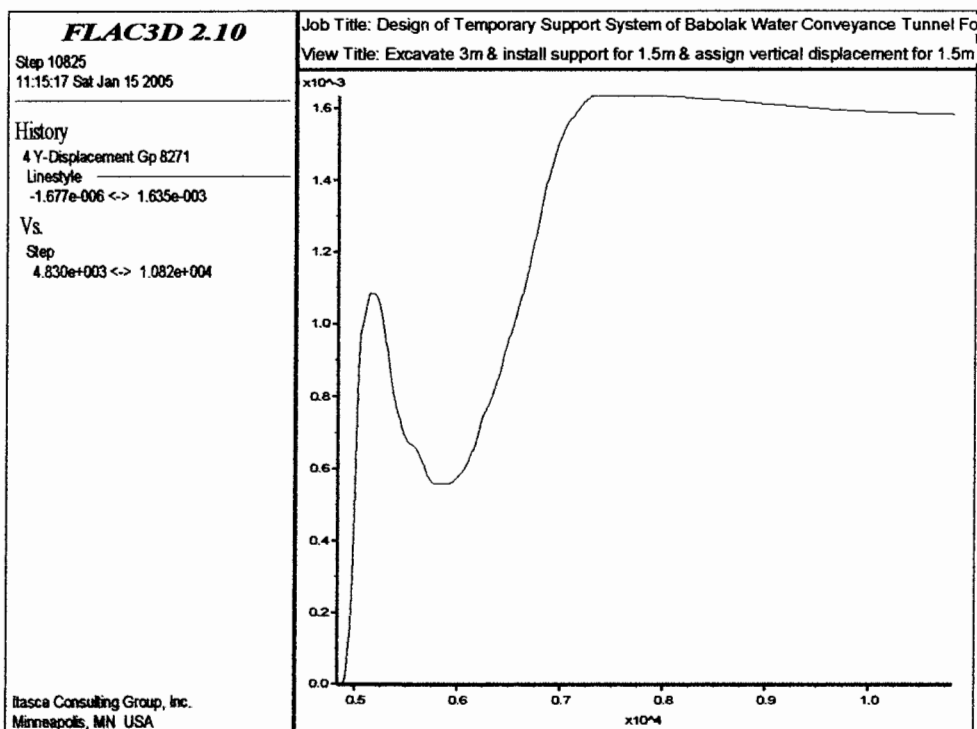
شکل ۱۵-۵- حداقل جابجایی افقی در دیواره در زون A قبل از نصب نگهدارنده به ازای هر گام پیشروی (K=۱/۵)



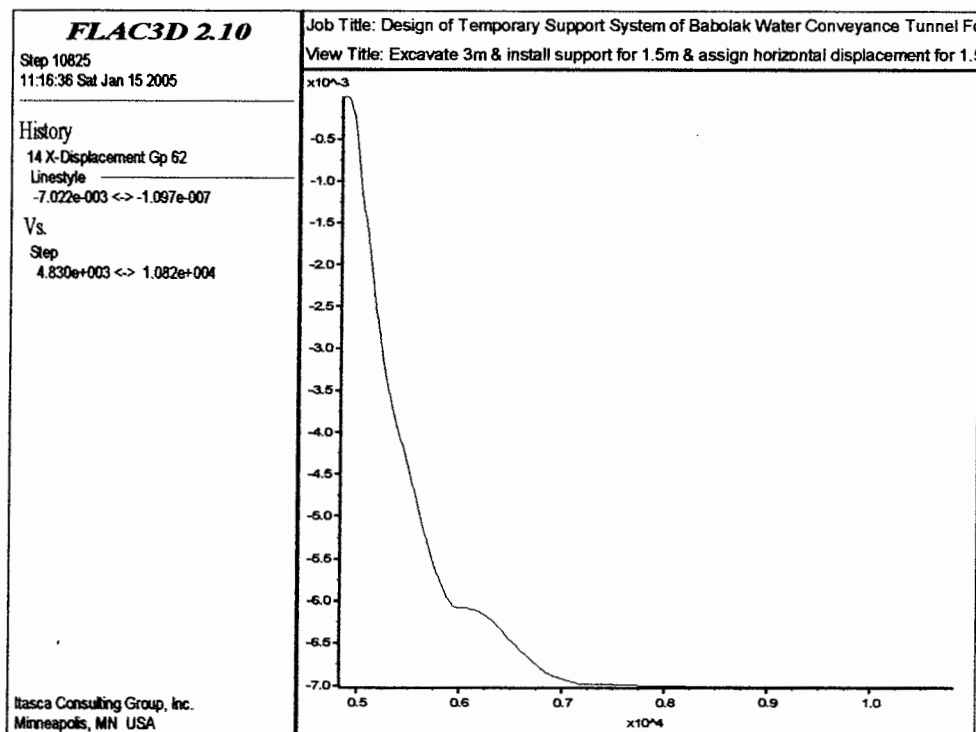
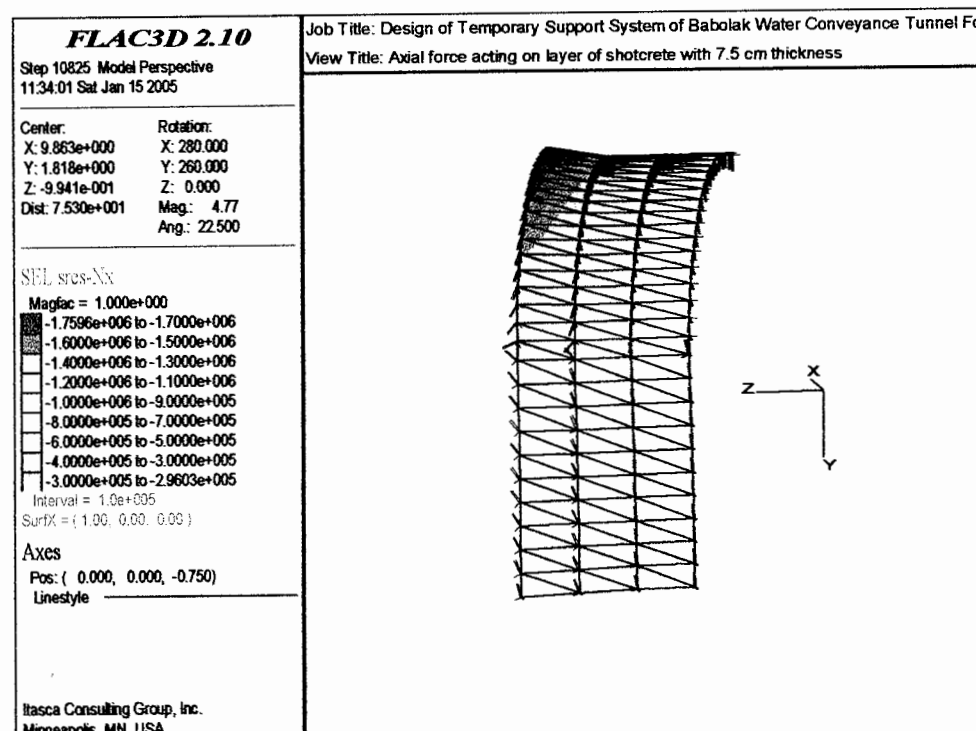
شکل ۱۶-۵- منحنی تراز جابجایی افقی در زون A قبل از نصب نگهدارنده به ازای هر گام پیشروی (K=۱/۵)



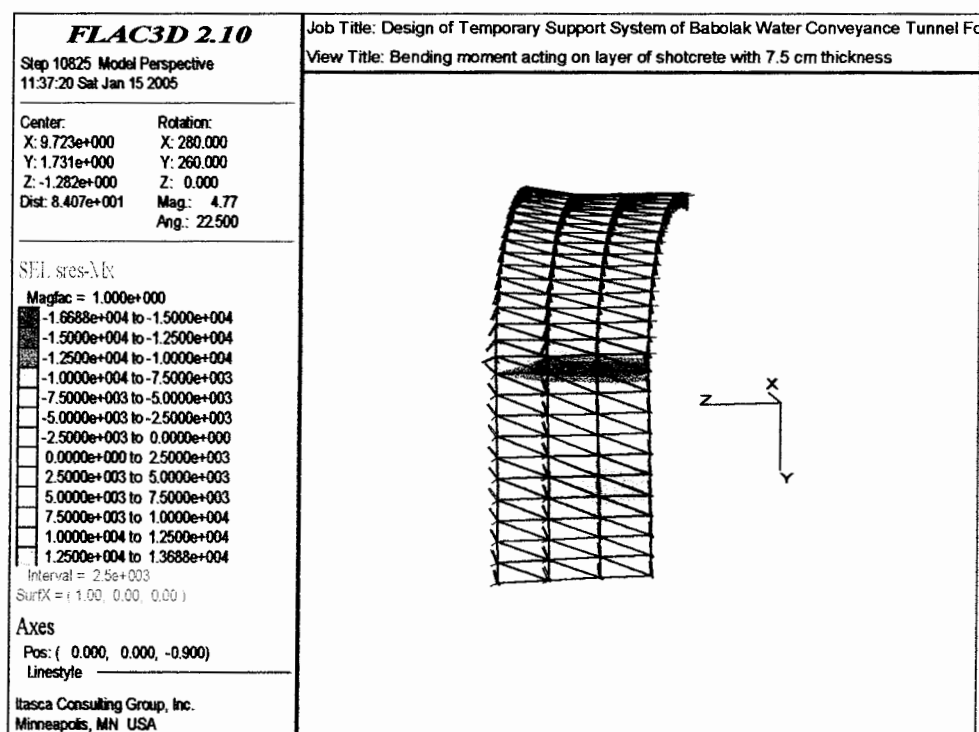
شکل ۱۷-۵- شمای وضعیت تونل در حفر گام دوم پیشروی و نصب نگهدارنده برای گام اول



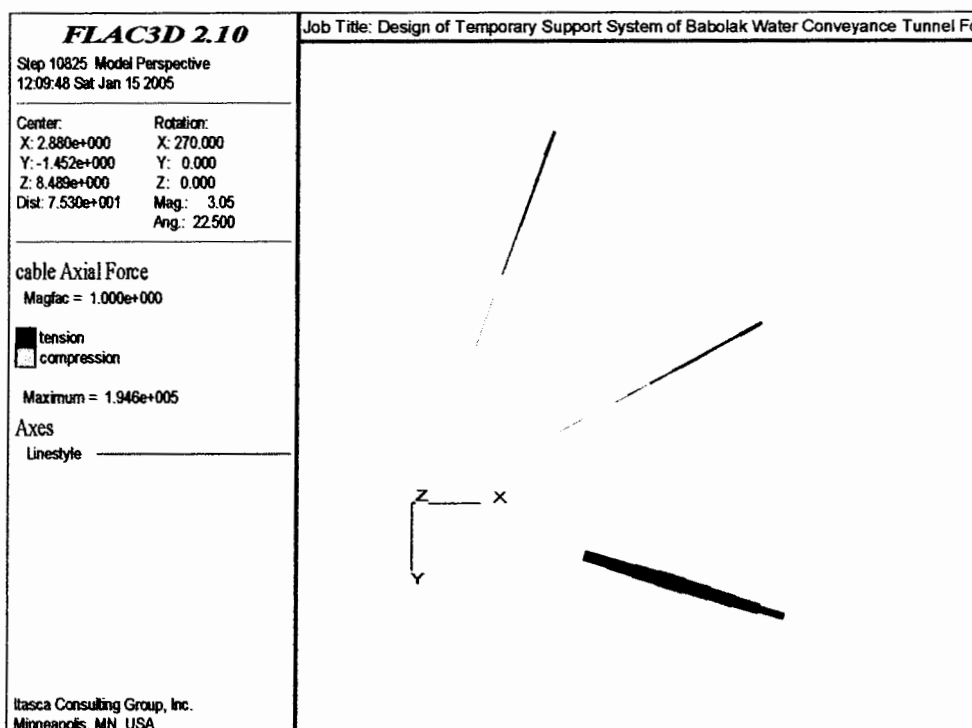
شکل ۱۸-۵- حداقل جابجایی قائم در سقف در زون A پس از نصب نگهدارنده به ازای هر گام پیشروی ($K=1/5$)

شکل ۵-۱۹- حداکثر جابجایی افقی در دیواره در زون A پس از نصب نگهدارنده به ازای هر گام پیشروی ($K=1/5$)

شکل ۵-۲۰- منحنی تراز نیروی محوری بر لایه شاتکریت به ضخامت ۷/۵ سانتیمتر در زون A به ازای هر گام پیشروی



شکل ۵-۲۱- منحنی تراز لنگر خمینی بر لایه شاتکربت به ضخامت ۷/۵ سانتیمتر در زون A به ازای هر گام پیشروی



شکل ۵-۲۲- حداقل نیروی محوری وارد شده بر پیچ سنگها در زون A به ازای هر گام پیشروی

۴-۲-۴-۱- محاسبات نهایی برای المانهای نگهدارنده موقت (پیچ سنگ با فاصله داری

۱/۵ متر در ۱/۵ متر و شاتکریت با ضخامت ۷/۵ سانتیمتر) به ازای گام پیشروی ۱/۵ متر

* $(K=1/5) A$

ضرایب اینمی مطابق آنچه که در ذیل آمده است با مشخص شدن نیروی محوری، لنگر خمی و

نیروی برشی بر لایه شاتکریت و حداکثر نیروی محوری در پیچ سنگ قابل محاسبه می باشد:

- محاسبه ضریب اینمی پیچ سنگ

$$SF_{Bolt} = \frac{F_1}{F_2} = \frac{0.285e6}{1.95e5} = 1.46 \quad (6-5)$$

که:

F_1 = مقاومت کششی پیچ سنگ بر حسب نیوتن

F_2 = حداکثر نیروی محوری وارد شده بر پیچ سنگ بر حسب نیوتن (که از نتایج نرم افزار بدست

می آید)

ضریب اینمی کششی پیچ سنگ = SF_{Bolt}

- محاسبه ضریب اینمی شاتکریت در برابر نیروی برشی

$$\tau_v = \frac{3}{2} \times \frac{Q_x}{t \times z} = \frac{3}{2} \times \frac{1e5}{0.075 \times 1.5} = 1.32e6(Pa) \quad (7-5)$$

که در آن:

Q_x = حداکثر نیروی برشی وارد بر لایه شاتکریت بر حسب نیوتن (که از نتایج نرم افزار بدست

می آید)

t = ضخامت لایه شاتکریت بر حسب متر

برای کل مسیر تونل با ضخامت های مختلف اجرایی شاتکریت، مختصرآ نتایج در جدول ۵-۵ آمده است.

$Z =$ عرض لایه شاتکریت در هر سیکل کاری بر حسب متر (که برابر یک گام پیشیروی است)

$\tau_v =$ حداکثر تنش برشی بر حسب پاسکال

پس بذابز آیند:

$$SF_v = \frac{\tau_B}{\tau_v} = \frac{4e6}{1.32e6} = 3.02 \quad (8-5)$$

که در آن:

$\tau_B =$ تنش برشی مجاز شاتکریت مصرفی بر حسب پاسکال

$SF_v =$ ضریب ایمنی شاتکریت در برابر برش

• محاسبه ضریب ایمنی شاتکریت در برابر نیروی محوری

با مشخص بودن حداکثر نیروی محوری در یک نقطه از لایه شاتکریت و میزان لنگر خمشی در آن نقطه (اثر توازن نیروی محوری و لنگر خمشی) میزان تنش محوری فشاری از رابطه زیر بدست

می آید:

$$\sigma_{c1} = \frac{N_x}{t \times z} + \frac{M \times c}{I} = \frac{1.76e6}{0.075 \times 1.5} + \frac{12 \times 6e2 \times 0.0375}{(0.075)^3 \times 1.5} = 16.07e6 (Pa) \quad (9-5)$$

که:

$\tau_v =$ حداکثر نیروی محوری بر حسب نیوتن

$M =$ لنگر خمشی بر حسب نیوتن متر، در اصلانی که حداکثر نیروی محوری بر آن وارد

می شود

$I =$ ممان اینرسی که برابر مقاطع مستطیلی شکل برابر $\frac{1}{12} b \times h^3$ است (b عرض لایه

شاتکریت بر حسب متر و h ضخامت لایه بر حسب متر می باشد).

$c =$ فاصله دورترین تار کششی از محور خشنی بر حسب متر (که آنرا نصف ضخامت شاتکریت

در نظر می گیرند).

σ_{C1} = تنش محوری فشاری بر حسب پاسکال

پس بنابراین:

$$SF_C = \frac{\sigma_{C2}}{\sigma_{C1}} = \frac{25e6}{16.07e6} = 1.49 \quad (10-5)$$

که در آن:

σ_{C2} = مقاومت فشاری شاتکریت مصرفی بر حسب پاسکال

SF_C = ضریب ایمنی لایه شاتکریت در برابر نیروی محوری

- محاسبه تنش کششی وارد بر لایه شاتکریت

تنش کششی وارد بر لایه شاتکریت ناشی از لنگر خمی از رابطه زیر بدست می‌آید:

$$\sigma_T = \frac{M_{\max} \times c}{I} = \frac{12 \times 1.67e4 \times 0.0375}{(0.075)^3 \times 1.5} = 11.87e6(Pa) \quad (11-5)$$

که در آن:

M_{\max} = حداقل لنگر خمی بر لایه شاتکریت بر حسب نیوتون متر

σ_T = تنش کششی وارد بر لایه شاتکریت بر حسب پاسکال

و واضح است تنش کششی وارد بر لایه شاتکریت خیلی بیشتر از مقاومت کششی شاتکریت

مصرفی ($2/5$ مگاپاسکال) است. لذا شاتکریت حتماً باید با توری سیمی مسلح گردد.

بن و یا شاتکریت علیرغم مقاومت فشاری قابل توجه، مقاومت کششی کم و شکنندگی نسبتاً زیاد دارند. برای رفع این محدودیت اعضاً بتی را با قرار دادن فولاد در آنها فولاد دلایی مقاومت کششی بالاست) تقویت می‌کنند به زبان ساده می‌توان گفت که سازه‌های بتی را طوری طراحی می‌کنند که نیروی فشاری را بتن تحمل کند و نیروی کششی را فولاد.

۵-۵- جمع بندی از نتایج مدلسازی عددی برای سیستم نگهداری موقت

جمع بندی از این فصل به تفسیر جدول ۵-۵ خلاصه می‌گردد:

در این جدول برای زون B پس از نصب نگهدارنده پیچ سنگ و با اجرای شاتکریت به ضخامت ۵ سانتیمتر، ضرایب ایمنی^{*} مناسبی را نتیجه می‌دهد اما قبل از آنکه شاتکریت به تنش کششی وارد بر لایه شاتکریت زیاد است و نیاز به اجرای مش فولادی دارد و با اجرای مش حداقل ضخامت شاتکریت به $7/5$ سانتیمتر خواهد رسید. در زون A نیز از آنجا که اجرای مش فولادی الزامی است، سیستم نگهداری پیچ سنگ و شاتکریت به ضخامت $7/5$ سانتیمتر پیشنهاد می‌گردد و هر چه به ضخامت روبرو باشد، باید ضخامت شاتکریت اضافه گردد تا اینکه در مقطع حداقل روبرو با توجه به افزایش ضرایب ایمنی و کاهش تنش کششی وارد بر لایه شاتکریت، اجرای پیچ سنگ و شاتکریت به ضخامت 15 سانتیمتر و یک لایه مش فولادی جوابگوی این مقطع خواهد بود.

* حداقل ضرایب ایمنی در نگهداری‌های موقت از لحاظ فنی و اقتصادی در حدود $1/2$ تا $1/3$ می‌باشد.

فصل ششم

برآورد سیستم نگهداری دائم
براساس روش عددی

۱-۶- مقدمه

وظیفه سیستم نگهداری موقت به تعادل رسیدن توده‌سنگ و تامین پایداری قبل از نصب سیستم نگهداری نهایی است و وظیفه سیستم نگهداری دائم، علاوه بر مکمل بودن نقش نگهداری اولیه پایدارسازی تونل برای یک دوره طولانی مدت بهره برداری می‌باشد. پایدار بودن تونل در اثر بارهای دینامیکی (مثل زلزله)، خوش^۱ و تورم ناشی از توده‌های رسی نیز از دیگر وظایف سیستم نگهداری دائم است.

در این فصل مراحل شبیه‌سازی طراحی نگهداری و نتایج مدلسازی نگهداری دائمی برای مسیر تونل آمده است. در ادامه به جزئیات مدلسازی در زون A پرداخته شده است و در خاتمه، محاسبات آرماتور مورد نیاز برای مسیر تونل ذکر شده است.

۲-۶- اصول شبیه‌سازی و اهداف آن در طراحی نگهداری دائمی تونل انتقال آب

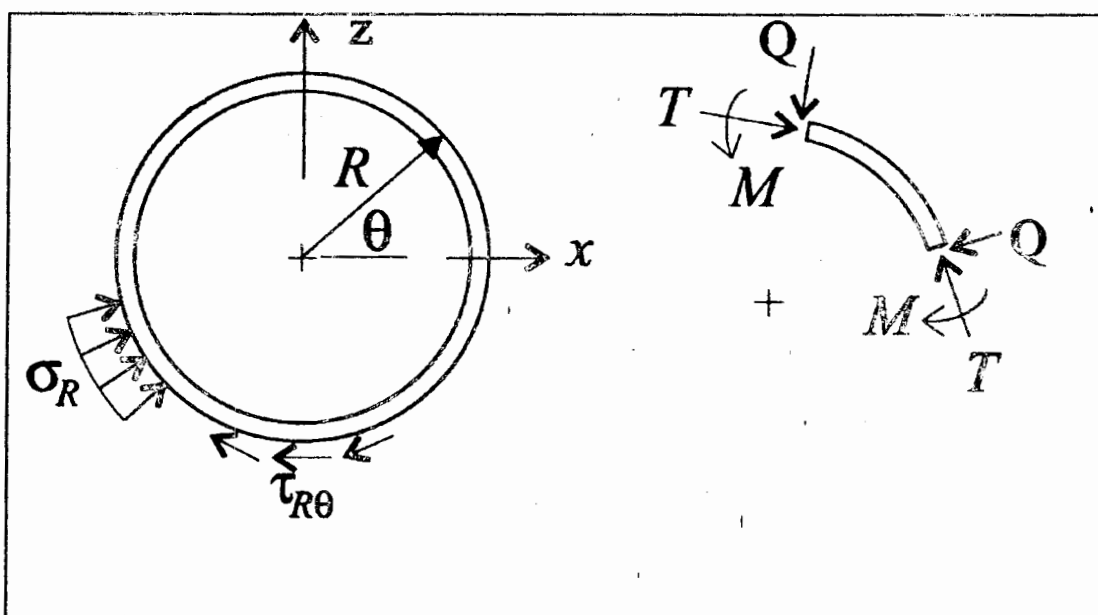
بابلک

از آنجا که شکل نهایی تونل انتقال آب بابلک دایروی است؛ بهتر است مدلی مربعی، که تونلی دایروی در آن حفر گردیده فرضی شود. قطر تونل ۴ متر، ابعاد مدل ۴۰ در ۴۰ متر (۱۰ برابر قطر تونل) و ضخامت مدل ۰/۱۰ متر (۰/۱۰ قطر تونل) در نظر گرفته شده است (از آنجا که شعاع تونل در مقایسه با طول تونل ناچیز است شرایط کرنش صفحه‌ای برقرار است. این شرایط با در نظر گرفتن یک برش نازک و ثابت کردن جابجایی در راستای محور تونل قابل اجرا می‌باشد). تنشهای افقی و قائم با توجه به دانسته توده‌سنگ و اثر گرانشی و مقدار روپاره بر مدل وارد می‌شوند. تونل در موادی الاستیک، کاملاً پلاستیک با معیار شکستگی موهر- کلمب حفر می‌گردد. مرزهای کناری مدل (سمت چپ و راست مدل) و مرز پایینی به صورت غلتکی در نظر گرفته می‌شود. ضمناً مرزهای مدل در راستای ضخامت (تا شرایط کرنش صفحه‌ای برقرار شود) نیز به صورت غلتکی فرض می‌گردد.

^۱ Creep

برای نگهداری دائمی تونل از بتن آرمه درجا (بتن درجا بتنی است که در سازه بتن ریزی می‌شود) استفاده می‌گردد، به همین علت در مدل، اقدام به مدلسازی یک لایه بتن به ضخامت ۴۰ سانتیمتر (طبق آینه نامه USBR ضخامت پوشش بتنی بدون در نظر گرفتن شرایط مسلح سازی ۱ تا $1/3$ اینج به ازای هر فوت قطر تونل است) با مدول الاستیک ۲۰ گیگاپاسکال و ضربی پواسون 0.2 و مقاومت فشاری ۲۵ مگاپاسکال می‌شود.

در ادامه، اقدام به حل مدل و رسیدن به جواب همکرایی می‌گردد هدف از این شبیه‌سازی، استخراج لنگر خمشی^۱ (M)، نیروی محوری^۲ (T)، نیروی برشی^۳ (Q)، تنش مرزی نرمال^۴ (σ_R) و تنش مرزی برشی^۵ ($\tau_{R\theta}$) وارد بر انتهای نگهدارنده (بتن) از مدل می‌باشد (شکل ۱-۶).



شکل ۱-۶- شماتیک تنشها، نیروها و لنگر بر نگهدارنده دائمی تونل

^۱ Bending moment

^۲ Axial thrust

^۳ Shear force

^۴ Normal interface contact stresses

^۵ Shear interface contact stresses

۶-۳- نتایج مدلسازی نگهدارنده دائم برای تونل انتقال آب بابلک

از آنجا که نتایج جابجایی‌ها، لنگر خمشی، نیروی محوری و ... برای حالت $K=1/5$ (منظور از K نسبت تنش افقی به تنش قائم است) بیشینه نیست؛ بهتر است که مدلسازی برای زون A و زون B و مقطع حداکثر روباره به ازای K های مختلف انجام گیرد. این نتایج برای پوشش بتنی به ضخامت ۴۰ سانتیمتر در جدول ۱-۶ آمده است.

بر اساس حداکثر نیروی محوری و لنگر خمشی بدست آمده از این جدول، برای زون‌های مسیر تونل به ازای K های مختلف و بر طبق طراحی ستون تحت بار محوری و خمش، اقدام به محاسبات آرماتور مورد نیاز برای هر زون از مسیر تونل می‌شود(از روش طراحی ستون تحت بار محوری و خمش در پیوست ۹ استفاده شده است).

در جدول ۱-۶ برای زون A پس از نصب نگهدارنده دائم و به ازای $K=1/5$ ، جابجایی قائم در سقف در ۲ میلیمتری و جابجایی افقی در دیواره در $4/4$ میلیمتری متوقف می‌شود. حداکثر نیروی محوری بر لایه بتن در این حالت برابر $10^{8.6} \times 5/66$ نیوتون و حداکثر لنگر خمشی بر لایه برابر $10^{8.5} \times 3/10$ نیوتون‌متر می‌باشد. برای آنکه نشان داده شود این جدول چگونه تهیه شده است به عنوان نمونه، نگهداری دائمی برای زون A در شرایط $K=1/5$ در قسمت ۶-۴ تحلیل شده است.

در فصل اول پایان‌نامه آمد که احتمال تحمت فشار بودن تونل انتقال آب وجود دارد. با توجه به ارتفاع اندک هد آب، این فشار که از درون تونل به المانهای نگهدارنده بتن وارد می‌شود (در مقایسه با تنشهای القایی که درست در خلاف این فشار عمل می‌کنند)؛ ناچیز است. بنابراین تحت فشار بودن تونل (غرقاب شدن تونل) هیچ مشکلی را با وجود تنشهای القایی اطراف تونل از بابت طراحی نگهداری ایجاد نمی‌کند.

جدول ۶-۱- نتایج استخراج شده برای تونل انتقال آب با پوشش بتی به ضخامت ۴۰ سانتیمتر

	K	جلبجایی قائم در سقفه (mm)	جلبجایی لقی در دیواره (mm)	حداکثر نیروی محوری (نیوتن)	حداکثر انگر خمی (نیوتن متر)
زون A	-۰/۲۵	-۵/۱	+۲/۷	۰/۱۸۶	۰/۸۷۶
	-۰/۰	-۳/۹	+۱/۸	۰/۱۸۵	۰/۹۳۶
	-۰/۱۵	-۲/۷	+۱/۷	۰/۱۹۲	۰/۹۷۶
	۱	-۱	-۱	۰/۱-۰/۰	۰/۱۷۶
	۱/۲۵	+۰/۰	-۲/۷	۰/۱۹۵	۰/۹۸۶
	۱/۰	+۲	-۲/۷	۰/۱۹۶	۰/۱۰۶
قطعه حداکثر روپاره	-۰/۲۵	-۴/۶	+۰/۷	۰/۱۸۶	۰/۹۶۶
	-۰/۰	-۴/۷	+۰/۷	۰/۱۸۵	۰/۹۷۶
	-۰/۱۵	-۴/۷	+۰/۷	۰/۱۸۵	۰/۹۷۶
	۱	-۱/۷	-۱/۷	۰/۱۸۶	۰/۱۷۶
	۱/۲۵	+۰/۰	-۱/۷	۰/۱۸۶	۰/۹۸۶
	۱/۰	+۰/۰	-۱/۷	۰/۱۸۷	۰/۹۸۷
زون B	-۰/۲۵	-۰/۷	+۰/۷	۰/۱۸۶	۰/۱۰۶
	-۰/۰	-۰/۷	+۰/۰۷	۰/۱۸۵	۰/۱۰۶
	-۰/۱۵	-۰/۷	+۰/۰۷	۰/۱۸۵	۰/۱۰۶
	۱	-۰/۰	-۰/۰	۰/۱۸۶	۰/۱۷۶
	۱/۲۵	+۰/۰	-۰/۰	۰/۱۸۷	۰/۱۰۷
	۱/۰	+۰/۰	-۰/۰	۰/۱۸۷	۰/۱۰۷

۴-۶- مدلسازی نگهداری دائمی برای تونل انتقال آب در زون A ($K=1/5$)

وضعیت المان‌بندی اطراف تونل مطابق شکل ۲-۶ و وضعیت بردارهای جابجایی اطراف تونل مطابق شکل ۳-۶ می‌باشد. اشکال ۶-۴ تا ۶-۷ به منحنیهای تراز و نمودارهای جابجایی اختصاص دارد. نیروهای محوری و برشی، لنگر خمی، تنش مرزی نرمال و تنش مرزی برشی در اشکال ۶-۸ تا ۶-۱۲ آمده است (فایل متنی برای این زون در پیوست ۸-ج آمده است).

شکل ۶-۴ جابجایی قائم در سقف تونل در زون A پس از نصب نگهدارنده دائم به ازای $K=1/5$ را نشان می‌دهد که مقدار آن در $1/9$ میلیمتری متوقف می‌شود.

شکل ۶-۵ منحنی تراز جابجایی قائم در اطراف تونل در زون A پس از نصب نگهدارنده دائم به ازای $K=1/5$ را نشان می‌دهد که مقدار آن در سقف تونل به $1/9$ میلیمتر می‌رسد.

شکل ۶-۶ جابجایی افقی در دیواره تونل در زون A پس از نصب نگهدارنده دائم به ازای $K=1/5$ را نشان می‌دهد که مقدار آن در $4/4$ میلیمتری متوقف می‌شود.

شکل ۶-۷ منحنی تراز جابجایی افقی در اطراف تونل در زون A پس از نصب نگهدارنده دائم به ازای $K=1/5$ را نشان می‌دهد که مقدار آن در دیواره تونل به $4/4$ میلیمتر می‌رسد.

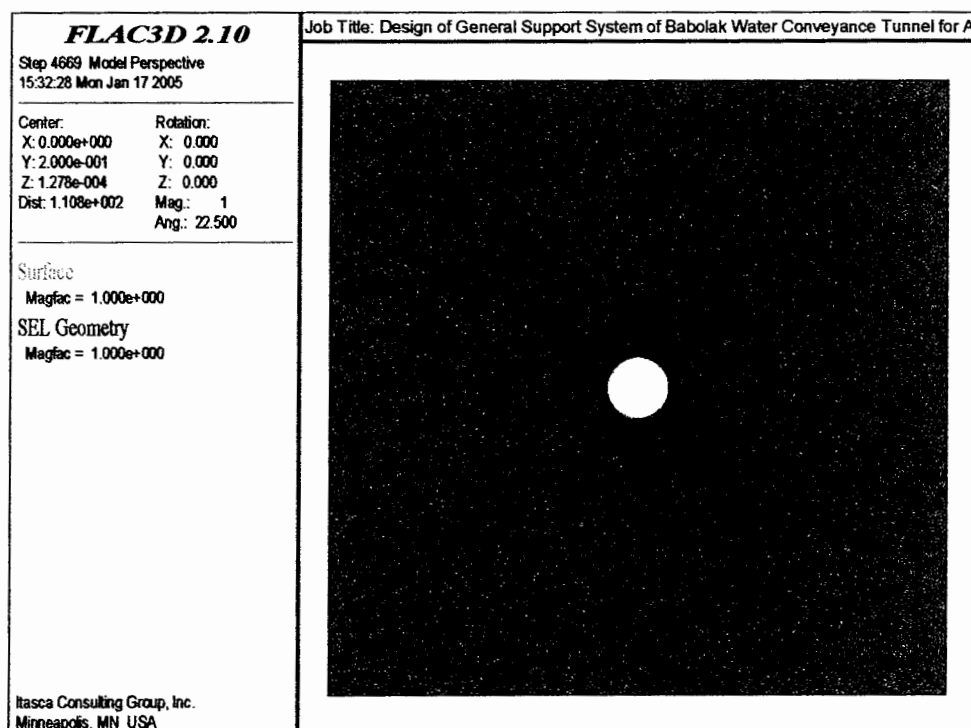
شکل ۶-۸ منحنی تراز نیروی محوری بر لایه بتن به ضخامت 40 سانتیمتر در زون A به ازای $K=1/5$ را نشان می‌دهد که مقدار حداقل نیروی محوری برابر $10^{8.6} \times 5/66$ نیوتون می‌باشد (دید از بالای مقطع دایروی تونل رسم شده است. دقیق شود که ضخامت این مقطع در راستای محور Y است و مقدار آن برابر $4/0$ متر می‌باشد).

شکل ۶-۹ منحنی تراز لنگر خمی بر لایه بتن به ضخامت 40 سانتیمتر در زون A به ازای $K=1/5$ را نشان می‌دهد که مقدار حداقل لنگر خمی برابر $10^{8.5} \times 3/10$ نیوتون متر می‌باشد.

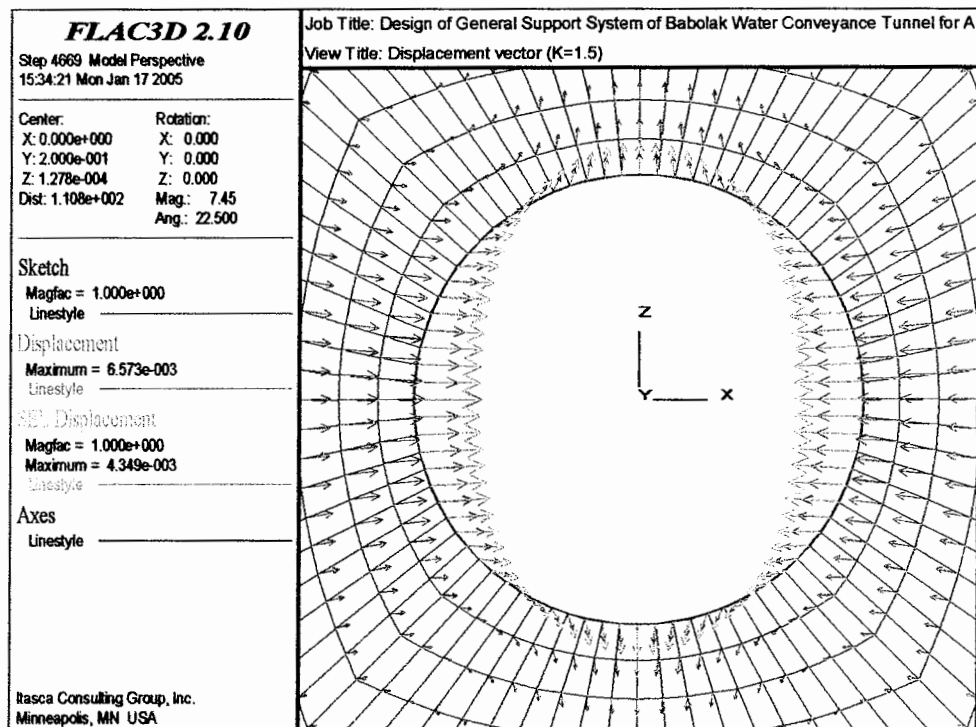
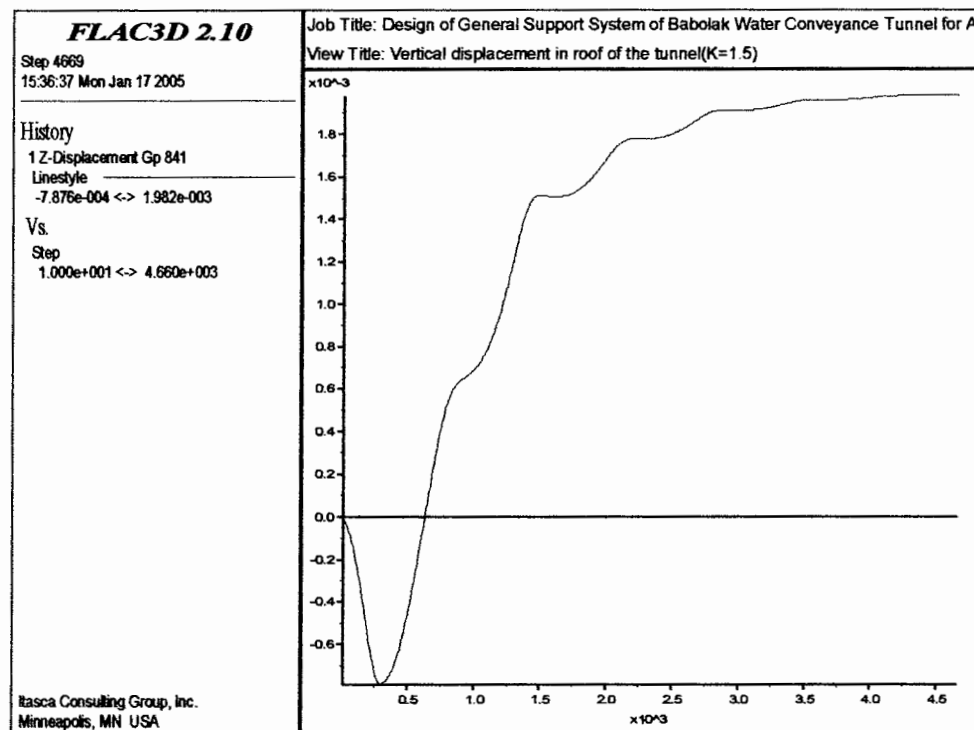
شکل ۱۰-۶ منحنی تراز نیروی برشی بر لایه بتن به ضخامت ۴۰ سانتیمتر در زون A به ازای $K=1/5$ را نشان می‌دهد که مقدار حداکثر نیروی برشی برابر $10^{8.5} \times 2/94$ نیوتن می‌باشد.

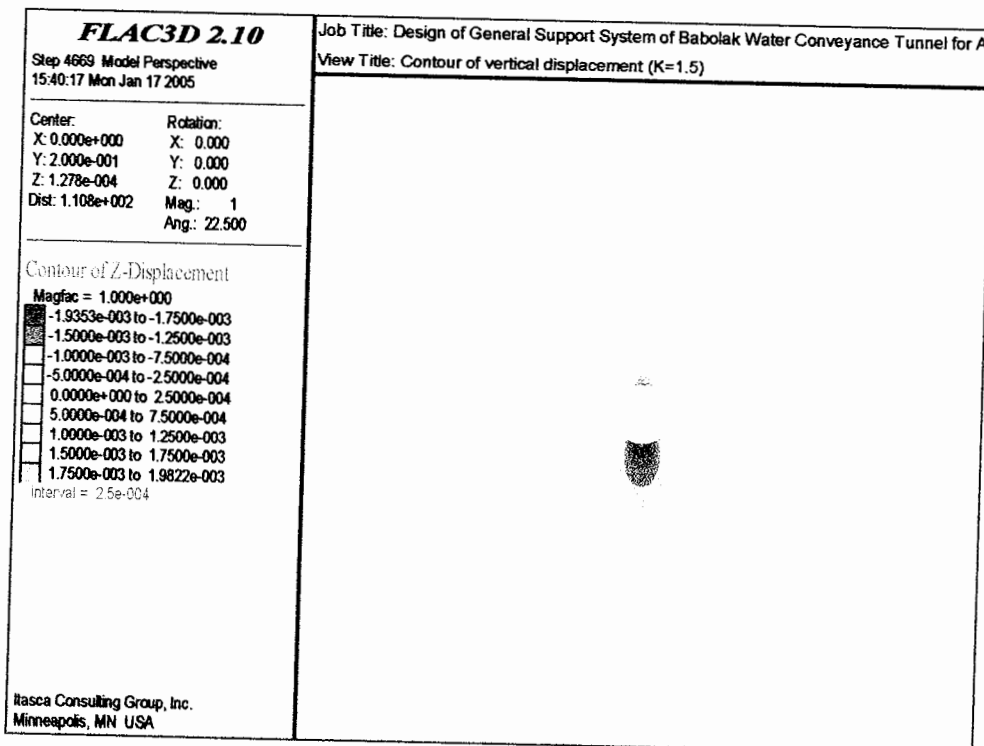
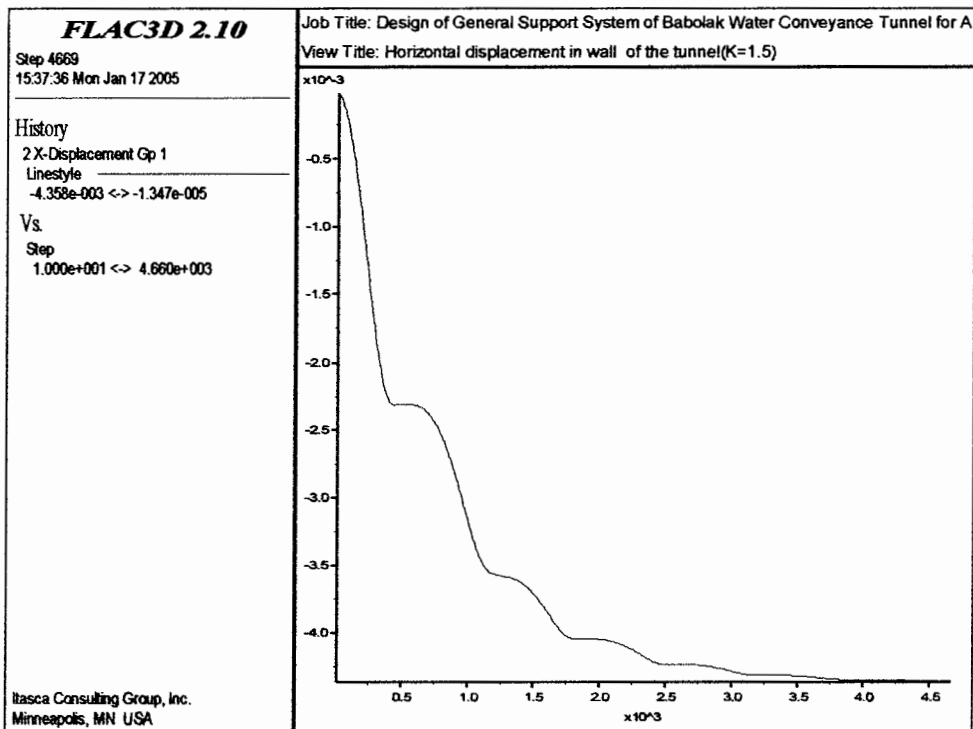
شکل ۱۱-۶ منحنی تراز تنش مرزی نرمال بر لایه بتن به ضخامت ۴۰ سانتیمتر در زون A به ازای $K=1/5$ را نشان می‌دهد که مقدار حداکثر تنش برابر $10^{8.6} \times 3/57$ پاسکال می‌باشد.

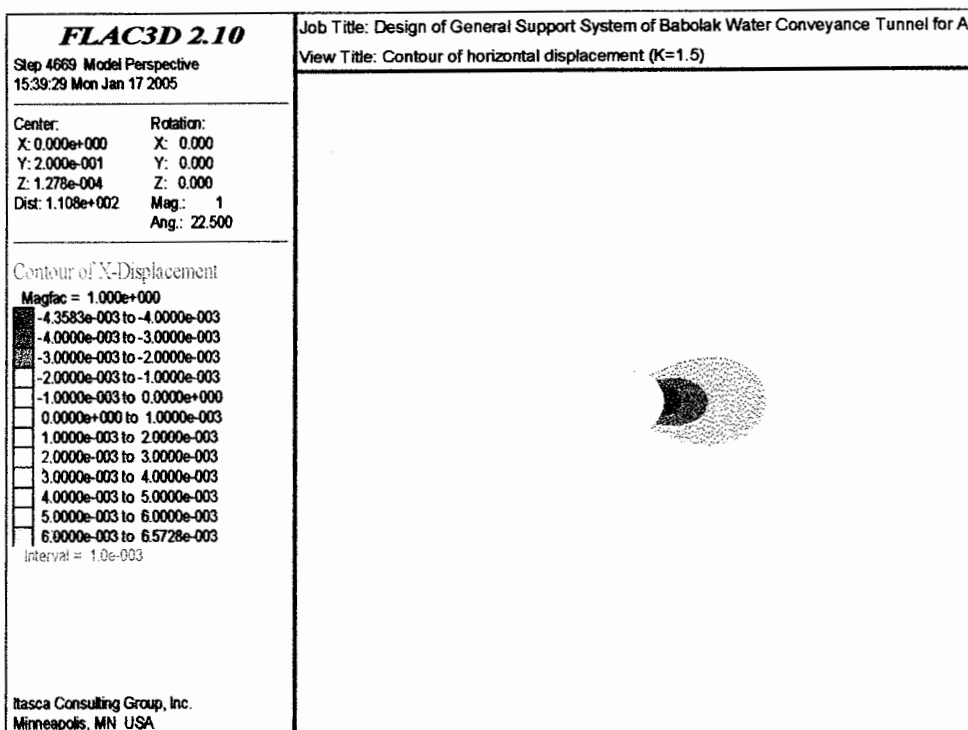
شکل ۱۲-۶ منحنی تراز تنش مرزی برشی بر لایه بتن به ضخامت ۴۰ سانتیمتر در زون A به ازای $K=1/5$ را نشان می‌دهد که مقدار حداکثر تنش برابر $10^{8.5} \times 7$ پاسکال می‌باشد.



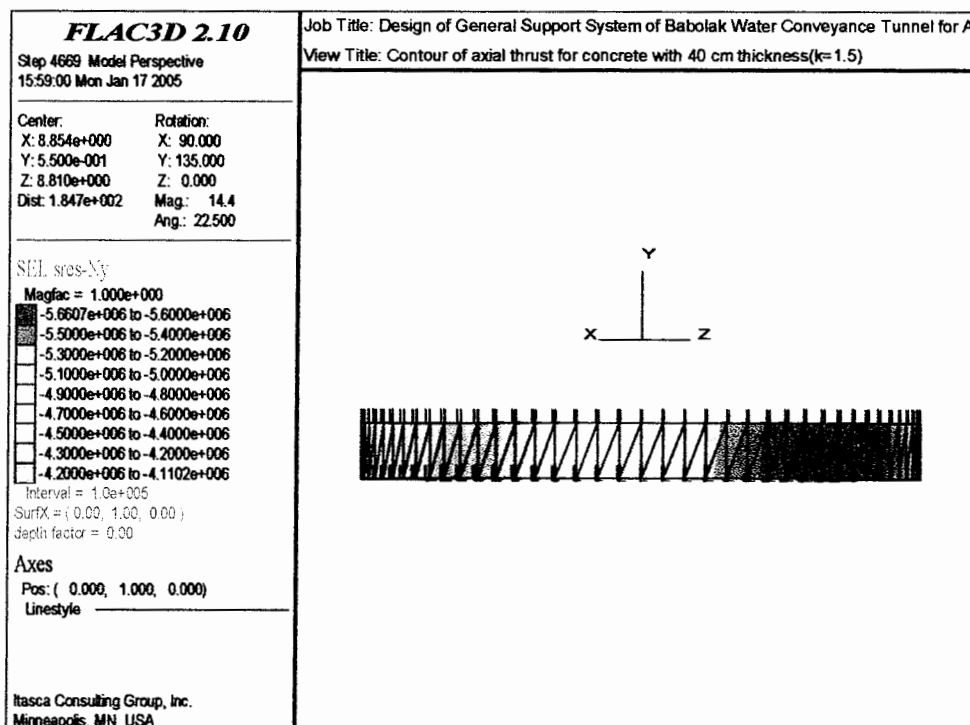
شکل ۲-۶- وضعیت المان‌بندی اطراف تونل

شکل ۶-۳- وضعیت بردارهای جابجایی اطراف تونل در زون A پس از نصب نگهدارنده دائم به ازای $K=1/5$ شکل ۶-۴- جابجایی قائم در سقف در زون A پس از نصب نگهدارنده دائم به ازای $K=1/5$

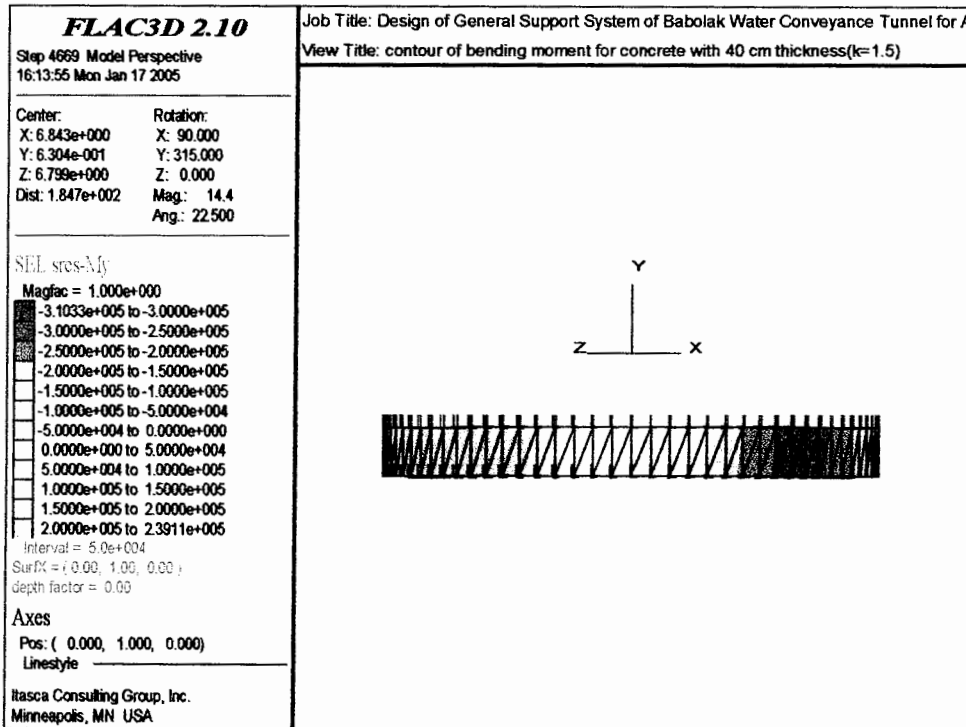
شکل ۶-۵- منحنی تراز جابجایی قائم در زون A پس از نصب نگهدارنده دائم به ازای $K=1/5$ شکل ۶-۶- جابجایی افقی در دیواره در زون A پس از نصب نگهدارنده دائم به ازای $K=1/5$



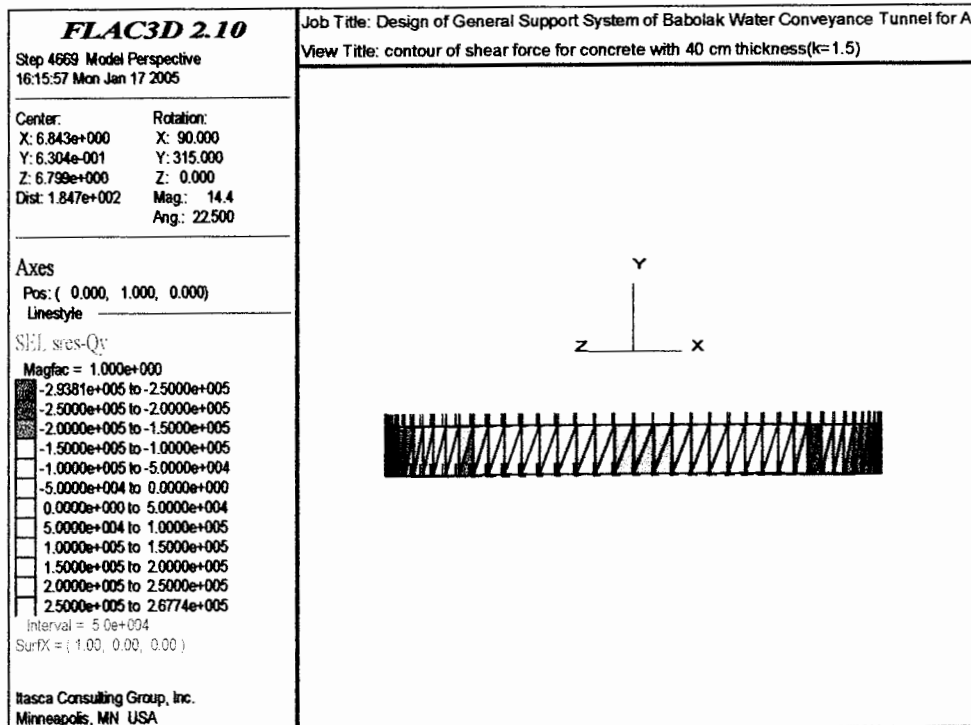
شکل ۷-۶- منحنی تراز جابجایی افقی در زون A پس از نصب نگهدارنده دائم به ازای $K=1/5$



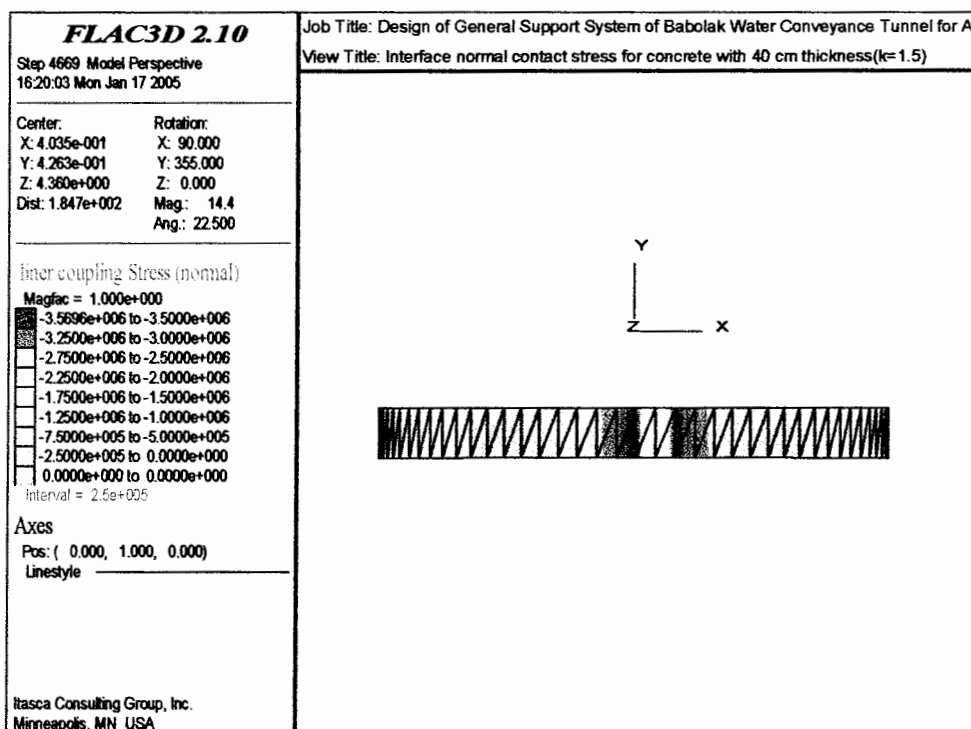
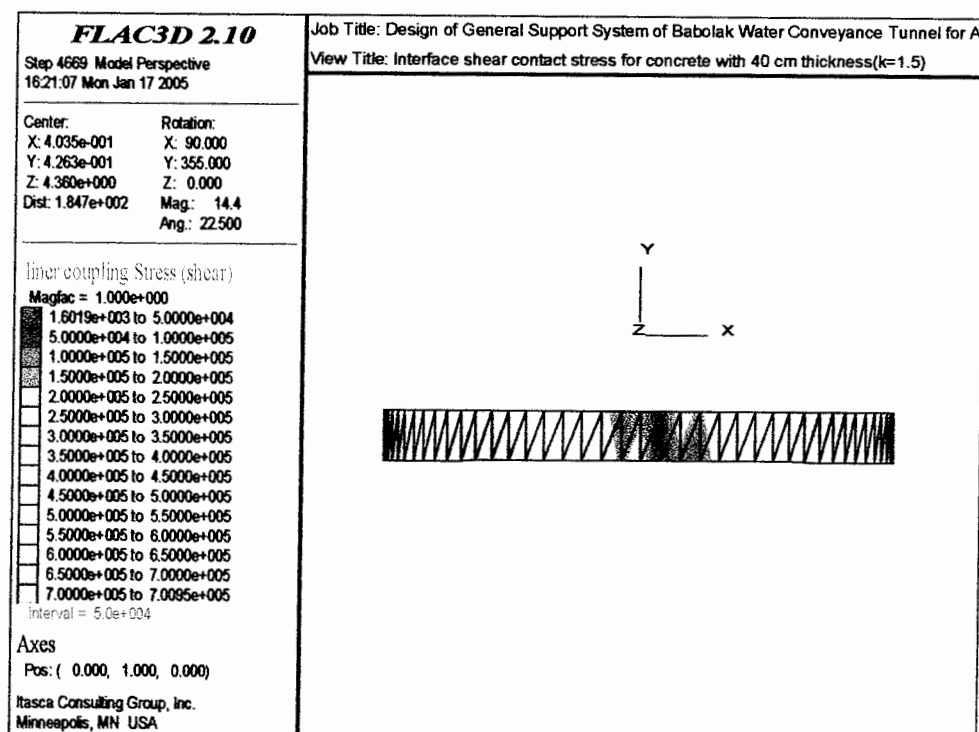
شکل ۸-۶- منحنی تراز نیروی محوری بر لایه بتن به ضخامت ۴۰ سانتیمتر در زون A به ازای $K=1/5$



شکل ۶-۹- منحنی تراز لنگر خمشی بر لایه بتن به ضخامت ۴۰ سانتیمتر در زون A به ازای $K=1/5$



شکل ۱۰- منحنی تراز نیروی برشی بر لایه بتن به ضخامت ۴۰ سانتیمتر در زون A به ازای $K=1/5$

شکل ۱۱-۶- منحنی تراز تنش مرزی نرمال بر لایه بتن به ضخامت ۴۰ سانتیمتر در زون A به ازای $K=1/5$ شکل ۱۲-۶- منحنی تراز تنش مرزی برشی بر لایه بتن به ضخامت ۴۰ سانتیمتر در زون A به ازای $K=1/5$

۶-۵- آرماتور پیشنهادی مورد نیاز برای مسیر تونل انتقال آب

آرماتور پیشنهادی برای مسیر تونل به صورت زیر است:

آرماتور فشر و خمش: دو ردیف آرماتور به قطر ۲۰ میلیمتر با فاصله ۱۵ سانتیمتر

آرماتور لفت و حرارت: دو ردیف آرماتور به قطر ۱۴ میلیمتر با فاصله ۲۰ سانتیمتر

که هر چه به مقطع حداکثر روپاره نزدیکتر شویم، در آرماتور فشار و خمش مقدار ۱۵ سانتیمتر

به ۸ سانتیمتر تقلیل می‌یابد (مراحل محاسبات آرماتور مورد نیاز در پیوست ۹ آمده است).

نتایج و پیشنهادات

نتایج

مارنها اصولاً رفتار همگنی دارند و در آزادسازی تنش ناشی از حفر تونل به دلیل وجود رس خاصیت پلاستیک از خود نشان می‌دهند و می‌توان رفتار الاستوپلاستیک کامل را در مدلسازی محیط پیوسته برای آنها در نظر گرفت. همچنین به دلیل پایین بودن مقاومت و خاصیت شبه پلاستیکی مارن امکان درزداری، پایین است و نباید برای اینگونه سنگها تحلیل گوهای بکار برد.

توده سنگ مارنی در زمان اجرای سیستم نگهداری نقش نگهداری غیر فعال را بازی می‌کند و این یعنی اینکه نصب پیچ سنگ نیز در زمان اجرای شاتکریت ضرورت دارد.

توده سنگهای مسیر تونل انتقال آب بالک بر اساس وضعیت لایه‌بندی به دو زون خروجی A و ورودی B تقسیم می‌شوند. سنگهای مسیر تونل در هر دو زون از جنس مارن مربوط به دوره میوسن می‌باشد با این تفاوت که زون ورودی از مارن با درصد رس کم و زون خروجی از مارن با درصد رس زیاد تشکیل شده است.

نتایجی که از روش‌های تجربی حاصل شده است، نشان می‌دهد که مسیر ورودی تونل در رده سنگهای ضعیف قرار دارد و نیاز به اجرای ۵ سانتیمتر شاتکریت به همراه پیچ سنگ به فواصل ۱ تا ۱/۵ متر می‌باشد و توده سنگهای زون خروجی تونل در رده سنگهای خیلی ضعیف قرار دارد و لازم است که ۵ تا ۷/۵ سانتیمتر شاتکریت به همراه پیچ سنگ به فواصل ۱ تا ۱/۵ متری اجرا گردد.

از آنجا که روش‌های طراحی تجربی یک ایده کلی را برای طراحی سیستم نگهداری موقت به طراح می‌دهند و اعتماد چندانی به نتایج این روشها نمی‌توان کرد، لازم دیده شد که طراحی به روش تحلیل اندرکنش سنگ- سیستم نگهداری نیز صورت گیرد. نتایجی که از تحلیل اندرکنش سنگ- سیستم نگهداری بر می‌آید، ۵ سانتیمتر شاتکریت به همراه پیچ سنگ ۳ متری برای زون ورودی B را پیشنهاد می‌کند و ۷/۵ تا ۱۵ سانتیمتر شاتکریت به همراه بولت ۳ متری با فاصله‌داری ۱/۵ در ۱/۵ متر را برای زون خروجی A لازم می‌داند.

چون تحلیل اندرکنش سنگ-سیستم نگهداری بر اساس یکسری فرضیات و محدودیتها- که قبلاً گفته شد- طراحی سیستم نگهداری موقت را انجام می‌دهد، طراحی سیستم نگهداری موقت به روش مدلسازی عددی نیز صورت گرفت. بر اساس تحلیل عددی پیشنهاد می‌گردد که در کل مسیر تونل، از پیچ سنگ ۳ متری با فاصله‌داری $1/5$ در $1/5$ متر استفاده گردد. با توجه به تنش کششی اعمال شده بر لایه شاتکریت، اجرای توری سبمی (مش) الزامی است و چون از نظر اجرائی، بتن پاشی به ضخامت ۵ سانتیمتر با یک لایه مش امکان‌پذیر نیست؛ لذا حداقل ضخامت شاتکریت $7/5$ سانتیمتر در کل مسیر تونل پیشنهاد می‌گردد که این ضخامت در مقطع حداکثر روباره به ۱۵ سانتیمتر افزایش می‌یابد.

به نظر محقق، بهترین سیستم نگهداری موقت پیشنهادی آنچه است که بر اساس روش عددی بدست می‌آید. زیرا روش مدلسازی عددی بخاطر بهتر مدل کردن سطح مقطع تونل، بکار بردن فرضیات و محدودیتهای کمتر نسبت به سایر روشها و مشخص کردن بهتر زمین مسیر تونل با استفاده از پارامترهای ورودی پیشتر نسبت به دیگر روشها از ارجحیت خاصی برخوردار است؛ هر چند که نتایج دیگر روشها نیز تقریباً همسو با نتایج روش مدلسازی عددی می‌باشد.

طرح پیشنهادی برای نگهداری دائم نیز 40 سانتیمتر بتن مسلح می‌باشد. مشخصات آرماتور فشار و خمش آن، دو ردیف میلگرد 20 با فاصله 15 سانتیمتر از هم می‌باشد.

پیشنهادات

- (۱) انجام آزمایش‌های پر جا به منظور تعیین مقدار و راستای تنشهای اصلی حداقل و حداکثر و مشخص کردن میزان K (نسبت تنش افقی به قائم)
- (۲) نصب سیستمهای رفتارسنجی در زمان حفر تونل جهت دسترسی به منحنی مشخصه واقعی زمین
- (۳) تعیین زمان بهینه نصب سیستم نگهداری موقع و مشخص کردن مقدار دقیق پیشروی در هر گام حفاری بر اساس نتایج رفتارنگاری تونل
- (۴) آنالیز برگشتی اطلاعات حاصل از رفتارسنجی تونل و تعیین دقیق پارامترهای ژئوتکنیکی توده‌سنگ‌های مسیر تونل در زمان حفر و مقایسه آن با اطلاعات و نتایج این تحقیق

منابع فارسی

- ۱- استواره، آ- آتشکاری در معدن- جلد دوم- انتشارات جهاد دانشگاهی واحد صنعتی امیرکبیر- ۱۳۷۷
- ۲- داب، ع- گزارش زمین‌شناسی- مطالعات مرحله اول سیستم انتقال آب بابلک- مهاب قدس- بهمن ۷۷
- ۳- گزارش هیدرولوژی- مطالعات مرحله اول سیستم انتقال آب بابلک- مهاب قدس- بهمن ۷۵
- ۴- خاکباز، م- گزارش مطالعات و طراحی‌های مکانیک‌سنگی ساختگاه سد البرز- مطالعات مرحله دوم- مهاب قدس- اسفند ۷۷
- ۵- رحیم زاده، ع و فتحی، ا- انتخاب روش حفاری تونل سر ریز سد البرز- مجموعه مقالات اولین کنفرانس مکانیک‌سنگ ایران- دانشگاه تربیت مدرس- بهمن ۸۰
- ۶- سحابی، ف- سنگ شناسی رسویی- انتشارات دانشگاه تهران- اسفند ۱۳۷۱
- ۷- زرعیان، س- سنگ شناسی عمومی رسویی- انتشارات دانشگاه تهران- مهر ۱۳۶۴
- ۸- مرتضوی امیری، ج- حفره، کنترل و نگهداری تونلها در زمین‌های آماسی- سمینار کارشناسی ارشد دانشگاه شاهروود- ۱۳۷۸
- ۹- مدنی، ح- تونل‌سازی- جلد اول(حفاری و اجراء)- انتشارات دانشگاه امیرکبیر- تابستان ۱۳۷۷
- ۱۰- بهنیا، او بهنیا، ک- بناهای زیرزمینی (طراحی اجراء نگهداری)- انتشارات دانشگاه تهران- بهمن ۱۳۷۳
- ۱۱- فین، ژ (ترجمه مجید معظمی)- اصول و طراحی نگهداری در تونلها- انتشارات دانشگاه صنایع و معدن ایران- پاییز ۱۳۸۲
- ۱۲- جلالی، م- مروری بر مسائل مکانیک‌سنگ- انتشارات دانشگاه صنایع و معدن ایران- ۱۳۸۱
- ۱۳- مدنی، ح- تونل‌سازی- جلد سوم (تحلیل پایداری)- انتشارات دانشگاه امیرکبیر- اسفند ۱۳۷۹

- ۱۴ - قارونی نیک، م و همراه ابیازنی، م- نگهداری حفریات زیرزمینی در سنگ سخت- انتشارات
نص- ۱۳۸۰
- ۱۵ - مدثی، ح- تونل سازی- جلد چهارم (طراحی و اجرای سیستم نگهداری)- انتشارات دانشگاه
امیرکبیر- ۱۳۸۱
- ۱۶ - کی نیا، ا- آنالیز و طراحی سازه‌های بتن آرمه- انتشارات جهاد دانشگاهی- واحد صنعتی
اصفهان- ۱۳۸۰

منابع لاتین

- 17-Frederich, S., “*Standard Handbook for Civil Engineers*”, Third Edition, West Palm Beach, FL, (1983)
- 18-Hoek, E.kaiser, P.K.-Bawden, W.F., “*Support of Underground Excavation in Hard Rocks*”, (1995)
- 19-Sinha, S., “*Underground Structures: Design & Instrumentation*”, Elsevier Publication, (1989)
- 20-Hoek, e., Brown, E. T., “*Underground Excavations in Rock*”, IMM, London, (1982)
- 21- Chang, Y., “*Tunnel Support with Shotcrete in Weak Rock*”, (1994)
- 22- Itasca Consulting group, “*FLAC3D Version 2.1, User manualP*”, (2001)

پیوستها

توضیح پیوست ۱ و ۲

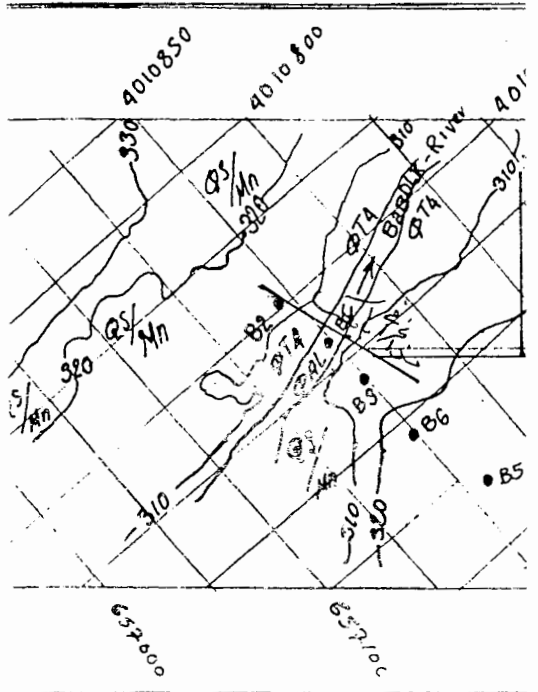
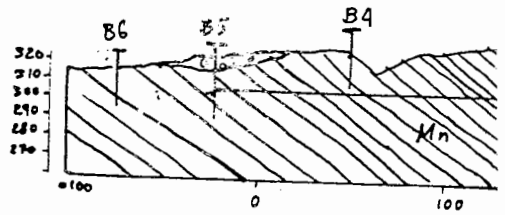
در پیوست ۱، نقشه هیدرولوژی موقعیت جغرافیایی حوزه‌های آبریز منطقه آمده است. رودخانه بابلک، تونل انتقال آب بابلک، سد البرز و رودخانه بابل به همراه ایستگاه‌های اندازه‌گیری در نقشه مشاهده می‌شوند.

در پیوست ۲، مقطع زمین‌شناسی مسیر تونل انتقال آب بابلک و پلان توپوگرافی و تعیین موقعیت در نقشه‌های A و B آمده است. جنس سنگهای مسیر تونل و موقعیت گمانه‌های اکتشافی در نقشه به خوبی واضح می‌باشد.

بررسی

دود
جند
دوید
حاجیا
صل -
امد
خوب
امند
امند
امند
امند
امند
سلور
ساقیر

1	2
3	4
5	6
7	8
9	10
11	12
13	14
15	16
17	18
19	20
21	22
23	24
25	26
27	28
29	30
31	32
33	34
35	36
37	38
39	40
41	42
43	44
45	46
47	48
49	50
51	52
53	54
55	56
57	58
59	60
61	62
63	64
65	66
67	68
69	70
71	72
73	74
75	76
77	78
79	80
81	82
83	84
85	86
87	88
89	90
91	92
93	94
95	96
97	98
99	100
101	102
103	104
105	106
107	108
109	110
111	112
113	114
115	116
117	118
119	120
121	122
123	124
125	126
127	128
129	130
131	132
133	134
135	136
137	138
139	140
141	142
143	144
145	146
147	148
149	150
151	152
153	154
155	156
157	158
159	160
161	162
163	164
165	166
167	168
169	170
171	172
173	174
175	176
177	178
179	180
181	182
183	184
185	186
187	188
189	190
191	192
193	194
195	196
197	198
199	200
201	202
203	204
205	206
207	208
209	210
211	212
213	214
215	216
217	218
219	220
221	222
223	224
225	226
227	228
229	230
231	232
233	234
235	236
237	238
239	240
241	242
243	244
245	246
247	248
249	250
251	252
253	254
255	256
257	258
259	260
261	262
263	264
265	266
267	268
269	270
271	272
273	274
275	276
277	278
279	280
281	282
283	284
285	286
287	288
289	290
291	292
293	294
295	296
297	298
299	300
301	302
303	304
305	306
307	308
309	310
311	312
313	314
315	316
317	318
319	320
321	322
323	324
325	326
327	328
329	330
331	332
333	334
335	336
337	338
339	340
341	342
343	344
345	346
347	348
349	350
351	352
353	354
355	356
357	358
359	360
361	362
363	364
365	366
367	368
369	370
371	372
373	374
375	376
377	378
379	380
381	382
383	384
385	386
387	388
389	390
391	392
393	394
395	396
397	398
399	400
401	402
403	404
405	406
407	408
409	410
411	412
413	414
415	416
417	418
419	420
421	422
423	424
425	426
427	428
429	430
431	432
433	434
435	436
437	438
439	440
441	442
443	444
445	446
447	448
449	450
451	452
453	454
455	456
457	458
459	460
461	462
463	464
465	466
467	468
469	470
471	472
473	474
475	476
477	478
479	480
481	482
483	484
485	486
487	488
489	490
491	492
493	494
495	496
497	498
499	500
501	502
503	504
505	506
507	508
509	510
511	512
513	514
515	516
517	518
519	520
521	522
523	524
525	526
527	528
529	530
531	532
533	534
535	536
537	538
539	540
541	542
543	544
545	546
547	548
549	550
551	552
553	554
555	556
557	558
559	560
561	562
563	564
565	566
567	568
569	570
571	572
573	574
575	576
577	578
579	580
581	582
583	584
585	586
587	588
589	590
591	592
593	594
595	596
597	598
599	600
601	602
603	604
605	606
607	608
609	610
611	612
613	614
615	616
617	618
619	620
621	622
623	624
625	626
627	628
629	630
631	632
633	634
635	636
637	638
639	640
641	642
643	644
645	646
647	648
649	650
651	652
653	654
655	656
657	658
659	660
661	662
663	664
665	666
667	668
669	670
671	672
673	674
675	676
677	678
679	680
681	682
683	684
685	686
687	688
689	690
691	692
693	694
695	696
697	698
699	700
701	702
703	704
705	706
707	708
709	710
711	712
713	714
715	716
717	718
719	720
721	722
723	724
725	726
727	728
729	730
731	732
733	734
735	736
737	738
739	740
741	742
743	744
745	746
747	748
749	750
751	752
753	754
755	756
757	758
759	760
761	762
763	764
765	766
767	768
769	770
771	772
773	774
775	776
777	778
779	780
781	782
783	784
785	786
787	788
789	790
791	792
793	794
795	796
797	798
799	800
801	802
803	804
805	806
807	808
809	810
811	812
813	814
815	816
817	818
819	820
821	822
823	824
825	826
827	828
829	830
831	832
833	834
835	836
837	838
839	840
841	842
843	844
845	846
847	848
849	850
851	852
853	854
855	856
857	858
859	860
861	862
863	864
865	866
867	868
869	870
871	872
873	874
875	876
877	878
879	880
881	882
883	884
885	886
887	888
889	890
891	892
893	894
895	896
897	898
899	900
901	902
903	904
905	906
907	908
909	910
911	912
913	914
915	916
917	918
919	920
921	922
923	924
925	926
927	928
929	930
931	932
933	934
935	936
937	938
939	940
941	942
943	944
945	946
947	948
949	950
951	952
953	954
955	956
957	958
959	960
961	962
963	964
965	966
967	968
969	970
971	972
973	974
975	976
977	978
979	980
981	982
983	984
985	986
987	988
989	990
991	992
993	994
995	996
997	998
999	1000



پیوست ۳

روش [۸] USBR

درجه تورم	درصد تورم محتمل	حد انقباض	نشان خمیری
خیلی بالا	۳۰<	۱۱>	۲۵<
بالا	۲۰-۳۰	۷-۱۲	۲۵-۴۱
متوسط	۱۰-۲۰	۱۰-۱۶	۱۵-۲۸
پایین	۱۰>	۱۵>	۰-۱۸

آیین نامه آشتو [۸] :

نشان خمیری	حد روانی	درجه تورم
کمتر از ۲۵	۵۰	کمتر از
۲۵-۳۵	۵۰-۶۰	متوسط
بیشتر از ۳۵	۶۰	بالاتر از

پیوست ۴-الف)

نتایج آزمایش‌های نفوذپذیری (بر حسب لوزن و سانتی متر بر ثانیه) [۲]:

			A-۱۲	۴-۸	۲-۳	عمق (متر)	گمانه B1
			۵	۸	$۳/۴۰ \times 10^{-۳}$	نفوذپذیری	
			T	D	-	رفتار سنگ	
۱۹-۲۴	۱۴-۱۹	۱۱-۱۲	A-۹	۵-۶	۲-۳	عمق (متر)	
کمتر از ۱	۱۴	$۹/۴۸ \times 10^{-۳}$	$۱/۵۲ \times 10^{-۳}$	$۷/۶۸ \times 10^{-۷}$	$۱/۶۴ \times 10^{-۴}$	نفوذپذیری	گمانه B2
	T	D	-	-	-	رفتار سنگ	
			۱۳-۲۰	A-۱۳	$۳/۳۰-۴/۳۰$	عمق (متر)	گمانه B3
			۱۰۰	۴۴	$۳/۵۹ \times 10^{-۴}$	نفوذپذیری	
			T	T	-	رفتار سنگ	
۱۳-۱۸	۱۴-۱۵	۱۱-۱۲	A-۹	۵-۶	۲-۳	عمق (متر)	گمانه B4
۱	۱	۲	$۵/۱ \times 10^{-۶}$	$۳/۴۰ \times 10^{-۵}$	$۳/۱۴ \times 10^{-۵}$	نفوذپذیری	
L	L	L	-	-	-	رفتار سنگ	
					۲۵-۳۰	۲۰-۲۵	۱۵-۲۰
					.	.	.
					L	L	L
۱۵-۲۱	۱۴-۱۵	۱۱-۱۲	A-۹	۵-۶	۲-۳	عمق (متر)	گمانه B5
کمتر از ۱	$۳/۰ \times 10^{-۴}$	$۱/۶۱ \times 10^{-۴}$	$۶/۷۶ \times 10^{-۵}$	$۲/۱۹ \times 10^{-۴}$.	نفوذپذیری	
V	V	-	-	-	-	رفتار سنگ	
					۲۱-۲۵	۲۶-۳۱	۲۱-۲۶
					کمتر از ۱	.	.
					D	L	L
۲۰-۲۵	۱۴-۲۰	۹-۱۴	۵-۶	۲-۳	عمق (متر)	گمانه B6	
کمتر از ۱	۱	۶	$۷/۰ \times 10^{-۵}$.	.	نفوذپذیری	
D	W	T	-	-	-	رفتار سنگ	
۲۰-۲۷/۲۰	۲۵-۲۸	۱۸-۱۹/۱۰	۹-۱۰	۵-۶	۲-۳	عمق (متر)	گمانه B7
۲۴	.	۲۲	۱۳	.	.	نفوذپذیری	
L	L	T	T	-	-	رفتار سنگ	

		۶۵-۷۰	۶۰-۶۵	۵۴-۶۰	۴۹-۵۴	۴۴-۴۹	۳۹-۴۴
		کمتر از ۱	کمتر از ۱	کمتر از ۱	کمتر از ۱	کمتر از ۱	۳
		L	L	L	L	D	T
۱۲۵-۱۳۰	۱۲۰-۱۲۵	۱۱۵-۱۲۰	۱۱۰-۱۱۵	۱۰۵-۱۱۰	۱۰۰-۱۰۵	عمق (متر)	گمانه B8
کمتر از ۱	کمتر از ۱	کمتر از ۱	کمتر از ۱	کمتر از ۱	کمتر از ۱	نفوذپذیری	
D	D	D	D	D	D	رفتار سنگ	
						۱۳۵-۱۴۰	۱۳۰-۱۳۵
						کمتر از ۱	W D
۱۷۰-۱۷۵	۱۶۵-۱۷۰	۱۶۰-۱۶۵	۱۵۰-۱۵۵	۱۴۰-۱۴۵	۱۳۵-۱۴۰	عمق (متر)	گمانه B10
کمتر از ۱	کمتر از ۱	کمتر از ۱	کمتر از ۱	کمتر از ۱	کمتر از ۱	نفوذپذیری	
D	L	D	D	D	D	رفتار سنگ	
۲۶-۳۱	۲۱-۲۶	۱۸-۲۱	۱۱-۱۶	۸-۱۱	۵-۶	عمق (متر)	گمانه B11
۱۰	کمتر از ۱	کمتر از ۱	V	۱	۰	نفوذپذیری	
T	D	D	D	D	-	رفتار سنگ	
۶۵-۷۰	۶۱-۶۵	۵۶-۶۱	۵۱-۵۶	۴۶-۵۱	۴۱-۴۶	۳۶-۴۱	۳۱-۳۶
۲	کمتر از ۱	۱	۱	کمتر از ۱	کمتر از ۱	۱۸	۴
L	L	D	V	L	L	D	D
۱۷-۱۸	۱۴-۱۵	۱۱-۱۲	A-۹	۵-۶	۲-۳	عمق (متر)	گمانه B12
۱۱	۰	بیشتر از ۶۰	۰	۰	۰	نفوذپذیری	
T	L	-	-	-	-	رفتار سنگ	
						۲۳-۲۸	۱۸-۲۳
						کمتر از ۱	۲۳
						D	D

L:Laminar جریان یکنواخت و آرام

T: Turbulent جریان آشفته

D: Dilation وضعیت بازشدن گستگی ها

V: Void filling وضعیت آب شکستگی ذرات درون شکافها

W: Wash out وضعیت پر شدگی یا اشباع

پیوست ۴ - ب)

رده بندی آفتس در تعیین کیفیت نفوذپذیری:

مقادیر لوزن	کیفیت نفوذپذیری
۳ تا ۰	نفوذناپذیر
۱۰ تا ۳	کمی نفوذپذیر
۱۰ تا ۳۰	نفوذپذیری متوسط
۳۰ تا ۶۰	نفوذپذیری زیاد
۶۰ به بالا	خیلی نفوذپذیر

پیوست ۵ - الف) جداول مربوط به رده‌بندی ژئومکانیکی سنگها (RMR) [۱۸ و ۱۹ و ۲۰]

الف) پارامترهای طبقه‌بندی و ارزش‌گذاری آنها

محدوده مقادیر						پارامتر		
برای این محدوده مقاومت فشاری تک محوره ترجیح داده می‌شود	۱ تا ۲	۴ تا ۲	۸ تا ۴	بیش از ۸	شالخ مقاومت	مقابله با نقطه ای	مقابله توده	
۱ تا ۳	۱۰ تا ۲۵	۱۰۰ تا ۵۰	۲۰۰ تا ۰۰	بیش از ۲۰۰	مقابله فشاری	سنگی بکر	سنگی بکر	۱
متاپاسکال	متاپاسکال	متاپاسکال	متاپاسکال	متاپاسکال	تک محوری			
.	۱	۲	۴	۷	۱۲	۱۵	ارزش عددی	
کمتر از ۲۵٪			٪۲۵-۵۰	٪۵۰-٪۷۵	٪٪۷۵-۹۰	٪٪۹۰-۱۰۰	RQD	۲
۳			۸	۱۳	۱۷	۲۰	ارزش عددی	
کمتر از ۵۰٪ متر			۰/۰۵ تا ۰/۰۵	۰/۰۳ تا ۱	۱ تا ۳ متر	بیش از ۳ متر	فاصله‌داری درزها	۳
۵			۱۰	۲۰	۲۵	۳۰	ارزش عددی	
ضخامت مواد آکننده بیش از ۵ میلیمتر و بازشدنگی بیش از ۵ میلیمتر، درزهای متعدد	سطح آینه‌ای با ضخامت کمتر از ۵ میلیمتر موازن، آکننده ۱ تا ۵ میلیمتر، بازشدنگی درزهای نرم	سطح کمی زیر، جدایی دیواره کمتر از ۱ میلیمتر	سطح کمی زیر، جدایی دیواره کمتر از ۱ میلیمتر	سطح خیلی زیر غیر معمده، جدایی دیواره درزهای سخت	وضعیت نایپوستگی			۴
.	۶	۱۲	۲۰	۲۵	ارزش عددی			
بیش از ۱۲۵ لیتر بر دقیقه	۱۲۵ تا ۲۵ لیتر بر دقیقه	کمتر از ۲۵ لیتر بر دقیقه	بدون آب یا	جریان آب در ۱۰ متر طول توغل				
>۰/۰۵	۰/۰۲-۰/۰۵	۰-۰/۰۲	.	نسبت فشار در درز نسبت به تنش اصلی بزرگتر	آب زیرزمینی			۵
مشکلات فراوان در اثر آب	آب تحت فشار متوسط	فقط مرطوب	کاملآ خشک	شرایط عمومی				
.	۴	۷	۱۰	ارزش عددی				

ب) تعدیل ارزش عددی برای جهت‌بایان درزها

خلیلی ناساعد	نناساعد	مناسب	مساعد (مطلوب)	خلیلی مساعد	رلستا و جهت میل درزها	
-۱۲	-۱۰	-۵	-۲	.	تونل‌ها	ارزش عددی
-۲۵	-۱۵	-۷	-۲	.	بی‌ها	
-۶۰	-۵۰	-۲۵	-۵	.	شهر و نهادها	

ج) رده و کلاس توده‌ستگ که بر اساس ارزش عددی کل تعیین می‌شود

۰-۲۰	۲۱-۴۰	۴۱-۶۰	۶۱-۸۰	۸۱-۱۰۰	ارزش عددی
V	IV	III	II	I	کلاس
سنگ خیلی ضعیف	سنگ ضعیف	سنگ مناسب	سنگ خوب	سنگ خیلی خوب	شرح و توصیف

د) نقش شیب و امتداد ناپیوستگی‌ها در توفیل‌سازی

زاویه شیب ۰ تا نرخه بدون توجه به امتداد	امتداد موازی محور توفیل		امتداد عمود بر محور توفیل			
			زاویه شیب هم جهت با پیشروی		زاویه شیب خلاف جهت با پیشروی	
	زاویه شیب ۲۰-۴۵	زاویه شیب ۴۵-۹۰	زاویه میل ۲۰-۴۵	زاویه میل ۴۵-۹۰	زاویه میل ۲۰-۴۵	زاویه میل ۴۵-۹۰
نامساعد	مناسب	خیلی نامساعد	نامساعد	مناسب	مساعد	خیلی مساعد

ه) شرایط ناپیوستگی‌ها

بیش از ۲۰ متر	۱۰ تا ۲۰ متر	۱۰ تا ۳ متر	۱ تا ۳ متر	کمتر از ۱ متر	طول ناپیوستگی (کسرش ناپیوستگی)
۰	۱	۲	۴	۶	بازشدگی (شکاف)
بیش از ۵ میلیمتر	۱ تا ۵ میلیمتر	۱ تا ۱۰ میلیمتر	کمتر از ۱۰/۱ میلیمتر	ندارد	
۰	۱	۴	۵	۶	
صیقلی	صف	کمی زیر	زیر	خیلی زیر	زیری
۰	۱	۳	۵	۶	
پرکننده نرم	پرکننده سخت	پرکننده سخت	پرکننده سخت	ندارد	
۵ میلیمتر	۵ میلیمتر	بیش از ۵ میلیمتر	کمتر از ۵ میلیمتر		پوشیدگی (خرد شدگی)
۰	۲	۴	۴	۶	
متلاشی شده	هوازدگی کمی زیاد	هوازدگی متوسط	کمی هوازدگی	هوائزده	
۰	۱	۳	۵	۶	هوازدگی

پیوست ۵ - ب) جداول مربوط به رده‌بندی NGI (Q) [۱۲]

الف) امتیاز مربوط به پارامتر J_{in}

امتیاز	شرح
۱ تا ۰/۵	سنگ تودهای بدون درزه یا کم‌درزه
۲	یک دسته درزه
۳	یک دسته درزه همراه با درزه‌های اتفاقی
۴	دو دسته درزه
۶	دو دسته درزه همراه با درزه‌های اتفاقی
۹	سه دسته درزه
۱۲	سه دسته درزه همراه با درزه‌های اتفاقی
۱۵	چهار دسته درزه یا بیشتر همراه با درزه‌های اتفاقی
۲۰	سنگ شکسته و شبیه خاک

ب) امتیاز مربوط به پارامتر J_r

امتیاز	شرح
	الف) در شرایطی که قبل از جابجایی برشی درزه‌ها حداقل ۱۰ سانتی متر از سطوح آنها با هم تماس داشته باشند
۴	دربزه‌های ناپیوسته
۳	زیر یا نامنظم، دارای تمحور
۲	صف، دارای تمحور
۱/۵	شبیه آینه گسل دارای تمحور
۱/۵	زیر یا نامنظم، مسطح
۱	صف، مسطح
۰/۵	شبیه آینه گسل، مسطح
	ب) در شرایطی که هنگام برش خوردن درزه، دیواره‌های درزه با هم تماس نداشته باشند
۱	بین سطوح درزه با کانی رسی پر شده باشد به طوری که مانع تماس دیواره درزه‌ها شود
۱	بین سطوح درزه با ماسه یا شن پر شده باشد به طوری که مانع تماس دیواره درزه‌ها شود

ج) امتیاز مربوط به پارامتر J_a (در شرایطی که سطوح درزه با هم تماس داشته باشند)

امتیاز	شرح
۰/۷۵	در صورت وجود ماده پرکننده، این مواد بخوبی به هم جوش خورده و سخت، ناتراوا و مستحکم باشند مثل کوارتز
۱	دیوارهای درزه دگرسان نشده‌اند، تنها سطوح آن کمی دگرسان شده‌اند.
۲	دیوارهای درزه کمی دگرسان شده، پوششی از کلثی‌های مستحکم مثل ماسه، بدون وجود رس
۳	پوشش سیلتی یا ماسه‌های رسی همراه با کمی رس.
۴	پوشش کانیهای رسی و کم اصطکاک مثل کالوینیت یا میکا، کلریت، تالک و غیره و کمی رسهای آملسی

د) امتیاز مربوط به پارامتر J_w

امتیاز	فشار تقریبی آب (کیلوگرم بر سانتی متر مربع)	شرح
۱	کمتر از ۱	حرفر سازه در محیط‌های خشک و با جریان کم
۰/۶۶	۱ تا ۲/۵	جریان آب با فشار متوسط همراه با شسته شدن مواد پرکننده بطور موضعی.
۰/۵	۲/۵ تا ۱۰	جریان آب با فشار زیاد در سنگهای مستحکم درزه‌های فاقد مواد پرکننده.
۰/۳۳	۱۰ تا ۲/۵	جریان آب با فشار زیاد همراه با شسته شدن قابل ملاحظه مواد پرکننده.
۰/۲	بیشتر از ۱۰	جریان آب با فشار فوق العاده زیاد که در طول زمان تقلیل می‌یابد.
۰/۰۵	بیشتر از ۱۰ تا ۰/۱	جریان آب با فشار فوق العاده زیاد که در طول زمان تقلیل قابل ملاحظه‌ای نیابد.

ه) امتیاز مربوط به پارامتر SRF برای سنگهای روان و آماسی

امتیاز	شرح
۱۰ تا ۵	سنگهای روان (که سیلان آنها همراه با افزایش حجم نیست)
۲۰ تا ۱۰	سیلان و فشر انداز
۱۰ تا ۵	سنگهای آماسی (که سیلان آن همراه با افزایش حجم است)
۱۵ تا ۱۰	سیلان و فشر زیاد

پیوست ۶

توضیحات جدول ۱-۴:

۱- مدول الاستیک توده سنگ از رابطه پیشنهادی ویلی^۱ بدست می‌آید:

$$\frac{E_{IR}}{E_{RM}} = ۳ \text{ تا } ۲$$

که در آن:

$$E_{IR} = \text{مدول الاستیک سنگ سالم}$$

$$E_{RM} = \text{مدول الاستیک توده سنگ}$$

۲- (m) ثابت هوک و براون برای توده سنگ مارنی از ۴ تا ۷ متغیر است و هر چه مقدار رس مارن

بالاتر باشد، این ضریب پایین‌تر است.

۳- (S) ثابت هوک و براون برای توده سنگ، از رابطه زیر بدست می‌آید:

$$s = \left(\frac{\sigma_{cl}}{\sigma_{c2}} \right)^2 = \left(\frac{2 \times c \times \sqrt{\frac{1 + \sin \varphi}{1 - \sin \varphi}}}{\sigma_{c2}} \right)^2$$

که در آن:

$$\sigma_{cl} = \text{ مقاومت فشاری توده سنگ}$$

$$\sigma_{c2} = \text{ مقاومت فشاری سنگ سالم (از جدول ۶-۲ بدست می‌آید)}$$

$$c \text{ و } \varphi = \text{ چسبندگی و زاویه اصطکاک داخلی (از ۶-۸-۲ بدست می‌آید)}$$

^۱Wyllie(1991)

پیوست ۷-الف) (مراحل رسم منحنی مشخصه زمین برای زون B)

جدول ۱- اطلاعات صفحه گسترده اول

A	B	C	D	E
امتیاز توجه سنج (RMR)	52		$P_i(cr)(Mpa) =$	0.311228777
مدول لاستیک توجه سنج (گیگا پاسکال)	0.7			
مقلوت فشاری (مگاپاسکال)	6.5			
ضریب پولاسون	0.3		$P_i(1)(Mpa) =$	0.24470951
پارامتر توجه سنج s	0.0017		$U_e/R_e =$	0.002963694
پارامتر توجه سنج m	5		$R_e/R_i =$	1.056329723
حداکثر ریزه (متر)	80		$R_e(m) =$	2.218292418
خطیته (گرم بر سانتی متر مکعب)	2.43		$U_e(m) =$	0.00657434
شعاع تونل (متر)	2.1		$R =$	-0.07868976
			$E_{av} =$	-0.004876905
			$A =$	0.012055781
GSI =	47		$U_i/R_i =$	0.003552992
$S_r =$	0.002770053		$U_i(m) =$	0.007461283
$M_r =$	0.753203956		$P_i(1)(roof)(Mpa) =$	0.2475294
$P_0(Mpa) =$	1.907064		$P_i(1)(floor)(Mpa) =$	0.24188962
$M =$	0.245513111		$P_i(2)(Mpa) =$	0.733149018
$D =$	-0.71796736		$U_i/R_i =$	0.002180128
$N =$	0.523270346		$U_i(m) =$	0.004578268

پارامترهای ورودی در جدول ۱ آمده‌اند. فرمول پارامترهای خروجی به

صورت زیر است:

$$B14=B2-5$$

$$B15=EXP((B14-100)/9)$$

$$B16=EXP((B14-100)/28)*B7$$

$$B17=B8*B9*9.81/1000$$

$$B18=0.5*SQRT(((B7*B7)/16)+((B7*B17)/B4)+B6)-(B7/8)$$

$$B19=-B7/(B7+4*SQRT((B7/B4)*(B17-B18*B4)+B6))$$

$$B20=2*SQRT(((B17-B18*B4)/(B16*B4))+(B15/(B16*B16)))$$

$$E2=B17-B18*B4$$

$$E5=E2-E2*RAND()$$

$$E6=((1+B5)/B3)*B18*B4)/1000$$

E7=EXP (B20-2*SQRT ((E5/B16*B4)+(B15/(B16*B16))))

E8=E7*B10

E9=E6*E8

E10=IF (E7>SQRT (3); 1.1*B19; 2*B19*LN (E7))

E11=(2*E6*E7*E7)/(((E7*E7)-1)-(1+(1/E10)))

E12=(2*E6-E11)*E7*E7

E13=1-SQRT ((1-E11)/(1+E12))

E14=E13*B10

E15=E5+((B9*9.81*(E8-E10))/1000)

E16=E5- ((B9*9.81*(E8-E10))/1000)

E18=E2+(B17-E2)*RAND ()

E19=((1+B5)*(B17-E18))/(B3*1000)

E20=E19*B10

علت آنکه مقادیر (1) و (2) (سلولهای E5 و E18) را به صورت تصادفی انتخاب کردیم

آنستکه بتوانیم به ازای این اعداد تصادفی، مقادیر P_i های (سلولهای E14 و E20) مختلف را محاسبه

کنیم.

برای ایجاد ۲۰۰ داده تصادفی، در یک صفحه گسترده دیگر به صورت جدول ۲ اقدام می‌کنیم:

جدول ۲- اطلاعات صفحه گسترده دوم

	P _i (floor)(Mpa)	P _i (roof)(Mpa)	P _i (Mpa)	U _i (Cm)
1	0.24188962	0.2475294	0.24471	0.746126
2	0.064845257	0.091318589	0.078082	1.472905
3	0.029699495	0.06258776	0.046144	1.813912
4	0.308658772	0.308852621	0.308756	0.621094
5	-0.000871986	0.039083756	0.019106	2.288531
6	0.229113775	0.235898249	0.232506	0.775111
7	0.014468764	0.050648733	0.032559	2.020195
8	-0.005701501	0.035566759	0.014933	2.390817
9	0.211279078	0.219726546	0.215503	0.81904
10	0.007115397	0.045038023	0.026077	2.139507
11	0.219032343	0.226747149	0.22289	0.799414
12	0.017758804	0.053193975	0.035476	1.971416
13	-0.006099648	0.03527995	0.01459	2.399726
14	0.086122083	0.109279319	0.097701	1.323073
15	0.211142983	0.219603449	0.215373	0.819392

که در آن:

B2=Sheet1! E16

C2=Sheet1! E15

D2=Sheet1! E5

E2=Sheet1! E14*100

B3 تا B101 {=TABLE (; F1)}

C3 تا C101 {=TABLE (; F1)}

D3 تا D101 {=TABLE (; F1)}

E3 تا E101 {=TABLE (; F1)}

D102=Sheet1! E18

E102=Sheet1! E20*100

D103 تا D201 {=TABLE (; G1)}

F103 تا F201 {=TABLE (; G1)}

حال کافی است که اعداد تولید شده را کپی و در یک صفحه گستردۀ دیگر آنها را به صورت مقداری چسباند. در نهایت این اعداد را بر اساس U_i از مقدار کم تا مقدار زیاد مرتب کرد و منحنی (فشار سیستم نگهداری- تغییر شکل ساعتی) را برای سه سری $(P_i - U_i)$ و $(P_i(\text{roof}) - U_i)$ و $(P_i(\text{floor}) - U_i)$ رسم کرد (یعنی سه سری دیواره، سقف و کف تونل).

پیوست ۷-ب) (مراحل رسم خط سیستم نگهداری برای زون B)

پارامترهای ورودی در سلولهای B3 تا B7 و D3 تا D10 در جدول ۳ آمده اند.

لازم به ذکر است که در تعیین ارزش پارامترهای مدول الاستیسیته بتن، ضریب پواسون، مقاومت فشاری تک محوره، ارزش مقاومت نهایی پیچ سنگ و ثابت شکل پذیری راس پیچ سنگ از منبع استفاده شده است.

جدول ۳- اطلاعات صفحه گسترده اول

	۰.۵	۰	
تفصیل شکل شعاعی (لوپ) (سانتی متر)	۰.۵	۰	
مدول الاستیسیته بتن (گیگا پاسکال)	۱۵	۳	
ضریب پواسون بتن	۰.۲۵	۱.۵	
شعاع توزل (متر)	۲۱	۱.۵	
ضطریت شانکریت (متر)	۰.۰۵	۰.۰۲۵	
مقواومت فشاری تک محوره (گیگا پاسکال)	۲۵	۲.۱	
مدول الاستیسیته پیچ سنگ (گیگا پاسکال)		۰.۰۷	
مقواومت نهایی پیچ سنگ (مکانیون)		۰.۲۸۵	
ثابت شکل پذیری راس پیچ سنگ (متر به مکانیون)		۰.۱۴۳	
Pscm(1) K1	۰.۵۸۸۱۵۱۹۲۷ ۳۸۸.۶۰۷۱۰۱۱	Psbm(2) K2	۰.۱۲۶۶۶۷ ۵.۴۰۹۳۹۳
Pi(Mpa)	۰.۵۹		
Umax1(m)(shotcrete)	۰.۰۰۳۱۷۸۳۲۳		
Umax2(m)(bolt)	۰.۰۴۹۱۷۳۷۲۱		
U12	۰.۰۰۳۱۴۴۵۳۸		
Ui(cm)	۰.۸۱۴۴۵۳۸۱		
Psm12(Mpa)	FALSE		
Psm12(Mpa)	FALSE		

فرمول پارامترهای خروجی به صورت زیر است:

$$B12=B7*(1-((B5-B6)*(B5-B6))/(B5*B5))/2$$

$$B13=(B3*1000*((B5*B5)-((B5-B6)*(B5-B6))))/((1+B4)*(((1-2*B4)*B5*B5)+(B5-B6)*(B5-B6)))$$

$$D12=D9/(D4*D5)$$

$$D13=1/((D4*D5/D7)*((4*D3)/(3.14*D6*D6*D8*1000)+D10))$$

C16=B5*B12/B13

C17=D7*D12/D13

C18=C15*D7/(B13+D13)

C20=IF (C18<C16; (IF (C167<C17; C1+100*(C15*D7)/(B13+D13))))

C21=IF (C18>C16; (IF (C16<C17; C16*(B13+D13)/D7)))

C22=IF (C18>C17; (IF (C17<C16; C17*(B13+D13)/D7)))

با تغییر هر P_i (خانه C_{15}) از ۰ به بالا، U_i (سلول C_{20}) محاسبه می‌گردد. تا اینکه با افزایش P_i ، ارزش U_i غلط ($FALSE$) می‌شود. حال به ازای هر (P_i, U_i) تولید شده رسم خط سیستم نگهداری امکان‌پذیر خواهد بود.

پیوست ۸

الف) برنامه اول در نرم افزار **FLAC3D**- تعیین تنش و جابجایی در اطراف تونل در زون A

در شرایط کرنش صفحه‌ای و به ازای $K=1/5$

New

```
; —Excavation and Temporary Support for Babolak Water Conveyance Tunnel —  
;  
Title 'Tunnel analysis in A zone in plane strain condition (K=1.5)'  
;  
; Define FISH function1  
Define _mod_param  
; density of material  
dens_=2220  
; Ratio horizontal stress to vertical stress  
k_=1.5  
; Define maximum overburden from tunnel until surface of earth  
over_=100  
End  
_mod_param  
;  
; Define FISH function2  
Define _mod_setup  
Ver_stress=-1*over_*dens_*9.81  
Hor_stress=k_*ver_stress  
Grad1=-1*dens_*9.81  
Grad2=-1*k_*dens_*9.81  
Ver_stress1=ver_stress-(20*grad1); 1= upper of model (size of model: 40*40*0.4)  
End  
_mod_setup  
;  
; Generate tunnel & surrounding rock  
Gen zone radcyl size 10 1 20 20 rat 1 1 1 1.1&  
Dim 2.1 2.1 group tunnel &  
P0 0, 0, 0 p1 20, 0, 0 p2 0, 0, 0.4 p3 0, -20, 0  
Gen point id 1 (1.8, 2, 0)
```

```

Gen point id 2 (1.8, 2, 0.4)
Gen zone radtun size 10 1 10 20 rat 1 1 1 1.1&
Dim 2.1 2.1 group tunnel&
P0 0, 0, 0 p1 0,20,0 p2 0, 0, 0.4 p3 20, 0, 0 p4 0 20 0.4 p5 20 0 0.4&
P6 20 20 0 p7 20 20 0.4 p12 point 1 p13 point 2
Gen zon reflect dip 90 dd 90 ori 0 0 0
;
; Assign Mohr-Coulomb material model
Model mohr
Prop bulk=0.52e9 shear=0.18e9 tens=0.3e6
Prop coh=0.06e6 Fr=25 dt=0
;
; Assign initial stress state
Set grav 0, 9.81,0
Ini dens=dens_
Ini syy=ver_stress grad 0, grad1, 0
Ini sxx=hor_stress grad 0, grad2, 0
Ini szz=hor_stress grad 0, grad2, 0
Set large
;
; Monitor variables in model
; roof
Hist gp ydisp 0, -2.1, 0
; wall
Hist gp xdisp 2.1,0,0
Hist gp xdisp -2.1, 0, 0
; floor
Hist gp ydisp 0, 2.1,0
;
; Assign boundary conditions
Fix x range x -20.1, -19.9
Fix x range x 19.9, 20.1
Fix z range z -0.001, 0.001
Fix z range z 0.399, 0.401
Fix y range y 19.9, 20.1
; Apply stresses at far-field boundaries
Apply syy =ver_stress1 range y -20.1, -19.9
Apply sxx =hor_stress grad 0, grad2, 0 range x 19.9, 20.1
Apply sxx =hor_stress grad 0, grad2, 0 range x -20.1, -19.9

```

;

Solve ratio=1e-5

Save A.sav

Return

تعداد اجرای برنامه برای رسیدن به جواب همگرایی (به ازای نیروی نامتعادل کننده کمتر از ۱۵-۵ نیوتون) برابر ۸۳۷۶ می‌باشد. ضمناً زمان لازم برای اجرای برنامه (Pentium 4, CPU=2GHz) ۸ دقیقه می‌باشد.

ب) برنامه دوم در نرم افزار **FLAC3D**- بروزی مدل سه بعدی قبل و پس از نصب سیستم نگهداری (پیچ سنگ با فاصله داری $1/5$ متر در $1/5$ متر و شاتکریت با ضخامت $7/5$ سانتیمتر) به ازای گام پیشروی $1/5$ متر برای زون A ($K=1/5$)

New

; --- Excavation and Support for Babolak Water Conveyance Tunnel ---

Title 'Design of Temporary Support System of Babolak Water Conveyance Tunnel for A Zone'

; Define FISH function1

Define _mod_param

; Density of material

dens_=2220

; Ratio horizontal stress to vertical stress

k_=1.5

; Define maximum overburden from tunnel until surface of earth

over_=100

End

_mod_param

; Define FISH function2

Define _mod_setup

ver_stress=1*over_*dens_*9.81

hor_stress=k_*ver_stress

grad1=-1*dens_*9.81

grad2=-1*k_*dens_*9.81

```

; 1=upper of model (size of model: 40*40*40)
ver_stress1=ver_stress-(20*grad1)
End
_mod_setup
;
; Generate tunnel & surrounding rock
gen zone radcyl size 10 40 20 20 rat 1 1 1 1.1 &
Dim 2.1 2.1 fill group tunnel &
p0 0, 0, 0 p1 20, 0, 0 p2 0,0,20 p3 0,-20, 0
gen point id 1 (1.8,2,0)
gen point id 2 (1.8,2,20)
gen zone radtun size 10 40 10 20 rat 1 1 1 1.1 &
Dim 2.1 2.1 fill group tunnel &
p0 0, 0, 0 p1 0,20,0 p2 0,0,20 p3 20, 0, 0 p4 0 20 20 p5 20 0 20 &
p6 20 20 0 p7 20 20 20 p12 point 1 p13 point 2
Group section1 range z 0 1.5 group tunnel
Group section2 range z 1.5 3 group tunnel
Group section3 range z 3 4.5 group tunnel
Group section4 range z 4.5 6 group tunnel
Group section5 range z 6 7.5 group tunnel
;
; Assign Mohr-Coulomb material model
Model Mohr
Prop bulk=0.52e9 shear=0.18e9
Prop coh=0.06e6 Fri=25 ten=0.3e6
;
; Assign initial stress state
Set grav 0, 9.81,0
ini dens=dens_
ini syy=ver_stress grad 0,grad1,0
ini soc=hor_stress grad 0,grad2,0
ini szz=hor_stress grad 0,grad2,0
Set large
;
; Assign boundary conditions
Fix x range x -0.1, 0.1
Fix z range z -0.1, 0.1
Fix y range y 19.9 20.1
Apply syy =ver_stress1 range y -20.1,-19.9

```

```
Apply sxx =hor_stress grad 0, grad2, 0 range x 19.9, 20.1
Apply szz =hor_stress grad 0, grad2, 0 range z 19.9, 20.1
;
hist unbal
;
; — Stage 1: excavate tunnel section 1
Model null range group section1
Solve; first solve (ratio=1e-5)
Save sl1.sav
;
ini xdisp=0 ydisp=0 zdisp=0
;
; Monitor variables in model

; Roof
hist gp ydisp 0,-2.1,0
hist gp ydisp 0,-2.1,0.5
hist gp ydisp 0,-2.1,1
hist gp ydisp 0,-2.1,1.5
hist gp ydisp 0,-2.1,2.5

; Floor
hist gp ydisp 0,2.1,0
hist gp ydisp 0,2.1,0.5
hist gp ydisp 0,2.1,1
hist gp ydisp 0,2.1,1.5
hist gp ydisp 0,2.1,2.5

; Wall
hist gp xdisp 2.1,0,0
hist gp xdisp 2.1,0,0.5
hist gp xdisp 2.1,0,1
hist gp xdisp 2.1,0,1.5
hist gp xdisp 2.1,0,2.5

;
; — Stage 2: excavate tunnel section 2
Model null range group section2
```

```

Save s2a1.sav
Solve; second solve (ratio=1e-5)
Save s2b1.sav
Restore s2a1.sav
;

; — Add shotcrete & Install bolt in section 1

sel shell id=1 range cyl end1 0 0 0 end2 0 0 1.51 rad 2.1 y -2.1 0.6
sel shell id=1 range cyl end1 0 0 0 end2 0 0 1.51 rad 2.18 x 0 2 y 0.55,0.9
sel shell id=1 range cyl end1 0 0 0 end2 0 0 1.51 rad 2.3 x 0 1.9 y 0.9 1.4
sel shell id=1 range cyl end1 0 0 0 end2 0 0 1.51 rad 2.4 x 1.7,1.9 y 1.4 2
sel shell id=1 range cyl end1 0 0 0 end2 0 0 1.51 rad 2.65 x 1.7 1.9 y 1.5 2
sel shell id=1 prop iso=(15e9,0.25) thick=0.075

sel cable id=2 beg 1.9 0.6 0.75 end 4.8 1.5 0.75 nseg 9
sel cable id=2 beg 1.9 -0.9 0.75 end 4.5 -2.3 0.75 nseg 9
sel cable id=2 beg 0.8 -2 0.75 end 1.8 -4.8 0.75 nseg 9
sel cable prop emod 207e9 xcarea 4.91e-4 &
yten 0.285e6 gr_k 7e9 gr_co 5e5 ran id=2
Solve ratio=1e-6; third solve
Save s1clt2a175.sav
;

; — Stage 3: excavate tunnel section 3 & add shotcrete, Install bolt in section 2

Model null range group section3

sel shell id=3 range cyl end1 0 0 1.49 end2 0 0 3.01 rad 2.1 y -2.1 0.6
sel shell id=3 range cyl end1 0 0 1.49 end2 0 0 3.01 rad 2.18 x 0 2 y 0.55,0.9
sel shell id=3 range cyl end1 0 0 1.49 end2 0 0 3.01 rad 2.3 x 0 1.9 y 0.9 1.4
sel shell id=3 range cyl end1 0 0 1.49 end2 0 0 3.01 rad 2.4 x 1.7,1.9 y 1.4 2
sel shell id=3 range cyl end1 0 0 1.49 end2 0 0 3.01 rad 2.65 x 1.7 1.9 y 1.5 2
sel shell id=3 prop iso=(15e9,0.25) thick=0.075

sel cable id=4 beg 1.9 0.6 2.25 end 4.8 1.5 2.25 nseg 9
sel cable id=4 beg 1.9 -0.9 2.25 end 4.5 -2.3 2.25 nseg 9
sel cable id=4 beg 0.8 -2 2.25 end 1.8 -4.8 2.25 nseg 9
sel cable prop emod 207e9 xcarea 4.91e-4 &
yten 0.285e6 gr_k 7e9 gr_co 5e5 ran id=4
Solve ratio=1e-6
Save s1clt2a1752.sav
;

; — Stage 4: excavate tunnel section 4 & add shotcrete, Install bolt in section 3

Model null range group section4

```

```

sel shell id=5 range cyl end1 0 0 2.99 end2 0 0 4.51 rad 2.1 y -2.1 0.6
sel shell id=5 range cyl cyl end1 0 0 2.99 end2 0 0 4.51 rad 2.18 x 0 2 y 0.55,0.9
sel shell id=5 range cyl cyl end1 0 0 2.99 end2 0 0 4.51 rad 2.3 x 0 1.9 y 0.9 1.4
sel shell id=5 range cyl cyl end1 0 0 2.99 end2 0 0 4.51 rad 2.4 x 1.7,1.9 y 1.4 2
sel shell id=5 range cyl cyl end1 0 0 2.99 end2 0 0 4.51 rad 2.65 x 1.7 1.9 y 1.5 2
sel shell id=5 prop iso=(15e9,0.25) thick=0.075

```

```

sel cable id=6 beg 1.9 0.6 3.75 end 4.8 1.5 3.75 nseg 9
sel cable id=6 beg 1.9 -0.9 3.75 end 4.5 -2.3 3.7 nseg 9
sel cable id=6 beg 0.8 -2 3.75 end 1.8 -4.8 3.75 nseg 9
sel cable prop emod 207e9 xcarea 4.91e-4 &
yten 0.285e6 gr_k 7e9 gr_co 5e5 ran id=6
Solve ratio=1e-6
Save s1clt2al752.sav
; And continue Stage 5(excavate tunnel section 5 & add shotcrete, Install bolt in section 4)
; And continue until end of excavate.

```

زمان و تعداد اجرای برنامه برای رسیدن به جواب همگرایی حل اول و دوم و سوم (اولین و دومین و سومین Solve در برنامه) با کامپیوتر به مشخصات Pentium 4, CPU=2GHz مطابق جدول زیر است (ضمناً چون این برنامه سه بعدی دارای ۴۴۰۰۰ زون می‌باشد نیاز به ۸۵ مگا بایت رم برای اجرا دارد).

	زمان لازم برای حل	تعداد اجرای لازم تا رسیدن به همگرایی
Solve اولین	۵۴ دقیقه	۴۸۲۵
Solve دومین	۹۵ دقیقه	۷۷۱۳
Solve سومین	۳ ساعت	۱۰۸۲۵

ج) برنامه سوم در نرم افزار -FLAC3D- تعیین جابجاییها، نیروی محوری و لنگر خمی و ... در تونل دایروی پس از اجرای نگهدارنده دائمی (بتن به ضخامت ۴۰ سانتیمتر) در زون A در شرایط کرنش صفحه‌ای و به ازای $K=1/5$

New

```
; — Excavation and Support for Babolak Water Conveyance Tunnel —
;
Title 'Design of Permanent Support System of Babolak Water Conveyance Tunnel'
;
; Define FISH function1
Define _mod_param
coh_= 1e20; no-slip case
; coh_= 0; full-slip case
; Density of material
dens_=2200
; Ratio of horizontal-to-vertical stress
k_=1.5
; Define maximum overburden from tunnel until surface of earth
over_=100
End
_mod_param
;
; Define FISH function2
Define _mod_setup
ver_stress=1*over_*dens_*9.81
hor_stress=k_*ver_stress
grad1=1*dens_*9.81
grad2=1*k_*dens_*9.81
ver_stress1=ver_stress+ (20*grad1); 1=upper of model (size of model: 40*40*0.4)
End
_mod_setup
;
; Generate tunnel & surrounding rock
gen zone rad cyl size 5 1 20 20 rat 1 1 1 1.1 &
Dim 2 p0 0, 0, 0 p1 20, 0, 0 p2 0, 0.4, 0 p3 0, 0, 20
gen zon reflect dip 0 ori 0 0 0
```

```

gen zon reflect dip 90 dd 90 ori 0 0 0
;

; Assign Mohr-Coulomb material model
Model Mohr
Prop bulk=0.52e9 shear=0.18e9 tens=0.3e6
Prop coh=0.06e6 Fri=25 di=0
;

; Create the support (linerSElS).
sel liner id=1 range cyl end1 0 0 0 end2 0 0.4 0 rad 2
sel liner id=1 prop iso=(20e9,0.2) thick=0.4
sel liner id=1 prop cs_nk=2.45e11 cs_sk=2.45e11 cs_scoh=coh_
;

; Apply stresses at far-field boundaries
Set grav 0, 0,-9.81
ini dens=dens_
ini szz=ver_stress grad 0,0,grad1
ini sxx=hor_stress grad 0,0,grad2
ini syy=hor_stress grad 0,0,grad2
Apply szz =ver_stress1 range z 19.9, 20.1
Set large
;

; Assign boundary conditions
Fix x range x -20.1,-19.9
Fix x range x 19.9, 20.1
Fix z range z -20.1,-19.9
Fix y range y -0.001, 0.001
Fix y range y 0.399, 0.401
;

hist gp zdisp 0,0,2
hist gp xdisp 2,0,0
;

; For the nodes (symmetry conditions):
sel node local xdir 1 0 0 ydir 0 -1 0 range x -0.001,0.001 ; x=0 plane
sel node fix lsys range x -0.001,0.001
sel node fix x yr zr range x -0.001,0.001
sel node local xdir 0 0 -1 ydir 0 -1 0 range z -0.001,0.001 ; z=0 plane
sel node fix lsys range z -0.001,0.001
sel node fix x yr zr range z -0.001,0.001
sel node fix y xr zr range y -0.001,0.001 ; y=0 plane

```

```

sel node fix y xr zr range y 0.399,0.401 ; y=Ymax plane
;
;
Plot create aa
Plot set rot 0 0 0
Plot set center 1.35 -0.35 1.45
Plot set mag 3.77
Plot add sketch
Plot add disp blue scale 0.10
Plot add sel disp red scale 0.10
Plot add axes
;
Plot create bb
Plot set rot 90 135 0
Plot set center 8.854 0.55 8.81
Plot set mag 14.4
Plot add sel recover sres Ny surfy 0 1 0
Plot add sel recover sres My surfy 0 1 0 active off
Plot add sel liner coupling stress normal active off
Plot add sel liner coupling stress shear active off
Plot add axes position 0 1 0
Solve ratio=1e-6
Save general.sav
Return

```

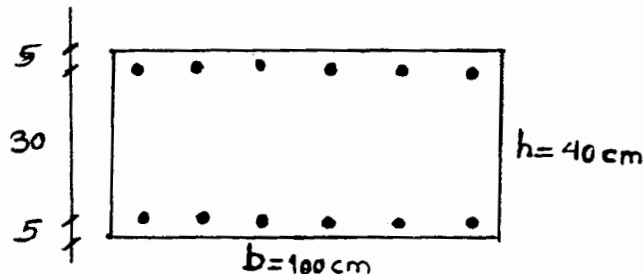
تعداد اجرای برنامه برای رسیدن به جواب همگرایی (به ازای نیروی نامتعادل کننده کمتر از ۱۵-۶ نیوتون) برابر ۴۶۶۹ می‌باشد. ضمناً زمان لازم برای اجرای برنامه (Pentium 4, CPU=2GHz) ۱۴ دقیقه می‌باشد.

پیوست ۹

محاسبات آرماتور مورد نیاز مسیر تونل با استفاده از منحنی‌های اثر توان نیروی محوری و

لنگر خمی برای بتن به ضخامت ۴۰ سانتیمتر بر اساس منبع [۱۶]:

(۱) زون A



h ضخامت بتن مصرفی و b طول واحد در راستای محور تونل می‌باشد:

اگر d فاصله میلگرد کششی تا آخرین تار فشاری و d' فاصله میلگرد فشاری تا آخرین تار فشاری

باشد، γ از رابطه زیر محاسبه می‌گردد:

$$\gamma = \frac{d - d'}{h} = \frac{35 - 5}{40} = 0.75$$

با فرض مقاومت فشاری بتن برابر $280 \frac{kg}{cm^2}$ و تنش تسلیم آرماتور (فولاد نوع III) برابر

$4200 \frac{kg}{cm^2}$ و $\gamma = 0.75$ می‌توان از منحنی پایینی صفحه ۱۳۹ استفاده کرد و مقدار M را محاسبه

کرد اما اول باید مقادیر زیر را بدست آورد:

$$\phi \times M_u = M_u = 1.4 \times M = 1.4 \times 4.27e4 (Nm) = 59780 (Nm) = 5.98e5 (kg.cm)$$

$$\phi \times P_u = P_u = 1.4 \times P = 1.4 \times 4.06e6 (N) = 5.66e6 (N) = 5.66e5 (kg)$$

که در روابط بالا ϕ ضریب کاهش مقاومت، M مقدار لنگر خمی طراحی، P مقدار نیروی

محوری طراحی و $1/4$ ضریب تشدید بار مرده است. ضمناً M و P به ترتیب مقدار لنگر خمی و

نیروی محوری محاسبه شده از نرم‌افزار (جدول ۱-۶ صفحه ۹۱ برای زون A و به ازای K=1)

می‌باشند.

حال برای استفاده از منحنی اثر متقابل لنگر و نیروی محوری باید مقادیر ذیل را محاسبه کرد:

$$\frac{1}{70} \times \frac{\phi \times M_n}{A_g \times h} = \frac{1}{70} \times \frac{5.98e5}{100 \times 40 \times 40} = 0.05$$

$$\frac{1}{70} \times \frac{\phi \times P_n}{A_g} = \frac{1}{70} \times \frac{5.66e5}{100 \times 40} = 2.02$$

که از منحنی صفحه ۱۳۹، لز دو مقدار بالا $\rho = 0.01$ بدست می‌آید (A_g مساحت خالص مقطع است).

A_s ، مساحت میلگرد موجود در مقطع برابر است با:

$$A_s = \rho \times b \times d = 0.01 \times 100 \times 35 = 35(cm^2)$$

و با فرض استفاده از میلگرد با قطر ۲۰ میلیمتر، تعداد میلگرد مصرفی برابر است با:

$$\frac{35}{\frac{\pi}{4} \times (2)^2} \approx 12$$

چون از دو ردیف آرماتور استفاده می‌شود، پس ۶ تا بالا و ۶ تا پایین در نظر گرفته می‌شود.

بنابراین فاصله میلگردها برابر است با:

$$100 \div 6 \approx 15$$

لذا جواب نهایی برابر است با:

$$2\phi 20 @ 15$$

(منظور، از دو ردیف آرماتور به قطر ۲۰ میلیمتر و فاصله داری ۱۵ سانتیمتر استفاده گردد)

برای محاسبه آرماتور افت و حرارت از روابط زیر بهره می‌جوییم:

$$A_s = 0.0018 \times b \times h' = 0.0018 \times 40 \times 100 = 7.2(cm^2)$$

که A_s مساحت میلگرد موجود در مقطع و h' طول واحد پیرامون مقطع تونل است. با فرض استفاده از میلگرد به قطر ۱۴ میلیمتر تعداد میلگردهای افت و حرارت برابر است با:

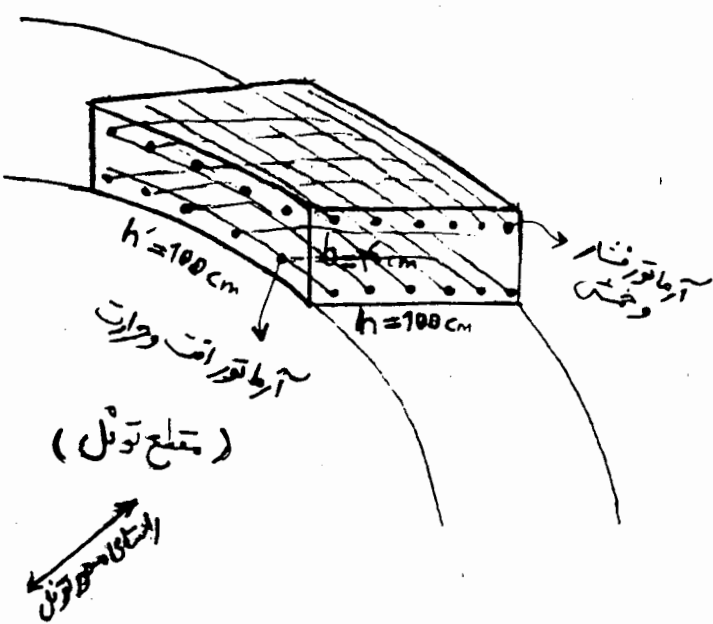
$$\frac{A_s}{\frac{\pi}{4}(1.4)^2} \approx 5$$

آرماتور افت و حرارت را اصولاً روی میلگرد های کششی قرار می دهند ولی برای قفل و بست بهتر و مشبندی منظم، دو ردیف ۵ تایی پیشنهاد می شود. در این حالت فواصل میلگردها برابر ۲۰ سانتیمتر می شود.

لذا جواب نهایی برابر است با:

آرماتور افت و حرارت: ۲۰@14

(منظور، از دو ردیف آرماتور به قطر ۱۴ میلیمتر و فاصله داری ۲۰ سانتیمتر استفاده گردد) لازم به ذکر است که به ازای نسبت تنفس افقی به قائم برابر 0.75 ، 0.75 و 0.25 همانند حالت آرماتور پیشنهادی برای مسیر تونل در زون A به صورت زیر است:



آرماتور فشار و خمس: ۲۰@15

آرماتور افت و حرارت: ۲۰@14

اما برای $K=0.25$ و $K=0.5$ مقدار میلگرد مصرفی در مقطع محاسبه شده اندکی زیاد خواهد شد و باید فاصله داری در آرماتور فشار و خمس را کمتر از ۱۵ سانتیمتر در نظر گرفت.

(۲) مقطع حداکثر روباره (K=1)

$$M_u = 7.17e4 \times 1.4 = 9.99e4 (N.m) = 9.99e5 (kg.cm)$$

$$P_u = 6.96e6 \times 1.4 = 9.74e6 (N) = 9.74e5 (kg)$$

$$\frac{1}{70} \times \frac{9.99e5}{100 \times 40 \times 40} = 0.09$$

$$\frac{1}{70} \times \frac{9.74e5}{100 \times 40} = 3.47$$

از دو مقدار $0/09$ و $3/47$ بر روی منحنی پایینی صفحه ۱۳۹ $\rho = 0.02$ بدست می‌آید. پس

$A_s = 70 (cm^2)$ می‌شود و آرماتور زیر برای مقطع حداکثر روباره پیشنهاد می‌گردد:

آرماتور فشار و خمسن: $2\phi 20 @ 8$

آرماتور افت و حرارت: $2\phi 14 @ 20$

لازم به ذکر است که به ازای نسبت تنش افقی به قائم برابر $0/5$ ، $0/75$ و $1/25$ نیز همین طراحی پیشنهاد می‌گردد ولی برای $K=0/25$ و $K=1/5$ مقدار میلگرد مصرفی در مقطع محاسبه شده، اندکی زیاد خواهد شد و باید فاصله‌داری در آرماتور فشار و خمسن را کمتر از ۸ سانتی‌متر در نظر گرفت.

(K-1)B زون (۳)

$$M_u = 3.12e5 (kg.cm)$$

$$P_u = 3.41e5 (kg)$$

$$\frac{1}{70} \times \frac{3.12e5}{100 \times 40 \times 40} = 0.028$$

$$\frac{1}{70} \times \frac{3.41e5}{100 \times 40} = 1.21$$

از دو مقدار $0/028$ و $1/21$ بر روی منحنی پایینی صفحه ۱۳۹ $\rho = 0.01$ بدست می‌آید. پس

$A_s = 35 (cm^2)$ می‌شود و آرماتور ذیل برای زون B پیشنهاد می‌گردد:

آرماتور فشار و خمین: ۲φ20@15

آرماتور افت و حرارت: ۲φ14@20

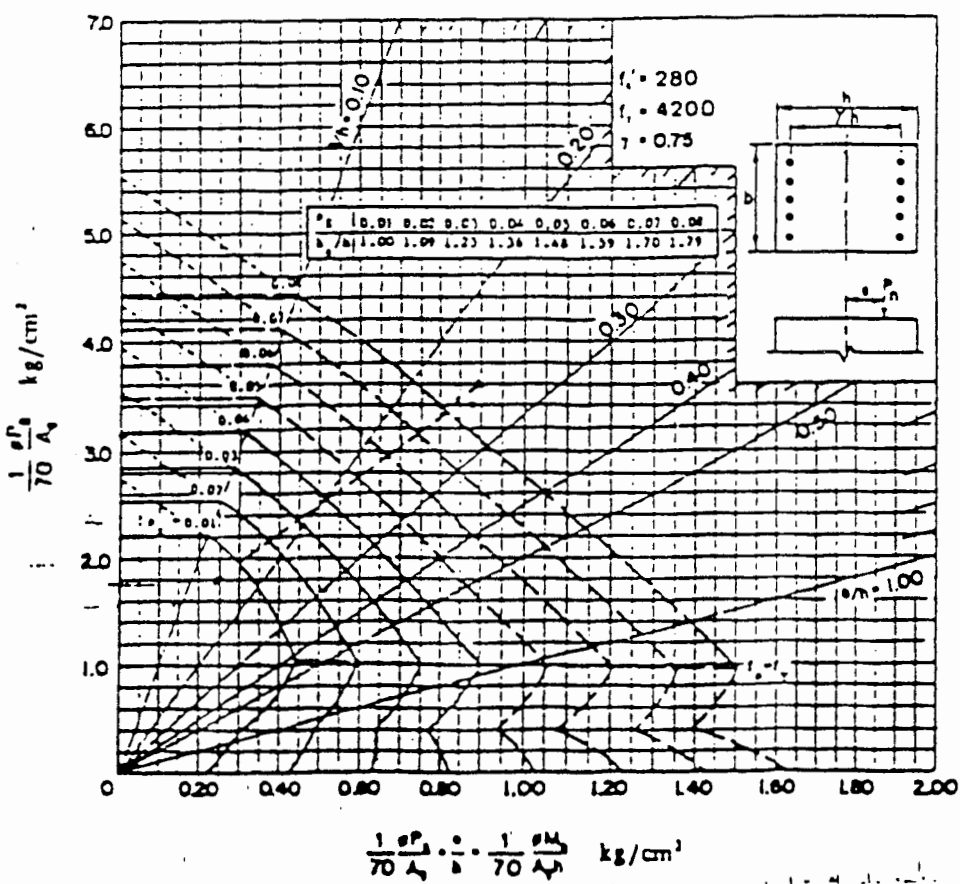
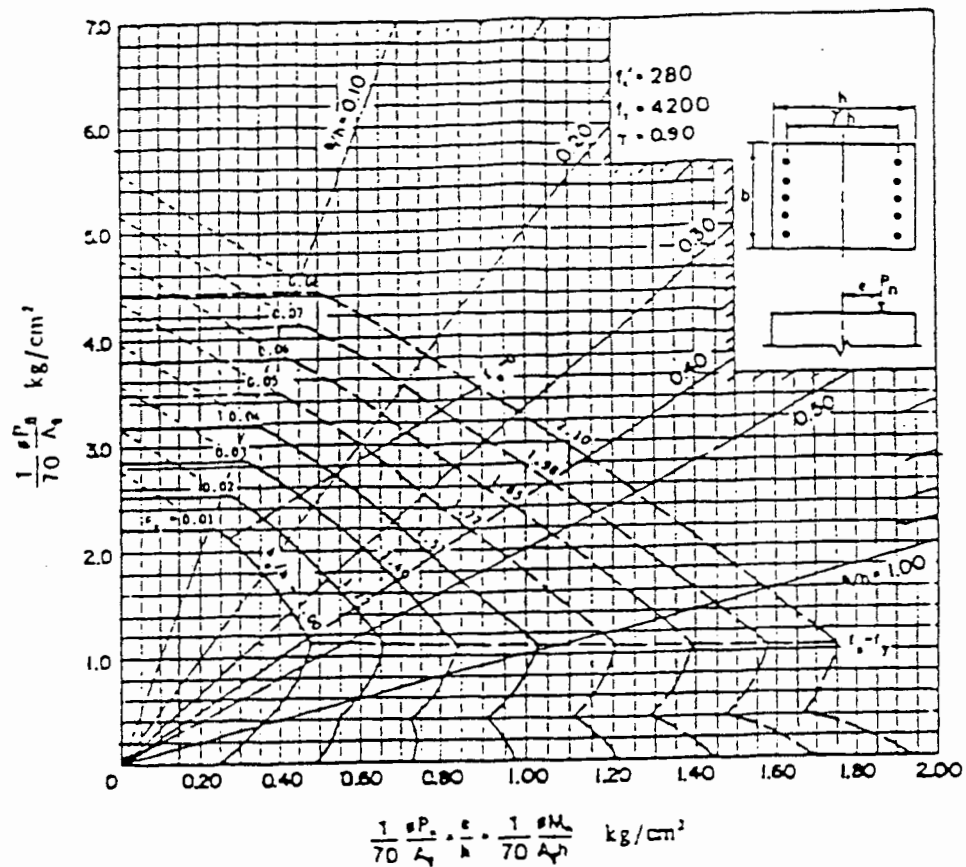
لازم به ذکر است که به ازای نسبت تنفس افقی به قائم برابر $0.75, 0.5, 0.25$ و 0.15 نیز همین طراحی پیشنهاد می‌شود.

و بطور خلاصه می‌توان گفت که آرماتور پیشنهادی برای مسیر تونل به صورت زیر است:

آرماتور فشار و خمین: ۲φ20@15

آرماتور افت و حرارت: ۲φ14@20

که هر چه به مقطع حداکثر روباره نزدیکتر شویم، در آرماتور فشار و خمین مقدار ۱۵ سانتیمتر به ۸ سانتیمتر تقلیل می‌یابد.



منحنیهای اثر توم نیروی محوری و لنگر خمشی [۱۶]

Abstract

The Alborz storage dam is located on the Babol river at the distance of 40 Km from Babol city (in Mazandaran province). The Babolak water conveyance tunnel has been designed in order to transfer water from Babolak river to Alborz storage dam to supply part of the water demand.

2.6 Km of length and 4.2 m of diameter are the main characteristics of this tunnel. With taking into account the permanent support system, final shape of the section will be circular. As the tunnel is being driven in marlstone, designing of tunnel support system in such situations have been considered in this research work.

In order to analyze the stability of the tunnel and design proper support system, three methods have been used namely: empirical (Q and RMR classification system), analytical (rock-support interaction) and numerical (FLAC3D software). Base on the results, a combination of shotcrete and rock bolt for the temporary support and a 40 cm thick reinforced concrete for the permanent support have been recommended.



Shahrood University of Technology

**Design of the Tunnel Support System in Marls
Case Study: Babolak Water Conveyance Tunnel
(Alborz Storage Dam)**

Thesis submitted in fulfillment of the degree of master of
engineering in mining exploitation

By:

S. Poormehdi

Supervisor:

Dr. S. R. Torabi

Consultant:

S. M. E. Jalali

(April 2005)